

Código: PES_3.5 IE 01	Página 1 de 117			
Fecha de Emisión: Enero 2014	Fecha de Revisión: 25 de Febrero de 2016			
	№ de Revisión: 1			
Elaboró: M.C. Rey Manuel Quintana Martínez				
Aprobó: Secretaría Académica				

EJEMPLOS DE MATERIAL DIDACTICO



Universidad Autónoma de Chihuahua Facultad de Zootecnia y Ecología



Manejo de cuencas hídrológicas

Elaboró: M.C. Rey Manuel Quintana Martinez

ENERO2014





El curso de Manejo de Cuencas Hídrológicas es parte del programa de Ingeniero en Ecología de la Facultad de Zootecnia y Ecología Universidad Autónoma de Chihuahua. Este material es propiedad del maestro titular M.C. Rey Manuel Quintana Martínez.

-Elaborado: Agosto del 2001 -Actualización a petíción de la academia febrero 2014

Chíhuahua, Chíh. México.

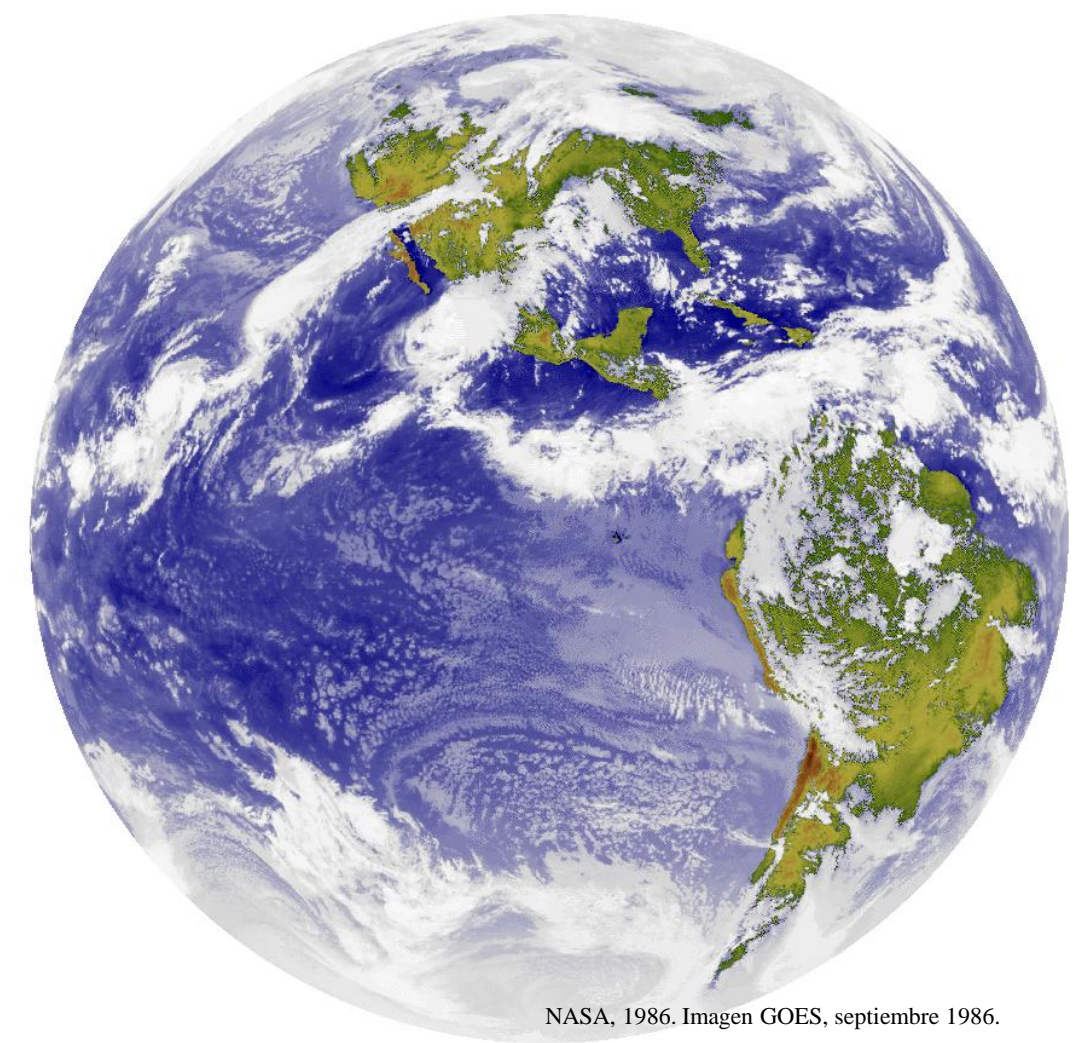




Contenido

Introducción a la hidrología1
Ciclo hidrológico
Balance de agua
Geomorfologia fluvial6
Cuenca hidrológica
Regiones hidrológicas en México
Características físicas de la cuenca
-Área
-Índices de forma
-Elevación media
-Pendiente media
-Sistema de drenaje
Precipitación20
Humedad atmosférica
Enfriamiento del aire y precipitación
Tipos de lluvia
Monitoreo de la lluvia
Lluvia promedio en una cuenca
Frecuencia de lluvia
Evapotranspiración28
Concepto de evaporación

Monitoreo de la evaporación
Concepto de transpiración
Infiltración32
Proceso de infiltración
Monitoreo de la infiltración en un sitio
Indice de infiltración en una cuenca
Escurrimiento superficial en la cuenca37
Concepto de escurrimiento
Volumen de escurrimiento
Histograma de escurrimiento
Monitoreo del escurrimiento
Sedimentación y calidad de agua39
Concepto de sedimentación
Monitoreo de la sedimentación
Calidad de agua
Intercepción de la lluvia42
Componentes de la intercepción
Bibliografía

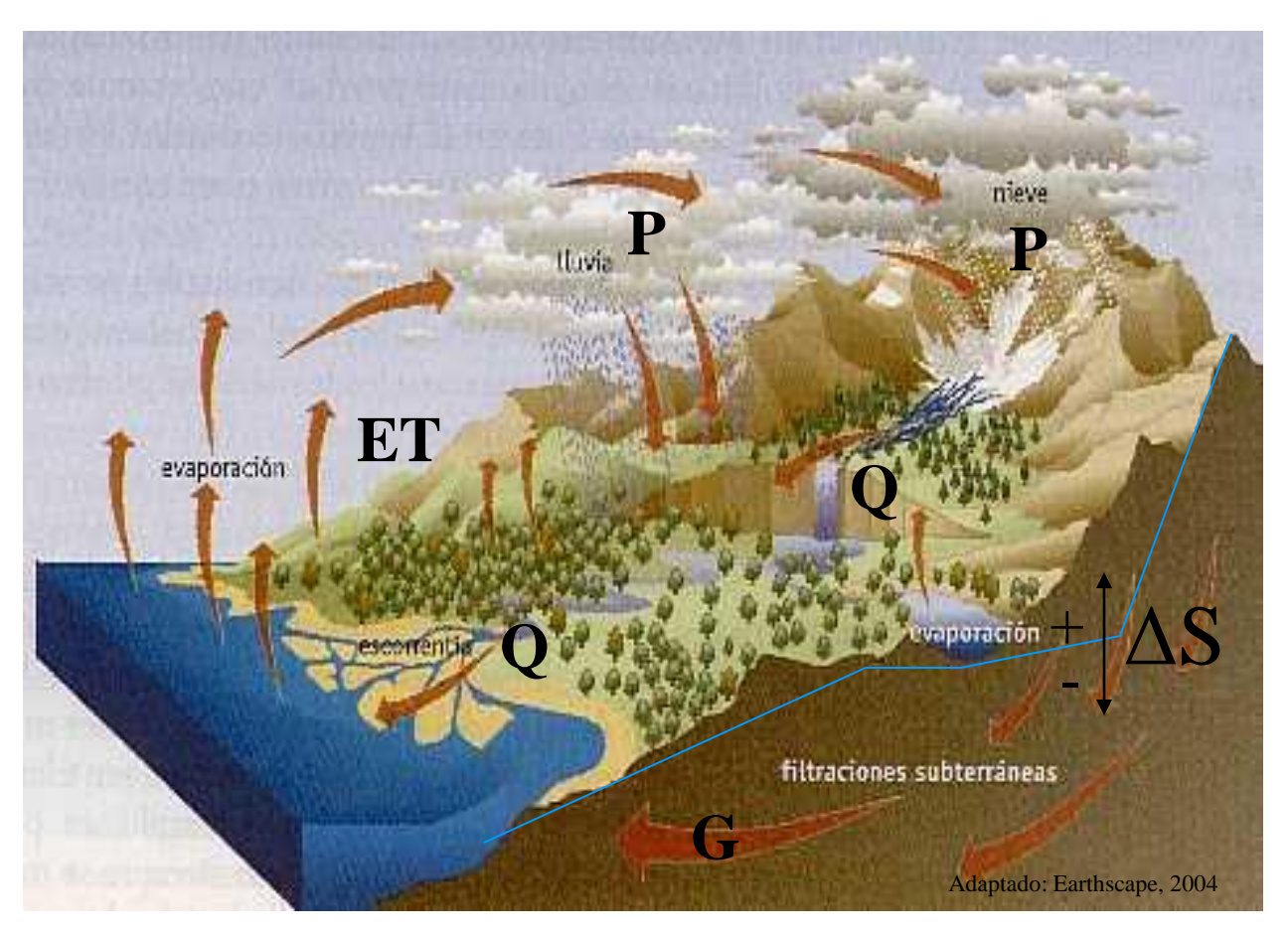


Hídrología

"La dinámica del agua en la Cuenca"

El tratado del ciclo del agua en la tierra y su dinámica en los continentes se conoce como Hidrología. La cuenca hidrográfica es la unidad fisiográfica funcional en la cual se analiza la interacción de los procesos hidrológicos (lluvia, evapotranspiración, escurrimiento, Infiltración e intercepción) con los demás componentes bióticos y abióticos del medio. Las cuencas han sido desarrolladas por el intemperismo a través de millones de años en la litosfera.

Ciclo hidrológico



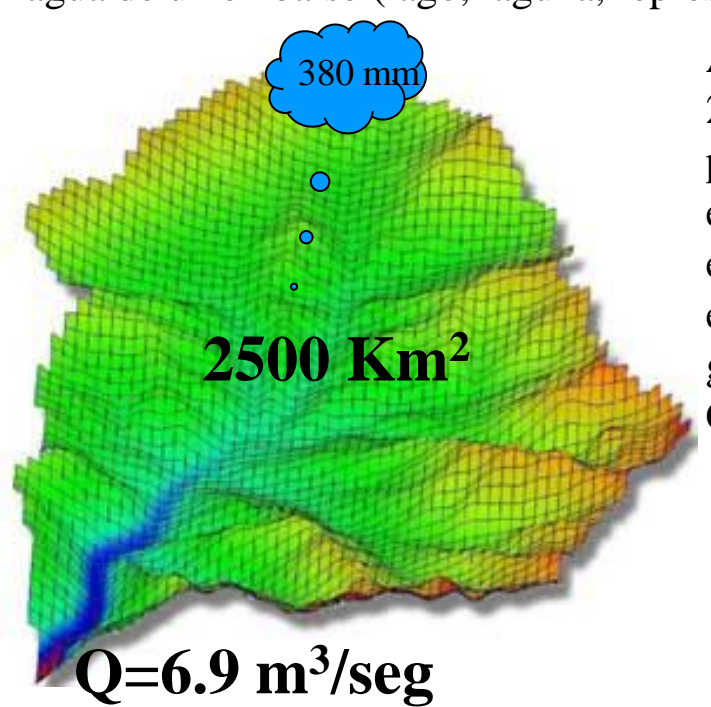
El agua es la sustancia mas extensamente distribuida en el medioambiente terrestre. El agua se encuentra en forma de liquido, hielo y vapor. El liquido forma océanos, mares, lagos, ríos y manto subterráneo que se distribuye en la litosfera y el suelo. El estado sólido se encuentra como hielo y nieve en los polos y regiones alpinas principalmente. Cierta cantidad de agua se encuentra como vapor en la atmósfera que formara eventualmente gotas y cristales. Es mínima la parte de agua que se localiza como parte de los minerales terrestres.

El agua en la naturaleza es muy dinámica y se encuntra constantemente cambiando e sus tres estados. Por esta razón es difícil poder calcular con toda exactitud su volumen. Sin embargo la ciencia **hidrología** ha propuesto el modelo de balance hídrico en una cuenca y en un embalse, con los cual es posible predecir y calcular a cada una de sus variables:

$$\mathbf{P}\text{-}\mathbf{Q}\text{-}\mathbf{G}\text{-}\mathbf{E}\text{-}\mathbf{T} = \Delta \mathbf{S}$$

$$I - Q = \Delta S$$

Como se puede observar en la ecuación la precipitación (P) es el único aporte de agua a una cuenca hidrológica, distribuyendoce este aporte en los componentes de: escurrimiento superficial (Q), infiltración y flujo subterraneo (G), la transpiración (T) y la evaporación (E). El cambio en la recarga (ΔS) dependerá del balance de las todas las variables y su valor podrá ser positiva si el nivel de agua en la cuenca o embalse se incrementa o bien negativo si este se disminuye. La variable (I) es la entrada de agua de un embalse (lago, laguna, represa etc.).



A) Por ejemplo la cuenca del río Chuvíscar con un área de 2500 Km² recibe en un año dado 380 mm de lluvia (P). El gasto promedio (Q) monitoreado en el río fue de 6.9 m³/seg. Estime en centímetros la cantidad de agua en la cuenca que se involucra en los procesos combinados de evaporación (E), transpiración (T) e infiltración al manto subterraneo (G). A cuanto equivale el gasto de escurrimiento (m³/seg) en lamina expresada en (cm). Calcule el coeficiente de escurrimiento (%).

Ecuación de balance: ET + G = P-Q- Δ S El cambio en la recarga en un año es despreciable = 0

ET+G=38 cm - Q ET+G=38cm-8.7cm = 29.3 cm

 $Q = (6.9 \text{m}^3/\text{seg X } 3600 \text{seg/hr}) (24 \text{hr/dia}) (365 \text{dia/año}) / (2500 \text{Km}^2) (1000 \text{m/Km})^2$ Q = 0.087 m (100 cm/m) = 8.7 cm

El coeficiente de escurrimiento es = (8.7 cm/38 cm)100 = 22.9%

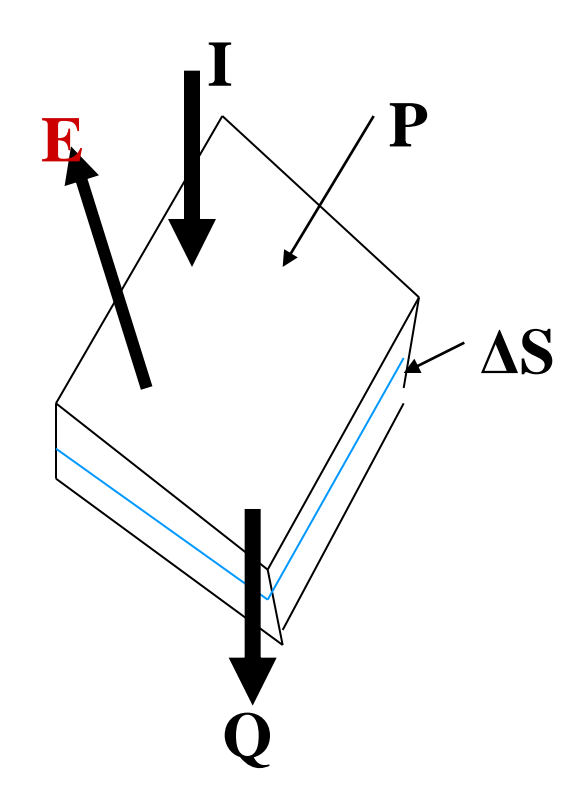
Si el coeficiente de escurrimiento fuera mayor al 30%, entonces se tiene a la cuenca del río Chuviscar en proceso de desertificación. El valor obtenido indica que su potencial hidrológico es moderadamente regular y puede ser mejorado en el corto plazo (5 a 15 años).

B) En un embalse (represa, lago, laguna) de 40.47 hectáreas durante el mes de agosto se tiene una entrada (I) de 0.14 m³ /seg, y 0.12 m³ /seg de salidas (Q); el incremento en el volumen de la presa fue de 5.3 ac-ft (acres-pies). Un pluviómetro aledaño a la presa registro en el mes 1.1 cm de lluvia. Si en el embalse la infiltración es despresiable; determine el valor estimado de la lamina (cm) de evaporación que en el cuerpo de agua ocurre durante el mes indicado.

Según la ecuación de entradas y salidas se tiene:

$$\mathbf{E} = \mathbf{I} - \mathbf{Q} + \mathbf{P} - \Delta \mathbf{S}$$

Es importante tomar en cuenta que el cambio en la recarga es positivo, por esta razón se resta en la ecuación. O bien es agua que no se evaporó.

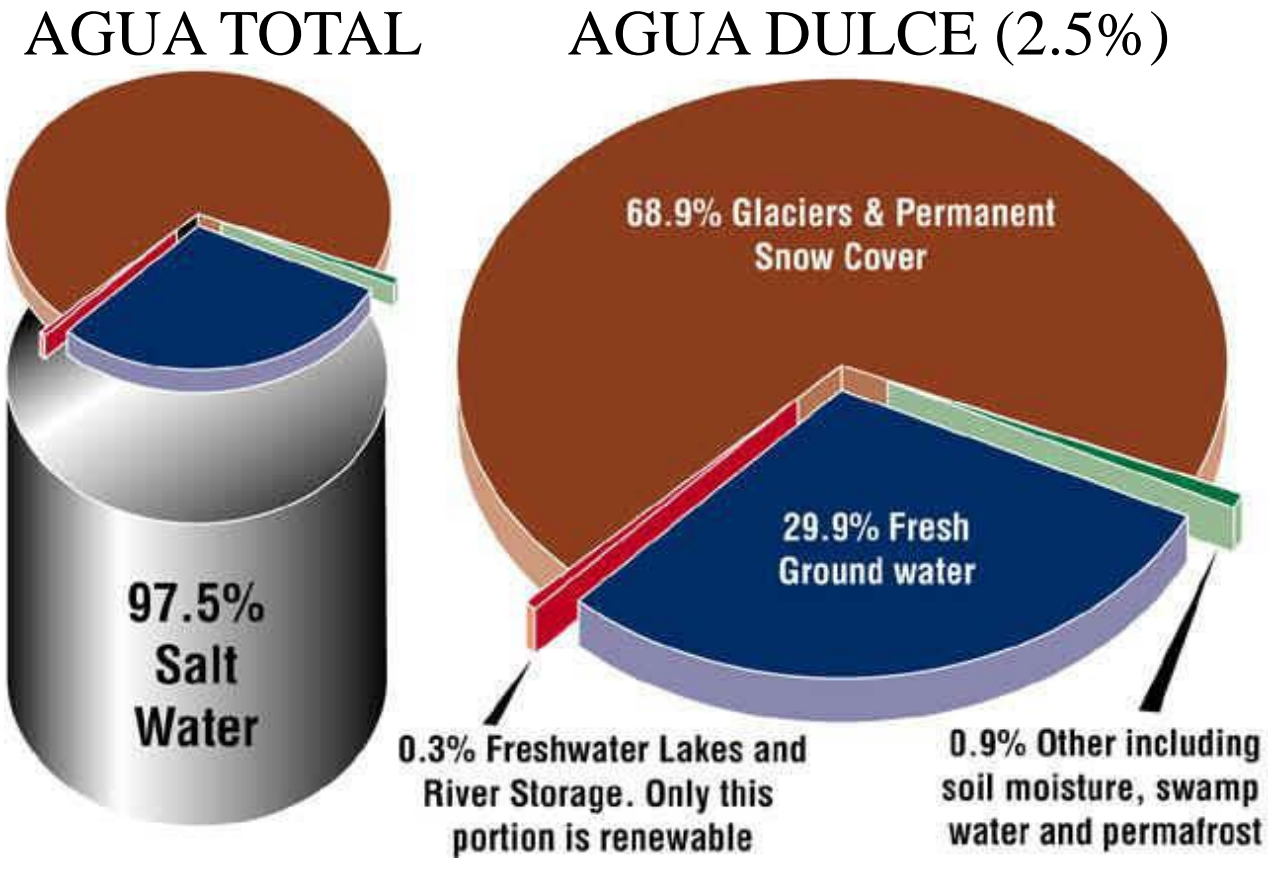


```
\begin{split} I &= (0.14 \text{ m}^3/\text{seg X } 3600\text{seg/hr}) \ (24\text{hr/dia}) \ (30\text{dia/mes}) \ / \ (0.4047\text{Km}^2) \ (1000\text{m/Km})^2 \\ I &= 0.90 \ \text{m} \ (100 \ \text{cm/m}) \ = 90 \ \text{cm} \\ Q &= (0.12\text{m}^3/\text{seg X } 3600\text{seg/hr}) \ (24\text{hr/dia}) \ (30\text{dia/mes}) \ (100\text{cm/m}) \ / \ (0.4047\text{Km}^2) \ (1000\text{m/Km})^2 \\ Q &= 0.76 \ \text{m} \ = 76 \ \text{cm} \\ P &= 1.1 \ \text{cm} \\ \Delta S &= (5.3 \ \text{ac-ft}) \ (\ 12 \ \text{pulg./ft}) \ / \ (40.47\text{ha.}) \ (2.471 \ \text{ac/ha.}) = 0.636 \ \text{pulg.} = 1.62 \ \text{cm} \end{split}
```

$$E = 90 \text{ cm} - 76 \text{ cm} + 1.1 \text{ cm} - 1.62 = 13.48 \text{ cm}$$

Balance global de agua

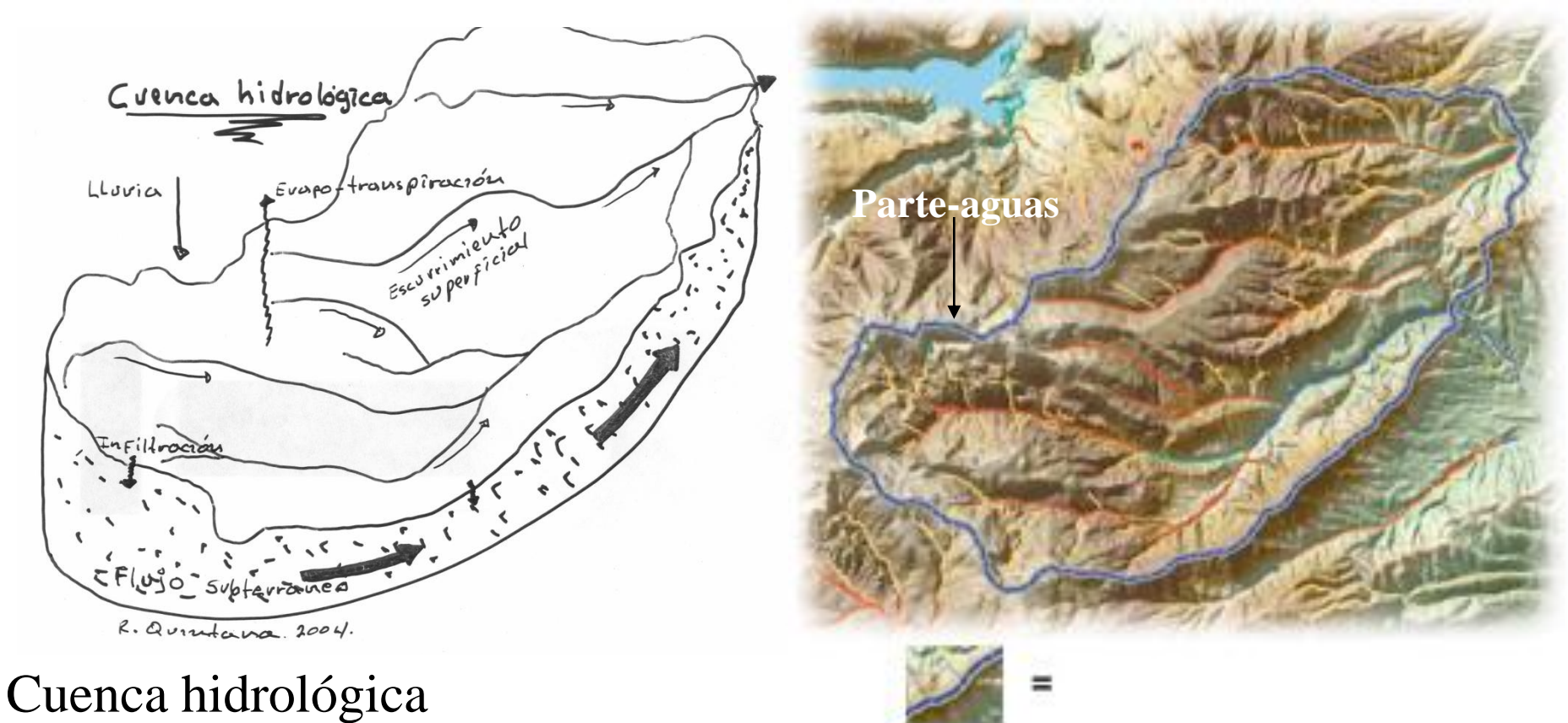
Es común que el total de agua estimada en la tierra se asocie a la hidrosfera. Esta es la llamada agua libre que se encuentra en un volumen de 1386 millones de kilómetros cúbicos aproximadamente, de los cuales el 97.5% es agua salada y el 2.5% agua dulce. La mayor parte del agua dulce se encuentra como hielo en las zonas polares (68.7%), el 29.9% como manto subterráneo, .9% como humedad de suelo y agua congelada en el subsuelo y solo el .3% corresponde a los cuerpos de agua superficial en lagos y sistemas de ríos en las cuencas.



Solo el 0.3% del agua es facilmente disponible para las actividades del hombre, ademas indispensable para los ecosistemas.

Adaptado de Earthscape, 2004

Geomorfología fluvial

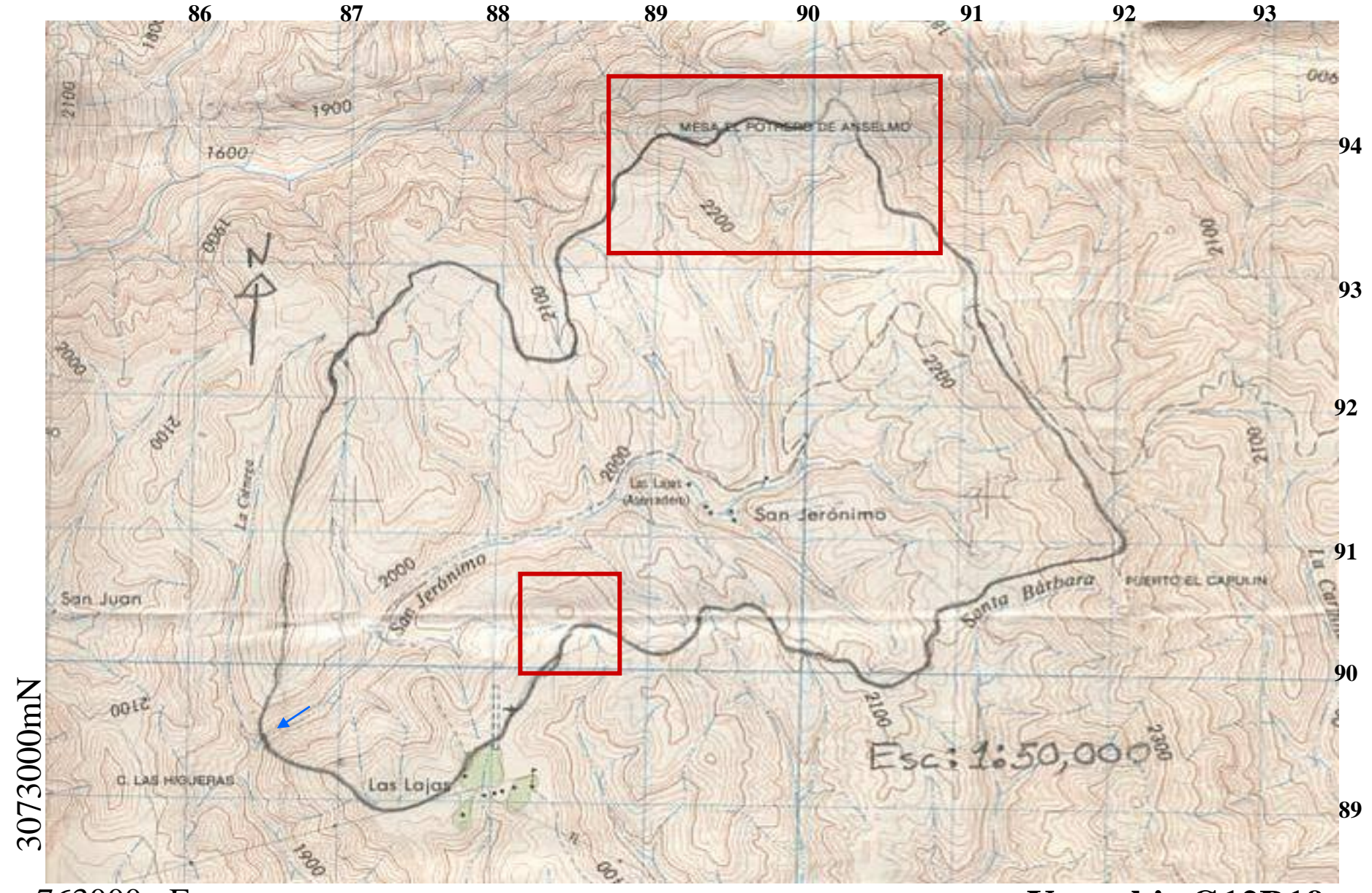


La estructura geológica y la acción de los agentes erosivos físicos, químicos, fluviales y eólicos han sido los responsables de la formación de las cuencas (*Campos*, 1987).

Cuenca hidrográfica.- Área drenada por un sistema de corrientes los cuales conducen el escurrimiento de toda el área hacia un punto de salida

Parte-aguas.- Línea hipotética del contorno de una cuenca hidrográfica que la separa de las adyacentes y distribuye el escurrimiento en el sistema de cauces que confluyen hacia la salida.

Delimitación hipsométrica de una cuenca hidrográfica



763000mE

Escala: 1: 50,000 Equidistancia entre curvas hipsométricas 20 m

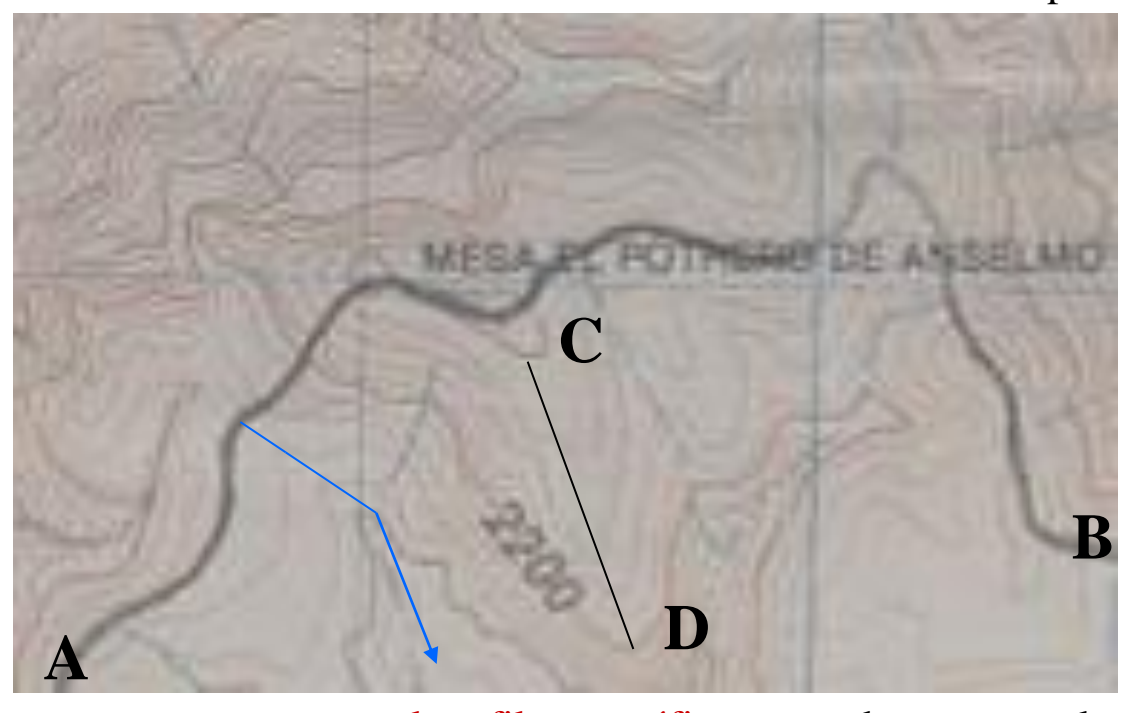
Uruachic G12B19

CHIHUAHUA

Interpretación hipsométrica en la cartografía

Las líneas hipsométricas o curvas de nivel representan la secuencia de puntos con la misma elevación respecto al nivel medio del mar en un documento ortogonal (plano) de la superficie terrestre. En el esquema se muestra la sección **AB** del parte-aguas de la cuenca. Observe como esta línea debe ser trazada por la

parte más alta del relieve y no cortara a ninguna corriente (arroyo) excepto en el limite de la cuenca que se haya definido en la parte mas baja de esta. En este mapa con escala 1:50,000 las líneas hipsométricas están trazadas con una equidistancia de 20 m. Observe las corrientes que se resaltan como ejemplo en color azul. Ponga atención en la disposición de la curva de nivel por donde el arroyo baja de la montaña. La inflexión de la línea hacia las cumbres es un indicador de la baguada.



A continuación se indica el segmento **CD** para que se construya el perfil topográfico tomando en cuenta las variables de diferencia de elevación y distancias en la horizontal. Este trabajo lo debe realizar usando una hoja de papel milimétrico.

Comente con el profesor las posibles aplicaciones practicas de la cuenca y las formas mas apropiadas para trazar el parte-aguas. La lectura hipsométrica se practicará en la delimitación de la cuenca que se seleccione para la practica del curso. Recuerde que los mapas ortogonales son representaciones planas de la superficie terrestre y por tanto toda medida lineal será respecto a la horizontal; por esto es necesario aplicar el concepto de pendiente, a fin de calcular si se requiere la distancia real..

Vertientes hidrográficas de México

La marcada diferencia entre algunas regiones de la plataforma litosférica desde el punto de vista geológico han dado origen a las vertientes hidrográficas donde se encuentran los interfluvios en el país. México cuenta con sistemas exorreicos y endorreicos, como es la vertiente del Pacífico y Golfo, y el sistema de lagunas interiores de Chihuahua respectivamente.



Características Físicas de la Cuenca

La geomorfología de la cuenca se caracteriza principalmente por los parámetros de: Superficie, índice de forma, sistema de drenaje que contempla orden de corrientes, densidad y frecuencia de canales; y la hipsometría que se define por pendiente media y la elevación media.

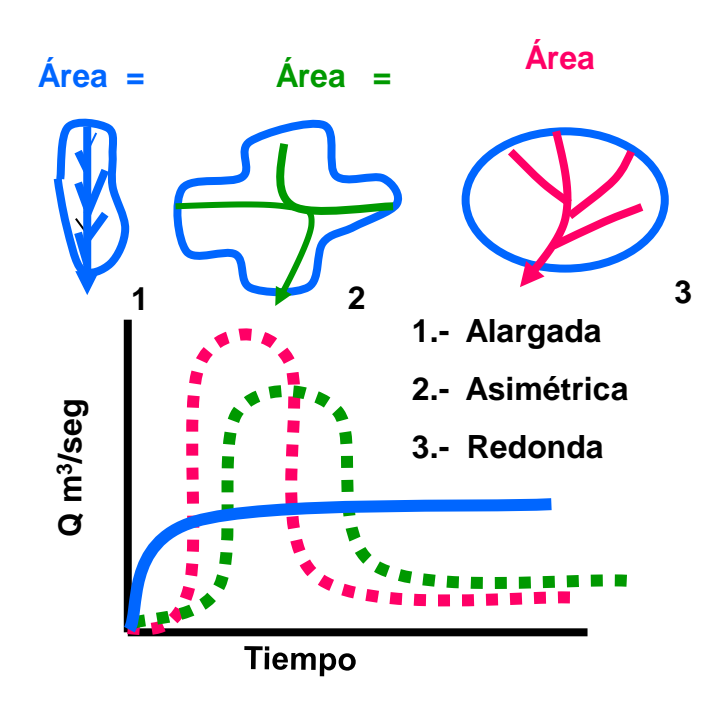
Superficie de la cuenca.- Es el área de la cuenca que se tiene hasta el parte-aguas y se expresa en Km², hectáreas, acres; en el caso que esta variable se refiera a la superficie a la escala del mapa entonces se puede presentar en las unidades de cm², m², pulg.² etc.

La medida de esta variable se realiza generalmente con un planímetro, red de puntos o bien si se tiene la cartografía en formato digital las medidas se realizan mediante el SIG utilizado.

Clasificación general de la cuenca según la superficie:

Unidad hidrológica	Área (Km²)	# de orden
Microcuenca	10-100	1,2,3
Subcuenca	101-700	4,5
Cuenca	> 700	6 o mas

Forma de la cuenca.- La forma de la cuenca es desarrollada principalmente en función de las condiciones geológicas. Se han reconocido las formas alargadas, redondas y asimétricas. Esta característica influye en el comportamiento hidrológico de tal forma que los hidrogramas de escurrimiento son diferenciados en sus tiempos de concentración y la energía cinética que este



presenta. Discuta según la gráfica como la forma influye en las condiciones ecológicas y de uso en el área. Las cuencas alargadas mantienen agua superficial en su canal principal por mas tiempo.

Coeficiente de compacidad.- Se llama coeficiente de Gravelius (Cc) al cociente adimensional entre el perímetro (P) de la cuenca y la circunferencia (Pc) de un circulo con igual área (A) de la cuenca.

$$Cc = P/Pc$$

Cc (valores)	Forma de la cuenca
1.0 a 1.25	REDONDA
1.26 a 1.50	OBLONGA (asimétrica)
1.51 a 1.75	ALARGADA

Relación de elongación.- El índice de Shumm (Re) se define como el cociente adimensional entre el diámetro (D) de un circulo que tiene igual área (A) que la cuenca y la longitud (Lc) de la misma. La (Lc) se define como la mas grande dimensión de una línea paralela al cauce principal desde su salida hasta el parte-aguas.

$$Re = D/Lc$$

Re (valores	Forma de la cuenca	
1.0 a 0.75	REDONDA	
0.74 a 0.50	OBLONGA	
< de 0.49	ALARGADA	

Elevación media de la cuenca.- La variable elevación media de la cuenca tiene una relación muy alta con la ocurrencia de la precipitación y así mismo con otras variables hidrológicas tales como el tiempo de concentración del escurrimiento y la energía cinética

Estimación de la elevación media usando malla de cuadros

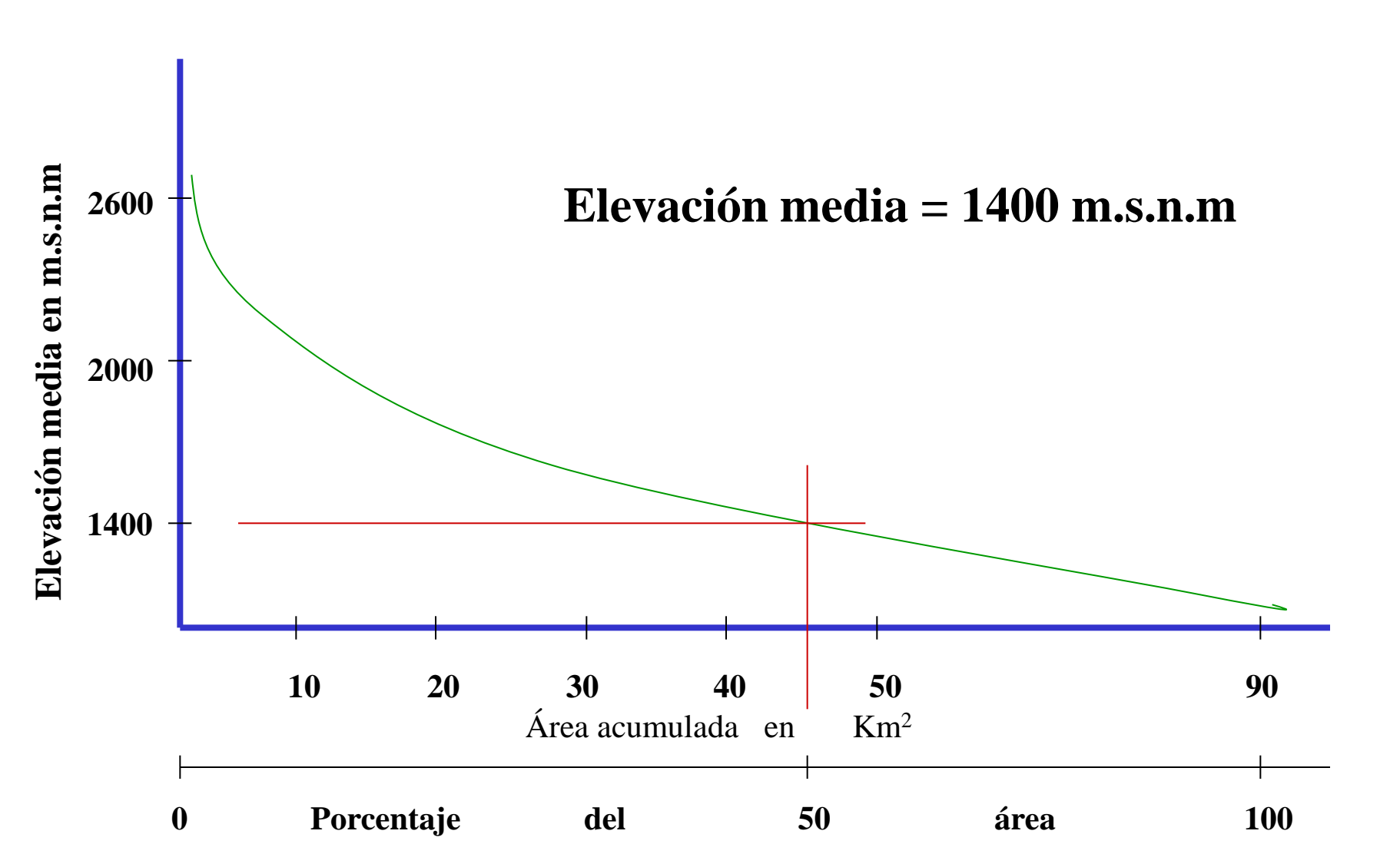
Del orden de 100 intersecciones que queden comprendidas dentro de la cuenca, la elevación será el promedio aritmético de la elevación muestreada por las intersecciones que estén dentro de la misma. Puede ser utilizada una malla de puntos para definir los datos de elevación



En esta intersección la elevación tiene un valor de 2300 msnm. Se recomienda que el muestreo sea de 100 intersecciones. Recuerde que en este mapa la equidistancia entre curvas es de 20 m.

Estimación de la elevación media mediante la curva hipsométrica

A partir de la curva se estima la elevación media de una cuenca, definiendo la cota correspondiente al 50% del área de la zona de drenaje en estudio.



Página 13

Pendiente media de la cuenca.- La pendiente tiene un efecto sobre los procesos hidrológicos de la cuenca. Las áreas mas pendientes generan escurrimientos erosivos y generalmente bajo condiciones de uso racional las plantas que en estas zonas se presentan han desarrollado su morfología para retener a el agua de lluvia (Por ejemplo los pastos amacollados respecto a los de talla media). Por otra parte es común que las regiones de la cuenca con mayores pendientes se definan como áreas de recarga básica, pues es aquí donde llueve mas.

El tiempo de concentración y su influencia en las máximas crecidas es determinado en gran medida por la pendiente media; por esta razón es importante contemplar a este parámetro según se ubiquen los pueblos y/o infraestructura que puede ser inundada.

Existen dos técnicas para determinar a la pendiente media de una cuenca; el método de Alvord y el de Horton.

Formula de Alvord:

$$Sc = D(L)/A$$

Sc = Pendiente media de la cuenca (%)

D = Equidistancias entre curvas de nivel (Km)

L = Longitud de las curvas de nivel en la cuenca (Km)

 $\mathbf{A} = \text{Área de la cuenca (Km}^2)$



Formula de Horton:

Esta técnica utiliza una malla de cuadros y se recomienda que el muestreo sea suficiente en el número de líneas en X, Y. Estadísticamente se recomienda que se definan como mínimo 16 cuadros para superficies Hasta de 250 Km².

$$Sx = nx (D) / Lx$$

 $Sy = ny (D) / Ly$

Donde:

Sx, Sy = Pendiente parcial de la cuenca en cada sentido X.Y.

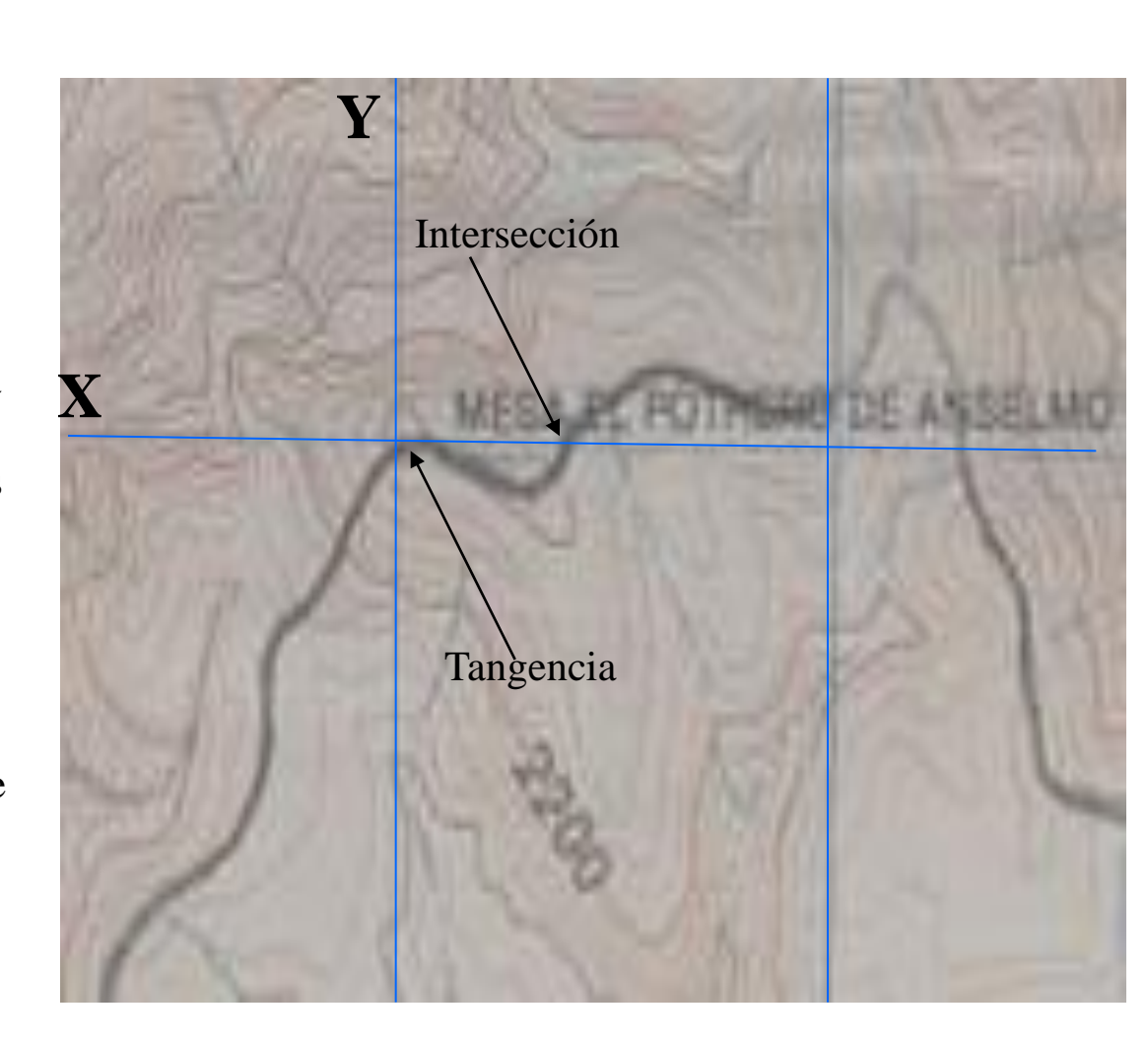
nx, ny = Número total de intersecciones y tangencias de las lineas de la maya de cuadros con las líneas hipsométricas.

Lx, Ly = Longitud total de las líneas de la malla en el sentido X, Y dentro de la cuenca (Km).

D = Equidistancia entre las curvas de nivel (Km)

Los pendiente promedio se define:

$$Sc = (Sx + Sy) / 2$$

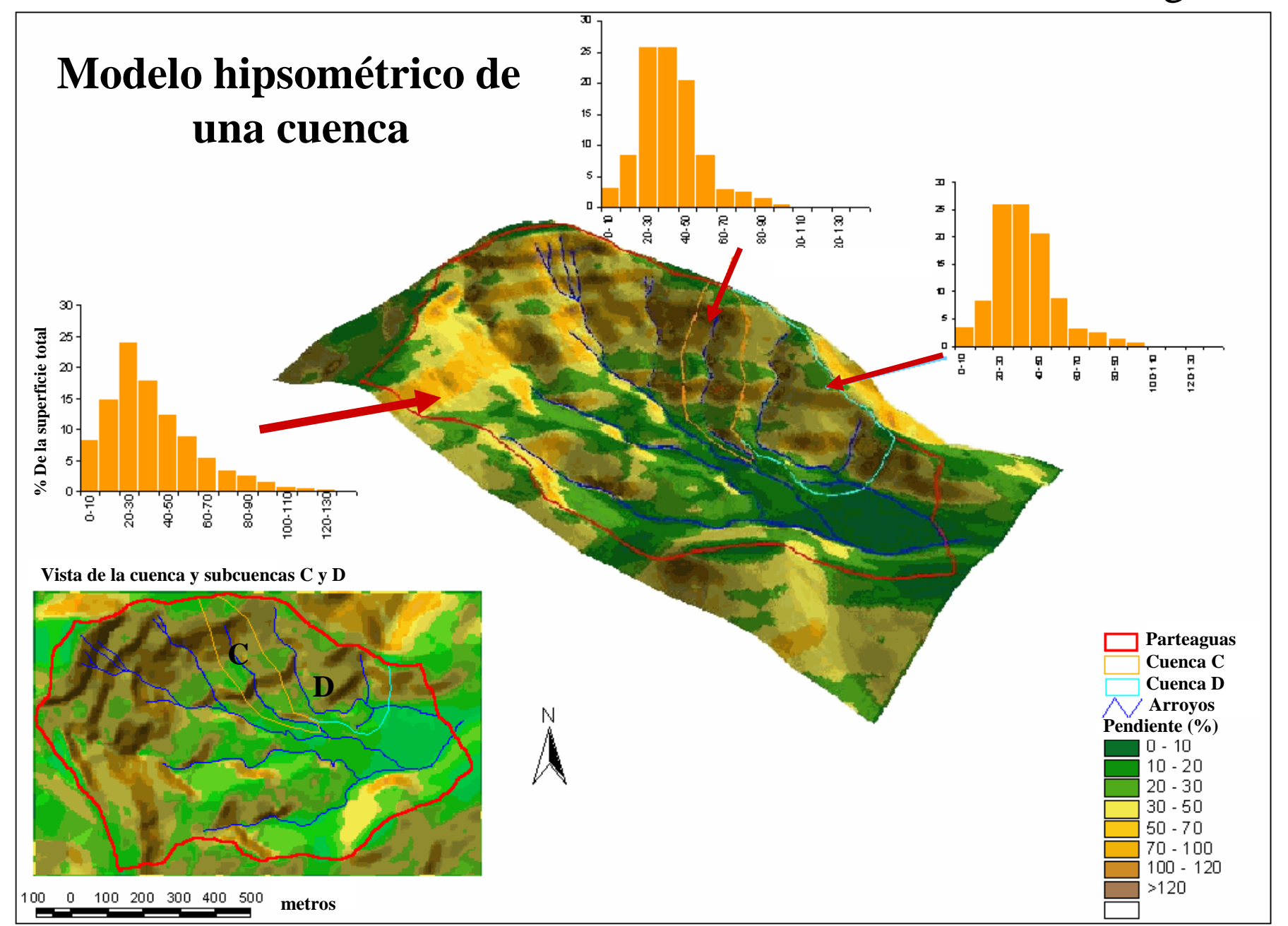


Clasificación de las cuencas según la pendiente promedio de sus laderas.

PEND. MEDIA (%	TIPO DE RELIEVE	SIMBOLO
0-3	→ Plana	P1
3-7	Suave	P2
7-12	→ Mediano	P3
13-35	Accidentada	P4
36-50	Fuerte	95
51-75	Muy fuerte	P6
> 75	Muy escarpada -	P7



Página 16

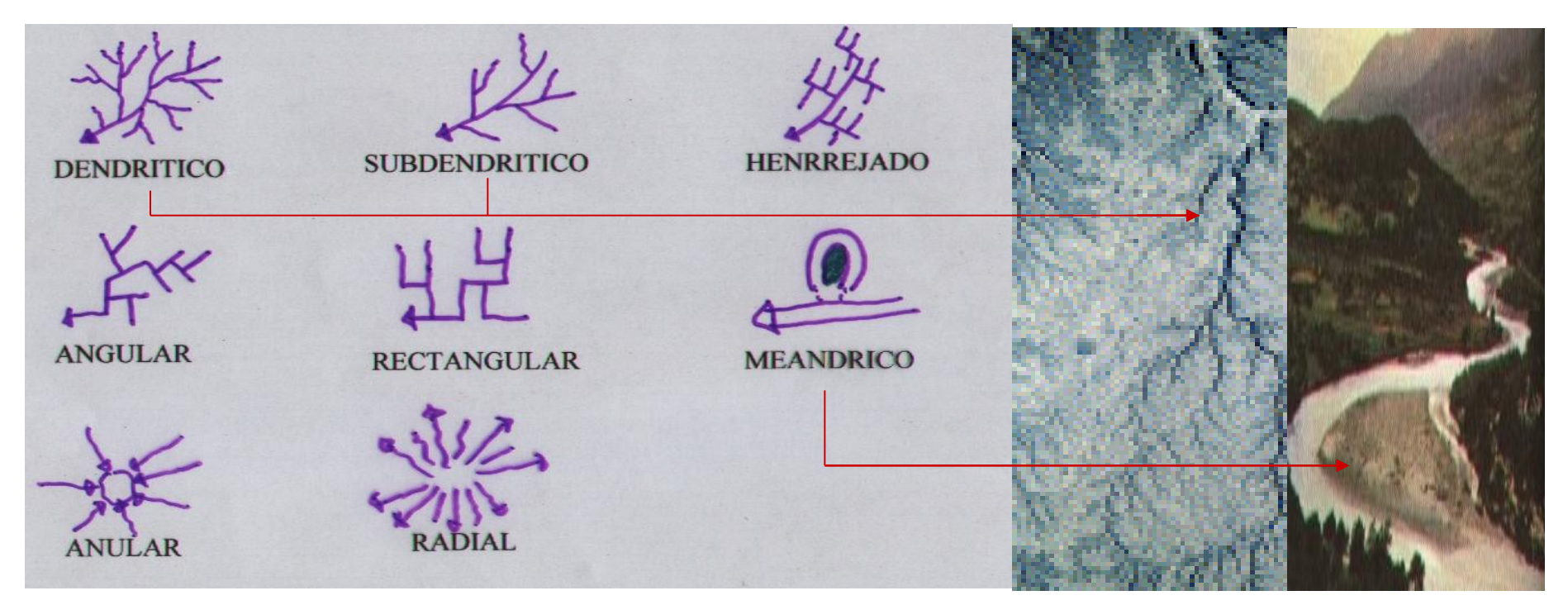


Página 17

Sistema de drenaje.- Se define como el conjunto de ríos y arroyos por el cual fluye el escurrimiento superficial y sub-superficial de manera temporal o permanente. Las principales características en un sistema de drenaje son: Tipo de corrientes, modelo de drenaje, orden de corrientes y densidad de drenaje.

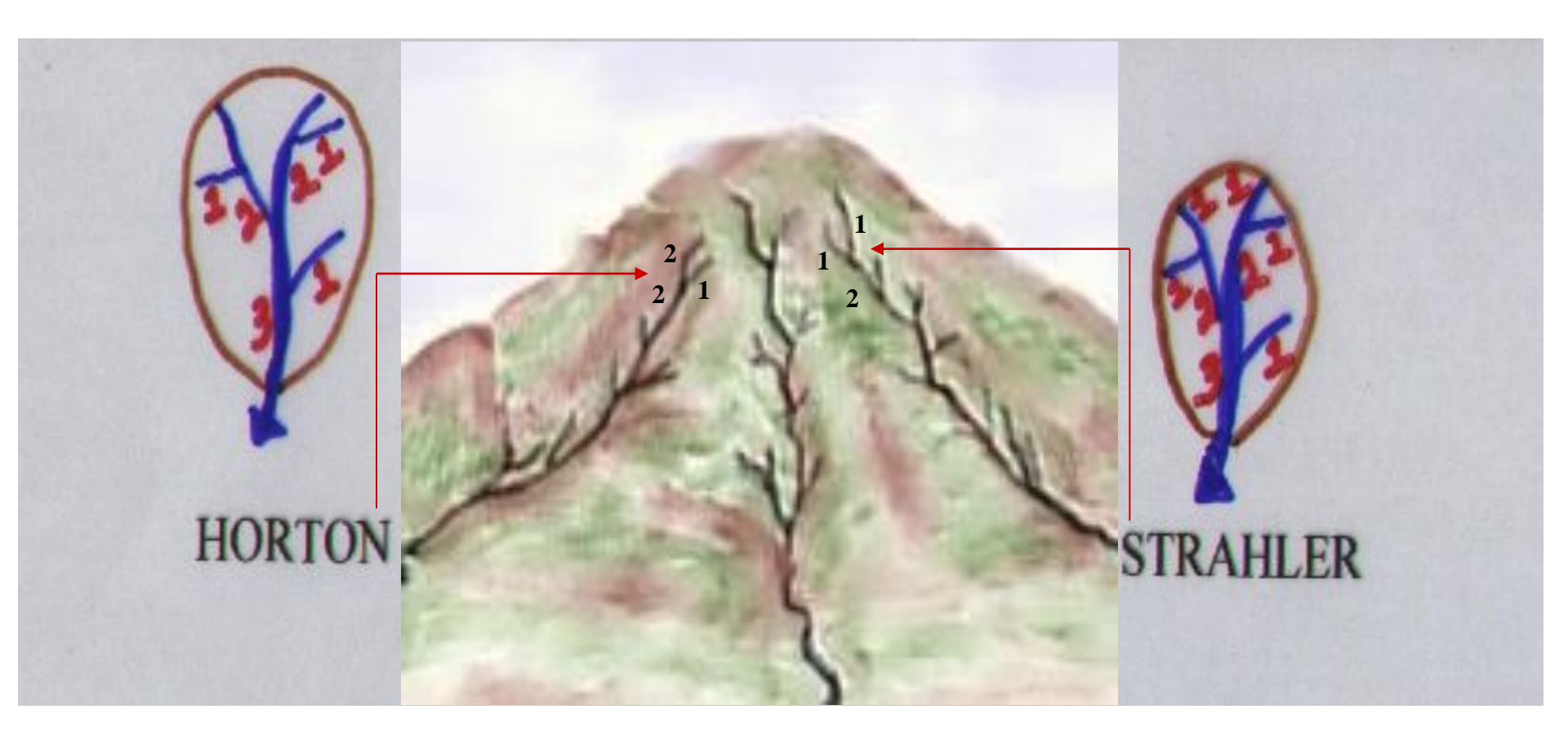
Tipos de corrientes.- Se identifican a las corrientes perennes, intermitentes y efímeras según si el escurrimiento se presenta durante todo el año, durante una parte del año o solo después de una tormenta, respectivamente.

Modelo de drenaje.- La combinación de aspectos de clima y geología dan oportunidad a un proceso de erosión particular, mismo que permitirá el desarrollo de un dado modelo de drenaje. Los modelos de drenaje pueden conducir el escurrimiento en las modalidades de <u>endorreicas</u>, cuando el producto del escurrimiento se concentra en una depresión y no tiene salida del continente y <u>exorreicas</u> cuando existe salida al mar.



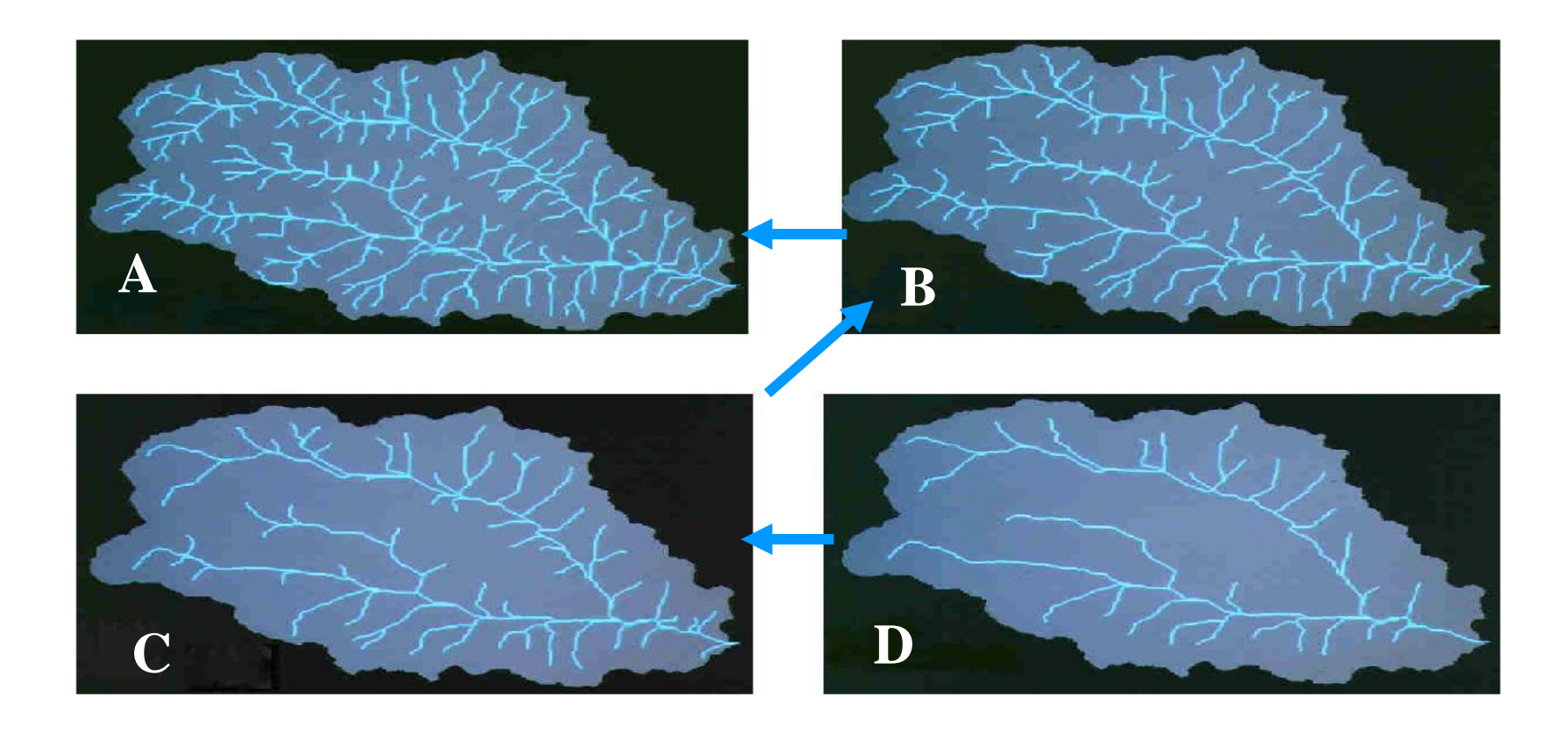
Página 18

Orden de corrientes.- La clasificación del grado de ramificación o bifurcación que el sistema de corrientes de una cuenca presenta se denomina orden de corrientes; existen los criterios de Horton y Strahler para este ordenamiento., el primero asigna el orden numero 1 a los arroyos mas pequeños que no están ramificados, el orden 2 a las corrientes que solo tienen ramificaciones o tributarios de primer orden, el orden 3 a los que solo tienen tributarios de ordenes inferiores y así sucesivamente; en el segundo criterio se asume que los menores ordenes son los arroyos no ramificados y pequeños que al confluir derivan a un cauce de orden 2, y si se da la confluencia progresiva de dos canales con el mismo orden estos generan a el orden inmediato superior



Densidad de drenaje.- La densidad de drenaje (Dd) se define como la longitud total (L) de los cauces dentro de la cuenca en kilómetros, dividido por el área total (A) de drenaje en kilómetros cuadrados. En las figuras A,B,C,D observamos diferentes densidades de drenaje, en la primer cuenca se tiene la mayor longitud de canales por unidad de superficie respecto a la ultima.

$$\mathbf{Dd} = \sum_{1}^{k} \sum_{1}^{u} \mathbf{Lu/Au} = \sum_{1}^{u} \mathbf{L/A} \qquad (km/km^{2})$$



Precipitación

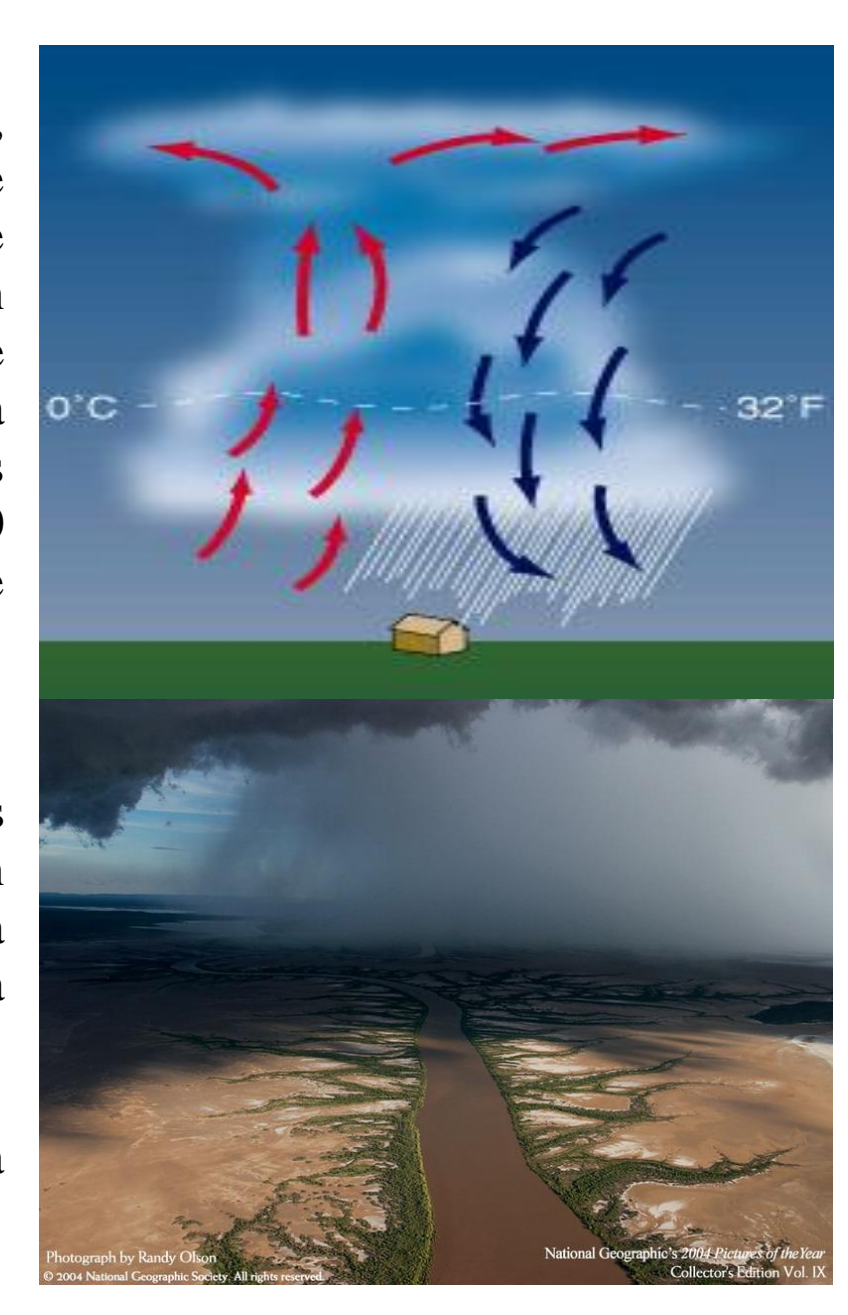
Se ha definido como la caída de agua (agua, granizo, agua nieve y nieve) desde la nube hasta la superficie de la tierra El contenido de humedad en la atmósfera depende de la evaporación de los cuerpos de agua (ríos, lagos etc.) así como de la transpiración de los seres vivos; Sin embargo la fuente principal de humedad es el océano El sol es la energía básica para evaporar, proporcionando 200 cal/cm² de un total recibido en un día soleado de 400 cal/cm².

Enfriamiento del aire y precipitación

El proceso fundamental de enfriamiento del aire es el fenómeno denominado elevación y expansión adiabática de las moléculas del aire, lo cual facilita la condensación del vapor de agua y por tanto la precipitación (Wallace y Hobbs, 1977).

La expansión adiabática separa las moléculas.

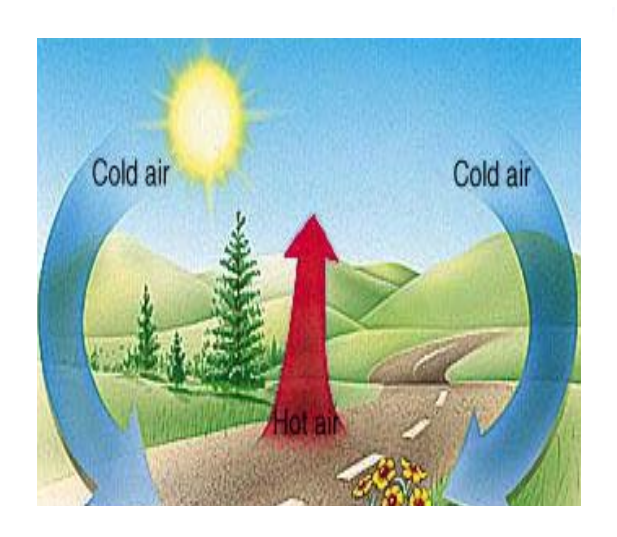
La <u>condensación</u> se da por la disminución de la fricción y la temperatura.

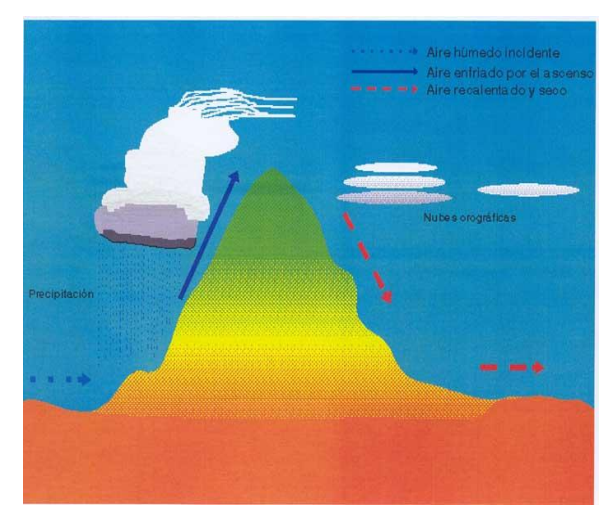


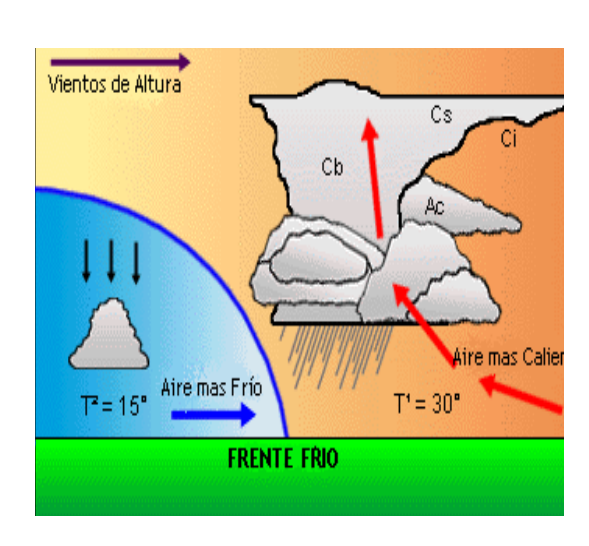
Tipos de precipitación

La precipitación es clasificada de acuerdo al factor que propicia el movimiento vertical de la masa de aire (*Branson*, et al. 1982).

- a) Convectivo.- La diferencia de temperatura entre la masa de aire cercas del suelo y la que esta en altura causa cambios en la densidad del los estratos de la atmósfera (a mayor temperatura, menor densidad). El aire mas denso baja y el mas calido sube; este fenómeno se conoce como movimiento convectivo.
- **b) Orográfica**.- El aire calido y húmedo localizado cercas de la superficie terrestre se encuentra con una barrera orográfica y asciende. Este proceso inicia la expansión adiabática y disminuye su temperatura causando la formación de nubes.
- c) Frontal.- Masas de aire calido que provienen de la zona intertropical se encuentran con masas de aire frío que provienen de los polos, causando un ascenso del sistema calido. Estos sistemas provocan zonas de lluvia muy extensas (hasta 1000 Km) con precipitaciones frías en la parte mas al norte y calidas hacia el sur.







a

b

(

Técnicas para medir la precipitación

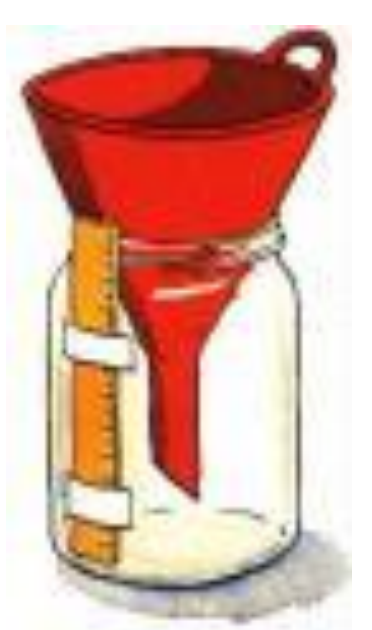
Las técnicas mas comunes para evaluar a la precipitación en zonas áridas y semiáridas se fundamentan en el monitoreo espacial de los eventos de lluvia para así estimar a la variable en una área determinada.

Pluviómetro.- Realiza el muestreo de la lamina de lluvia ocurrida en una área determinada (milímetros, centímetros, pulgadas etc.).

Pluviógrafo.- Grafica al muestreo de lluvia a través del tiempo. Esta técnica además de calcular a la lamina nos permite conocer a la intensidad de la lluvia (mm/hr, cm/hr etc.) y la duración (minutos, horas, días etc.).

Telemetría.- Determina la distribución de la lluvia en una zona o región de interés.

Radar meteorológico.- Muestra a la cobertura de nubes y la posibilidad de lluvia a nivel local, regional e incluso a nivel continental o hemisférico.

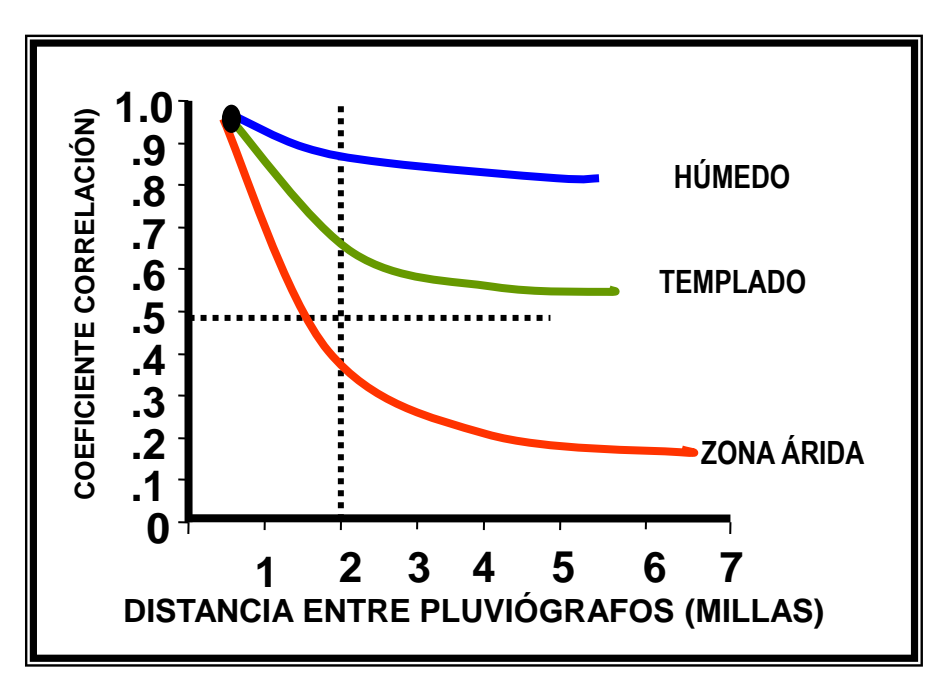






Distribución de pluviógrafos y pluviómetros

La estimación de la lluvia para una zona se fundamenta en la distribución y distanciamiento de los equipos de tal forma que los datos no sean extrapolados a lugares sin monitoreo. Se recomienda para tener al menos una probabilidad del 50% de éxito en la estimación de la lluvia promedio que los monitores estén a 3 km uno del otro; sí se necesita un 80% de veracidad en la estimación la distancia entre pluviómetros o pluviógrafos debe ser entre 1.5 a 2 km.



Métodos para estimar la precipitación media en una área

Los métodos utilizados para calcular la precipitación media en una área de interés que tiene un sistema de monitoreo son la <u>media aritmética</u>, <u>por líneas isoyetas</u> y los <u>polígonos de Thiessen</u>; el primer procedimiento es el menos completo ya que no permite ponderar los cálculos por la superficie asignada a cada dato medido, el segundo es una técnica que permite involucrar a la distribución espacial; sin embargo cuando no se cuenta con el mapa de isoyetas construido bajo la supervisión de un meteorólogo los resultados no son muy aceptables, el ultimo método indicado es el mas versátil ya que se basa en polígonos regulares que analizan a la distribución espacial.

Media aritmética.- Se suman los valores de precipitación de cada una de las estaciones dentro del área de interés o bien dentro de la cuenca, dividiendo a dicha sumatoria entre el numero de estaciones consideradas. Solo se recomienda cundo se tiene una zona con topografía plana y con pluviómetros uniformemente distribuidos.

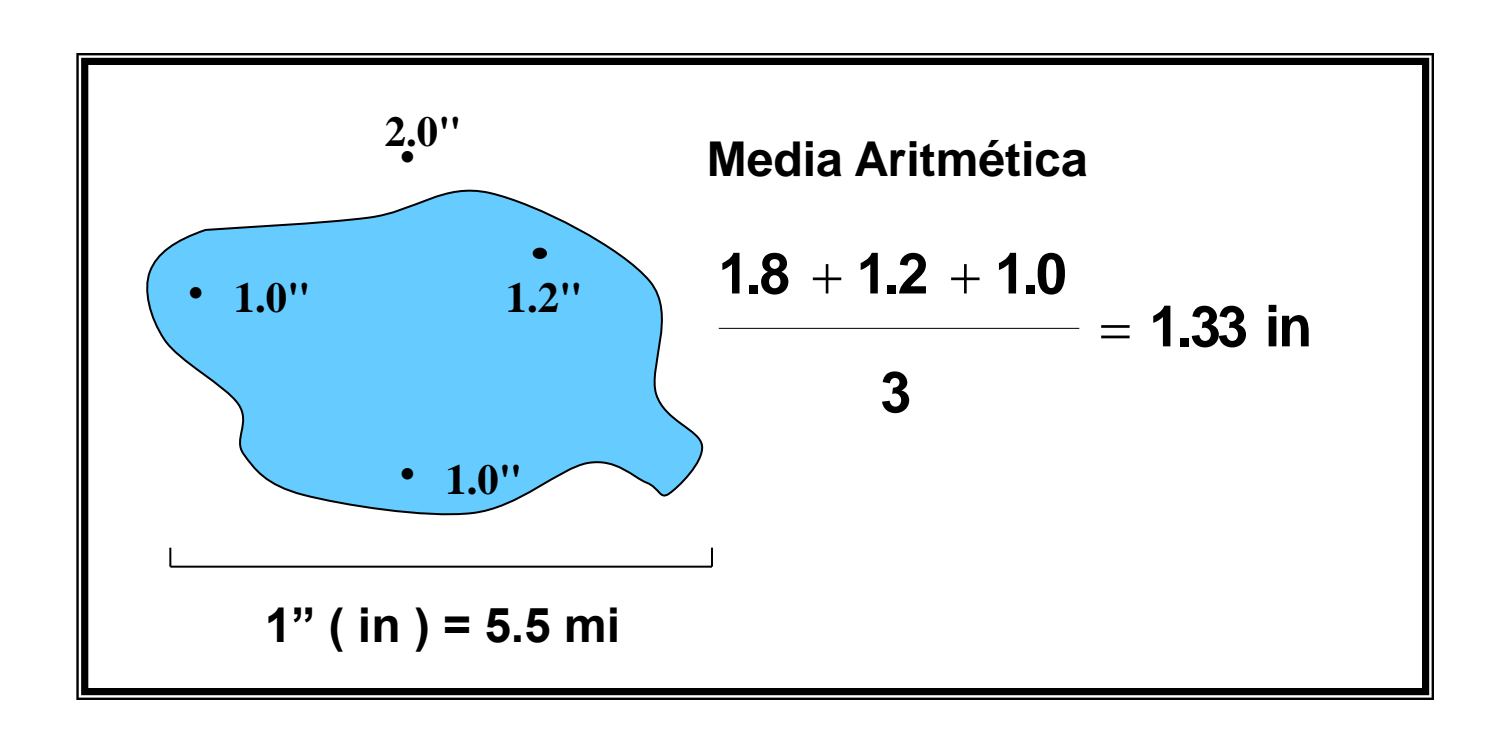
$$Pm = (p1+p2+p3+pn)/n$$

Donde:

Pm = Precipitación media en la cuenca (mm, cm, pulgadas)

Pn = Datos de lluvia en cada estación dentro de la cuenca (mm, cm, Pulgadas)

n = Número de estaciones de monitoreo de lluvia



Método de las isoyetas.- Se miden las áreas comprendidas entre dos líneas isoyetas sucesivas dentro del parte aguas de la cuenca y se multiplica por la precipitación media entre isoyetas. La suma de estos productos dividido entre la superficie total de la cuenca calcula a la precipitación media.

$$Pm = \sum (Ai/A) Pi$$

Donde:

Pm = Precipitación media en la cuenca (mm, cm, pulgadas)

Ai = Area entre cada dos isoyetas dentro del parte aguas de la cuenca (km², cm²)

 $A = \text{Área total de la cuenca (km}^2, \text{cm}^2)$

Pi = Precipitación media entre cada dos isoyetas (mm, cm, pulgadas). Se calcula promediando los datos de lluvia de las isoyetas.

2.0"	2.0"	Isoyetas			
	1.2"	Isoyetas (in.)	<i>Ai</i> (mi²)	P _i (in)	Ai xPi (in — mi²)
1.8"	1.8"	2.0	5.1	1.9	9.69
		1.8	9.82	1.5	14.7
	1.0"	1.2	3.11	1.1	3.41
		1.0	5.6	0.5*	2.8
23.6 30.6					30.6
Promedio de Iluvia = 30.6/23.6 = 1.30 in.					
		* Estimade	0		

Polígonos de Thiessen.- Consiste en ubicar en un mapa las estaciones pluviométricas con respecto a la cuenca en estudio. A continuación se forman triángulos con las estaciones mas próximas; las líneas de enlace entre los puntos deben tener ángulos menores a 90 grados. Trazando las **mediatrices o bisectrices** perpendiculares a cada lado de los triángulos formados se definen así polígonos alrededor de cada estación.

 $Pm = \sum (Ai/A) Pi$

Donde:

Pm = Precipitación promedio en la cuenca (mm, cm)

Ai =Área del polígono de cada una de las estaciones i dentro del parte aguas de la cuenca (km², cm²)

A = Área total de la cuenca (km², cm²)

Pi = Precipitación registrada en la estación "i" durante la tormenta analizada (mm, cm)

2.0"	Polígonos	de Thiesse	n	
	<i>Pi</i> (in.)	Ai (mi ²)	Ai/A_t	$(P)(Ai/A_{\rm t})$ (in)
1.2,"	2.0	1.5	0.064	0.13
1.8"	1.8	7.2	0.305	0.55
	1.2	5.1	0.216	0.26
	1.0	9.8	0.415	0.42
1.0"	$\sum =$	23.6	1.000	1.35 pulg.

Frecuencia de lluvia

Periodicidad media estadística en años (2,5,10,15,50,100 etc.) con que se puede presentar una tormenta.

F = t/m o n/m

Donde:

n o t = numero total de años registrados

m = numero de orden de la lluvia

El procedimiento de calculo de la frecuencia requiere de la tabulación de los valores de intensidad máxima ó laminas de lluvia en los diferentes años, ordenar los valores anteriores de mayor a menor y aplicar la formula.

Año	Lamina de lluvia	Numero de orden	Lamina de lluvia ordenada	Periodo de retorno
2000	355	1	980	6
2001	420	2	680	3
2002	405	3	420	2
2003	390	4	405	1.5
2004	680	5	390	1.2
2005	980	6	355	1

Si observamos, la mas alta lamina registrada durante el año 2005 es la que tiene la mas baja posibilidad de ocurrir al menos durante los próximos 6 años; Sin embargo la lamina ocurrida en el año 2000 es la que puede tener recurrencia cada año.

Evaporación

Es el proceso por el cual el agua pasa de su estado liquido al gaseoso y se incorpora a la atmósfera. Este proceso es muy importante en la naturaleza y en el ciclo del agua ya que potencialmente hasta el 70 % del promedio anual de lluvia en una cuenca determinada en las zonas áridas y templadas puede ser retornada a la atmósfera; sin embargo existen grandes diferencias entre regiones en cuanto a la magnitud de este fenómeno, siendo en las regiones desérticas donde alcanza mayor magnitud (Brutsaert, 1982; Hargraeves y Samani, 1982). Desde el punto de vista físico la vaporización de un cuerpo de agua depende del diferencial de la presión de vapor (es) en las moléculas de la superficie libre del liquido respecto a la presión de vapor (ea) en las moléculas de la masa de aire sobre la fase liquida.

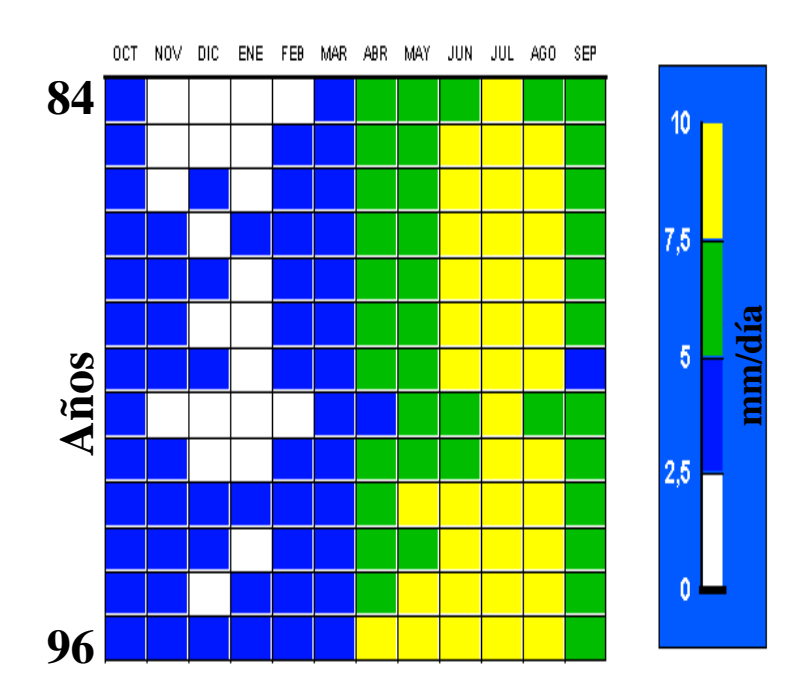
E=C((es-ea)/H)

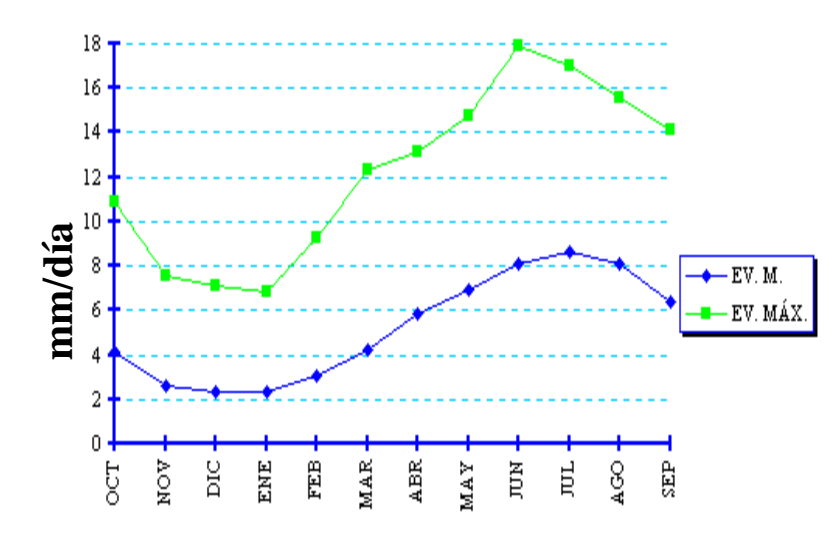
Donde:

H= Presión total (aire mas vapor de agua) en mb o mmHg

C= Constante que toma en cuenta otros factores que influyen en la evaporación (0.6-0.8).

es= Presión de vapor de saturación en mb o mmHg ea= Presión de vapor del aire en mb o mmHg





Métodos mas comunes para calcular a la evaporación

Balance de agua en un cuerpo de agua o una cuenca.- Se basa en el análisis de la formula empírica de balance de agua. Este método es muy simple; sin embargo esta sujeto a los errores de medida de sus variables de entradas (I), salidas (Q) y precipitación (P).

 $E = -\Delta S + I + P - Q - GW$

Donde:

E= lamina de evaporación (cm, mm, pulgadas etc.).

 ΔS = cambio en la recarga

I= entradas (cm, mm, pulgadas etc.).

Q= salidas (cm, mm, pulgadas etc.).

P= precipitación (cm, mm, pulgadas etc.).

GW= movimiento subterráneo (cm, mm, pulgadas etc.).

Método combinado de regresión.- Mediante el conocimiento de la relación de las principales variables que generan a la evaporación se definen las magnitudes de esta correlación para de esta manera construir modelos predictivos que estimen a la variable; Los parámetros mas comunes usados son la temperatura media al día, la radiación solar, la temperatura media al día sobre la superficie libre del liquido y la velocidad del viento promedio al día a 30 centímetros sobre la fase liquida (Kohler et al 1955).

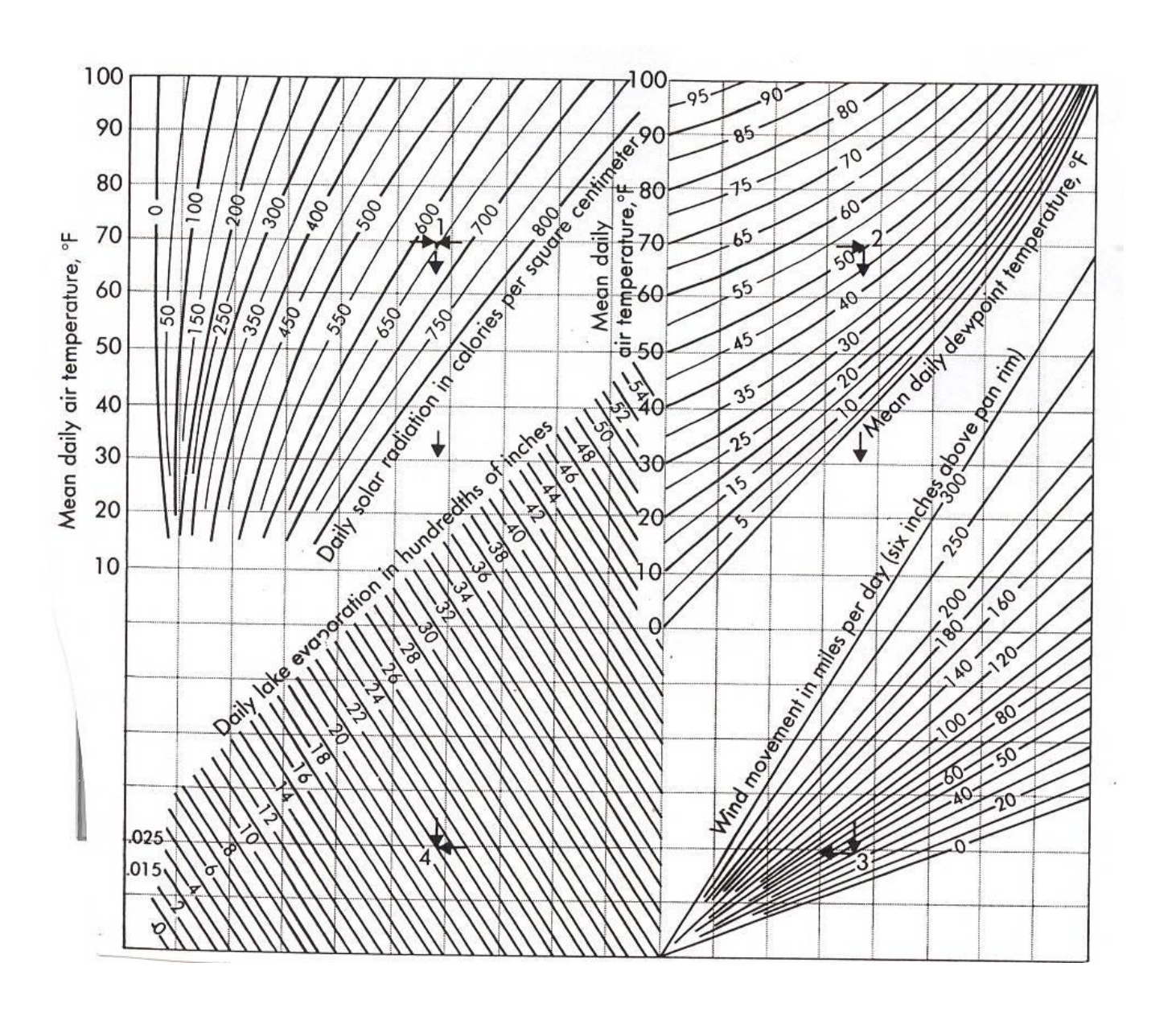
Esta técnica tiene la ventaja de permitir al investigador tomar los datos en el sitio además de ser tan precisa como confiables sean los datos tomados.

Para un lago la temperatura media del día fue de 70 °F. La radiación solar medida fue de 650 langley/dia (1 langley= 1 cal/cm²). La temperatura media sobre la superficie del lago fue de 50 °F, y la velocidad media del viento a 6 pulgadas sobre el lago fue de 40 millas/dia. Usando el nomograma para estimar evaporación defina cual fue la lamina en cm y pulgadas perdida al día del lago por este proceso.

Observando el **punto 1** en la figura 1.12 (Adaptado de Kohler et al. 1955) ubicamos a la temperatura de 70 °F y la radiación solar es de 650 langley/dia. El **punto 2** muestra la intersección de las temperaturas 50 °F y 70 °F. Una línea vertical del punto 2 hasta la intersección de la curva de velocidad del viento 40 millas/dia marca el **punto 3**. El **punto 4** será localizado con la intersección de la línea horizontal trazada del punto 3 con la línea vertical que parte del punto 1; donde la evaporación calculada es de 0.22 pulgadas ó 0.56 cm.



Página 31



Infiltración

El proceso de infiltración ha sido estudiado y definido como el mecanismo mediante el cual el agua se mueve dentro del suelo sujeta a las fuerzas de gravedad y capilaridad Para un determinado tipo de suelo la curva de infiltración muestra a la máxima velocidad de infiltración respecto al tiempo, definiéndose así a la capacidad de infiltración, misma que se alcanza en el momento en que ocurre el escurrimiento superficial y por tanto existe lluvia en exceso (Branson, et al. 1982).

Ecuación para estimar la tasa de infiltración

El concepto hidrológico de la capacidad de infiltración es empírico, basado en la observación de este fenómeno en el suelo. Horton (1940) propuso la formula sustentada en el supuesto que la intensidad de la lluvia (i) es mayor a la intensidad de infiltración (f) en un tiempo dado.

 $f = fc + (fo - fc)e^{-kt}$

Donde:

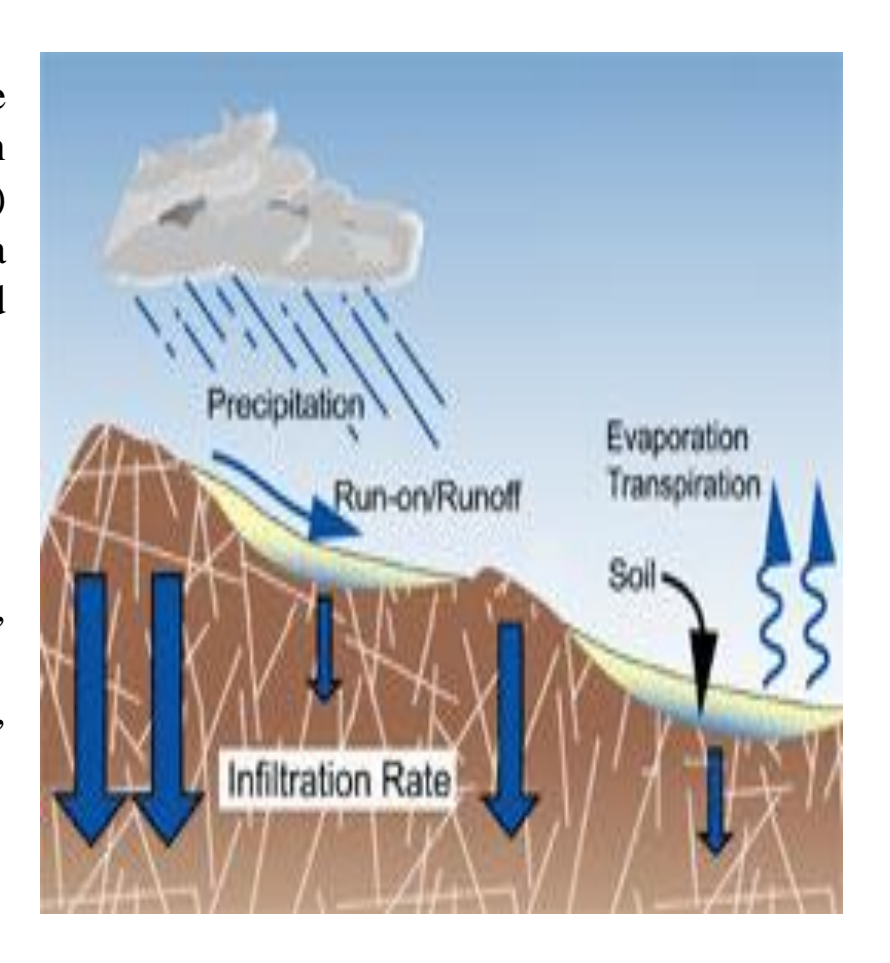
f= capacidad de infiltración (cm/hr, pulgadas/hr)

fo= capacidad inicial de infiltración (cm/hr, pulgadas/hr)

fc= capacidad final de infiltración (cm/hr, pulgadas/hr)

k= constante empírica (hr -1)

t= tiempo (hr)



Métodos para medir la capacidad de infiltración en un sitio y una cuenca

Son varias las técnicas para evaluar a la infiltración en un sitio determinado; sin embargo no todas son igualmente precisas. Las mas comunes son el <u>simulador de lluvias y el índice de infiltración</u> (<u>0Phi</u>). Los anteriores métodos son utilizados regularmente en ecosistemas naturales planos o con pendiente regular (Rawls, et al. 1983). El primer método permite evaluar a un sitio definido, mientras que el segundo cuando se quiere conocer la tasa de infiltración en una cuenca en general.

Simulador de lluvia

Esta técnica permite simular a la lluvia que regularmente se presenta en un lugar determinado. Utiliza áreas de muestreo en donde se tienen las condiciones de vegetación y suelo presentes en el ecosistema. Las variables que el simulador permite conocer y controlar son:

$$\mathbf{F} = \mathbf{P} - \mathbf{Q} - \mathbf{S} - \mathbf{E}$$

F = Lámina de infiltración (mm, cm, pulgadas etc.).

P = Lámina de lluvia aplicada (mm, cm, pulgadas etc.).

Q = Lámina de escurrimiento superficial (mm, cm, pulgadas etc.).

S = Lámina de intercepción (mm, cm, pulgadas etc.).*

E = Evaporación (mm, cm, pulgadas etc.).*

*Estas variables son despreciables o controladas.



Tabla de datos para el calculo de la intensidad de infiltración cuando se usa un simulador de lluvia aplicando una intensidad de precipitación constante.

Tiempo(t) Lamina aplicada(LA) Lamina escurrida(LE) Lamina infiltrada(LI)						
(min)	(cm)	(cm)	(cm)	(cm/hr)		
5	.92	.27	.65	7.8- fo		
10	1.80	.80	1.00	6.0		
15	2.75	1.80	0.95	3.8		
20	3.66	2.90	0.76	2.3		
25	4.58	3.90	0.68	1.6		
30	5.50	4.75	0.75	1.5- fc		

Intensidad de lluvia aplicada= 11 cm/hr (Zaragoza, 1995)

LA = (11 cm/hr) t / 60

LI = LA(cm) - LE(cm)

 $f = \left(LI (cm) / t (min) \right) 60$

Donde (f) es la intensidad de infiltración

Valores típicos de los parámetros fc, fo y k para el modelo de Horton (Rawls et al., 1976)

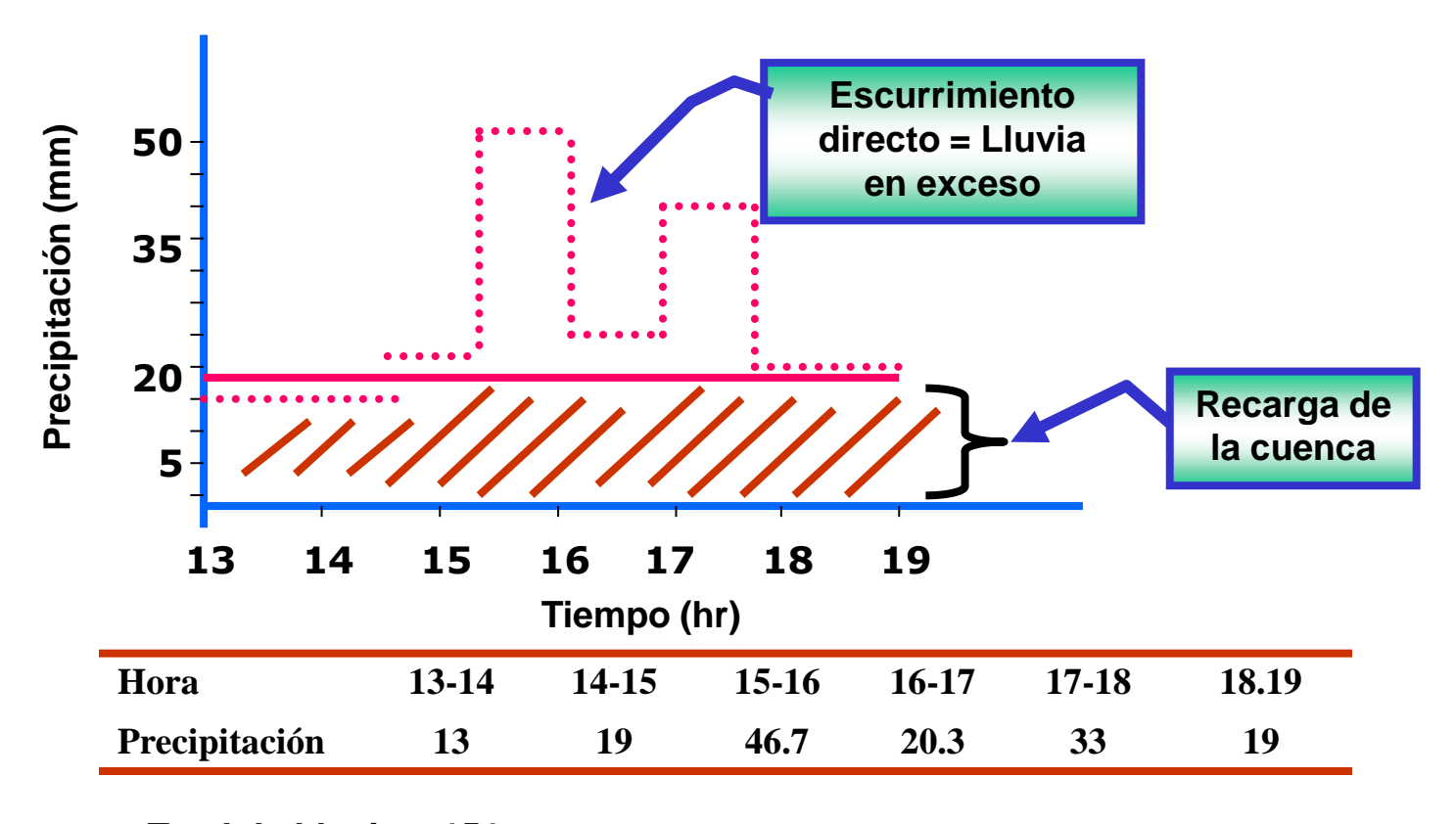
Tipo de suelo	fc	fo	k
	Pulgadas/hr	pulgadas/hr	hr
Limo arenoso (De planos)	1.4	19.00	38.29
Arcillo limoso	1.77	14.77	19.64
Limo arcilloso	2.63	3.47	1.40
Arcillo limo arenoso	2.43	6.24	4.70
Limo arenoso (De laderas)	1.73	11.34	7.70
Arenoso	1.80	23.01	32.71

Cuando los hidrogramas son analizados y es posible conocer y diferenciar a la masa de lluvia de la masa de escurrimiento entonces se define al índice de infiltración (\acute{O} phi). Este índice no es constante, sino que varia con la duración e intensidad de la lluvia; sin embargo se puede expresar un valor promedio en tormentas de larga duración ocurridas en una cuenca determinada (Bedient y Huber, 1992).

Ó Phi = Recarga de la cuenca / Duración de la lluvia

Este índice bajo cualquier circunstancia nos da una idea del volumen infiltrado en la cuenca, pero no incluye el volumen interceptado y almacenado en depresiones.

Una cuenca de 150 km² presento un escurrimiento directo de 45.4 mm cuando recibió una tormenta de 151 mm, la cual se distribuyo de la siguiente manera:



Total de Lluvia = 151 mm

Total de horas de lluvia = 6 hrs

Recarga en la cuenca= Lluvia(151mm) – Escurrimiento superficial(45.4mm)= 105mm Ø Phi= 105mm/6hr= 17.6 mm/hr

Observando que la lluvia ocurrida durante la primer hora no es en exceso; entonces corregimos:

Problemas propuestos

1.- Una cuenca presenta un fo= 7.8 cm/hr y una fc= 1.5 cm/hr; sus suelos están distribuidos en una 60 % limo arcillosos con una k de 1.4 y un 40 % arcillo limo arenoso con una k de 4.7. Utilizando la ecuación de Horton calcule el valor de f a los tiempos de 7 min., 14 min., 40 min., 1.5 hr., 3 hr. Y 8 hr. Grafique la curva de infiltración y estime el volumen de infiltración en el indicado lapso de tiempo.

2.- Una área de drenaje con 200 km² recibe un evento de lluvia de 160 mm y el escurrimiento directo fue de 68.5 mm. Calcule el índice phi en mm/hr, si tomamos en cuenta la distribución de la lluvia (mm); grafique al exceso de lluvia.

Hora	11-12	12-13	13-14	14-15	15-16	16-17	17-18
Lluvia	14	8	13.8	60.3	30	20	13.9

Escurrimiento superficial

Cuando la intensidad de la lluvia excede a la capacidad de infiltración el agua acumulada en la superficie del suelo inicia su movimiento horizontal y origina al escurrimiento superficial. Varios hidrólogos asumen que la cantidad del escurrimiento depende en primer termino de las características de la lluvia; sin embargo consideran que intervienen otros factores tales como el tipo del suelo, pendiente, estado de uso del suelo, cubierta vegetal, características geomorfologicas de la cuenca etc. (Frasier, et al. 1996).

Una de las formulas mas simples para el análisis de esta variable es conocido como el método racional el cual calcula a el máximo volumen posible de escurrimiento (Q) en metros cúbicos.

Q = CPA

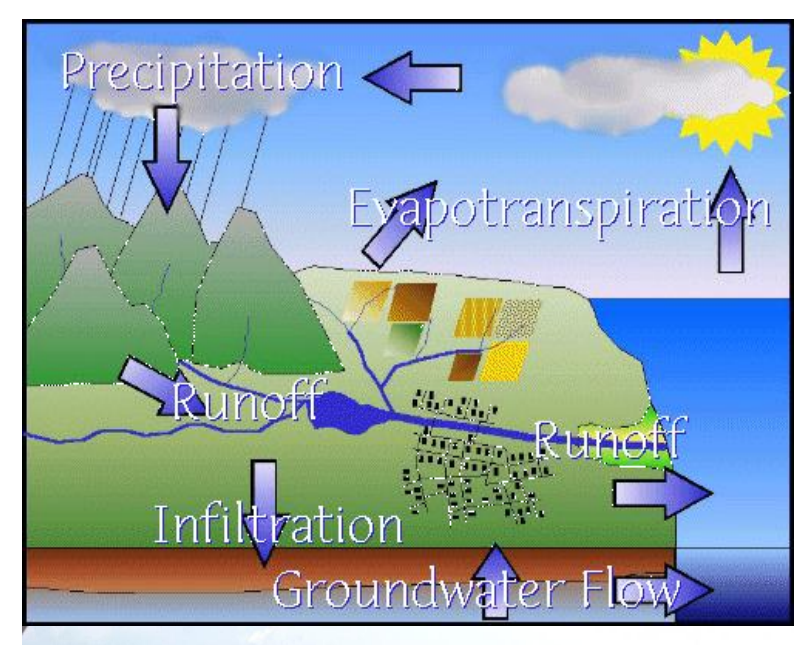
Donde:

C = Coeficiente de escurrimiento que varia con el tipo de uso de suelo (usualmente con valores de 0.002 a 0.8)*

P = Lamina de lluvia promedio (metros).

A = Área de la cuenca o área de captación en metros cuadrados.

*Consultar tablas de coeficientes





Coeficientes de escurrimiento en cuencas según el uso del suelo

CODIGO DE USO	DESCRIPCIÓN DEL USO DE SUELO	VALOR DE C
1	Cuerpos de agua	0.002
2	Residencial	0.400
3	Urbano	0.702
4	Suelo delgado rocosos	0.802
5	Bosque	0.151
6	Pastizal Herbáceas Arbustos	0.251
7	Agricultura	0.405
8	Jardines y parques	0.202
9	Humedales	0.052

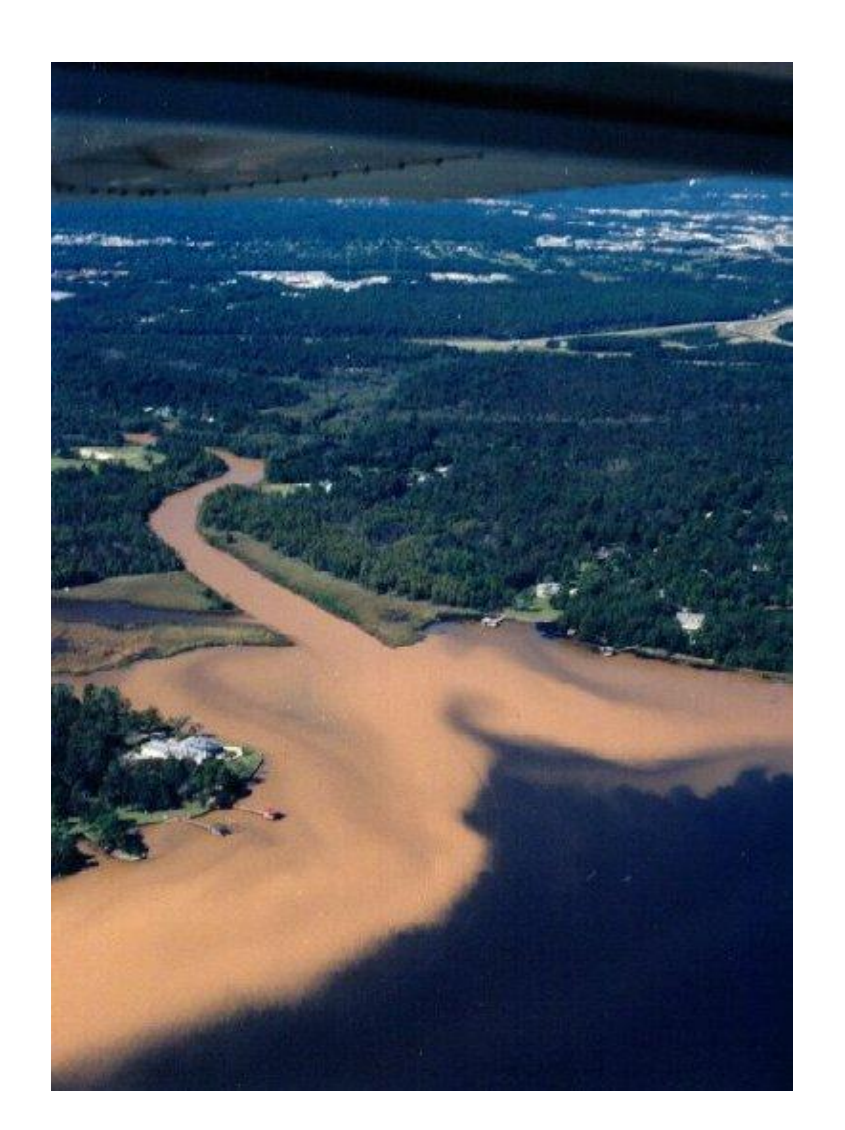
Problemas propuestos

Una cuenca tiene una superficie de 40,000 m². El 40% de su área es pastizal, un 35% bosque, 5% urbano y 20% chaparral. Calcule el volumen de escurrimiento en m³ si ocurre una lluvia promedio anual de 480 mm .

Sedimentación

La sedimentación es el proceso que transporta y suspende a el suelo en el agua de escurrimiento directo o escurrimiento base de una cuenca. Se definen los componentes de la sedimentación como total de sólidos suspendidos (TSS). El TSS es conocido como la parte de suelo removida y transportada en suspensión por un determinado tiempo; siendo depositado como sedimentos en las depresiones del área de drenaje o bien en el océano.

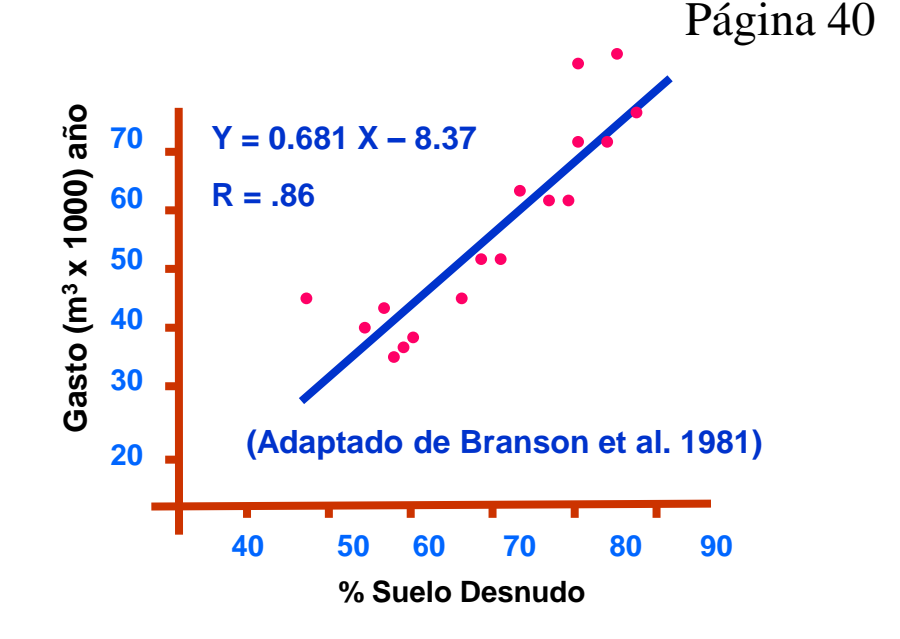
La sedimentación en una cuenca es definido básicamente por la magnitud del escurrimiento superficial, el cual será incrementado en la medida que la **cubierta vegetal** disminuye y las tasa de infiltración es menor (*Gutiérrez, et-al. 1990; Enríquez, 1994*). En lugares con una cubierta vegetal pobre (menos del 10 %) el escurrimiento se presente con valores hasta del 73 %. Como se observa en la grafica el nivel de escurrimiento superficial es muy favorecido por el incremento de suelo desnudo en la cuenca.



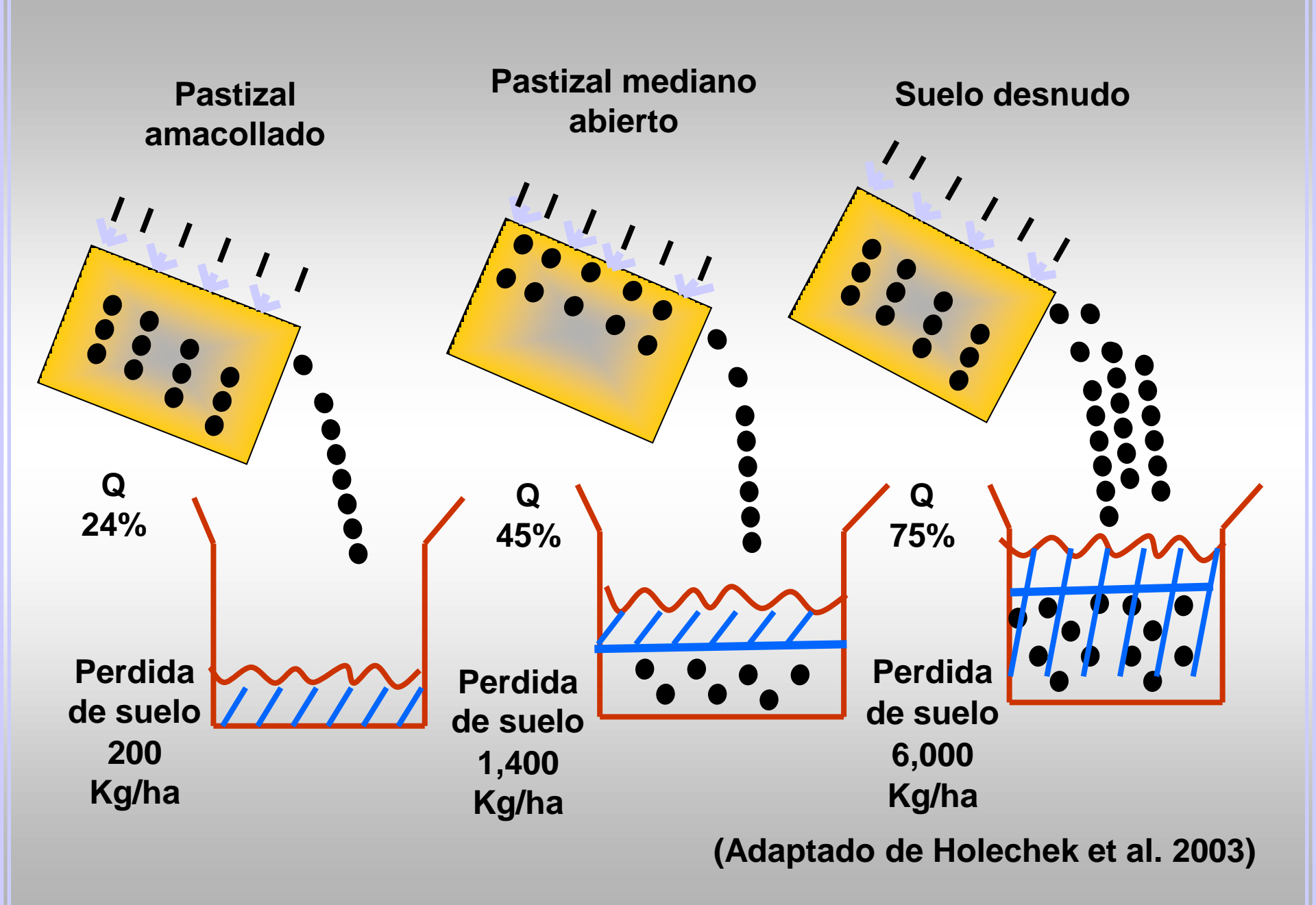
Las mas severas causas de erosión a nivel mundial ha sido el **sobrepastoreo**, siendo este factor el que genera los mas severos niveles de perdida de suelo. El pastoreo reduce la capacidad de infiltración debido a la perdida de los materiales protectores del suelo en su superficie así como a el efecto de la compactación. Son diversos los investigadores que han llegado a concluir que el sobrepastoreo presenta un efecto negativo en el nivel de infiltración y favorece a la sedimentación (Dormaar y Willmas, 1998, Weltz y Wood, 1996, Thurow et al. 1991). En general se ha definido que el uso excesivo de la cubierta vegetal en una

La mejor forma de conservar el suelo y el agua es usando racionalmente la cubierta vegetal.

cuenca afecta a la condición hidrológica.







Intercepción de la lluvia

Proceso por el cual la precipitación es detenida y retenida por la vegetación y se pierde por evaporación antes de alcanzar el suelo (*Branson*, *et al. 1981*). Los principales factores que afectan a la intercepción son la capacidad de almacenamiento por la vegetación y la oportunidad de evaporación.

Componentes de la intercepción

- 1.- Perdida bruta por intercepción, es la cantidad de agua que es retenida por la superficie de las plantas y posteriormente es evaporada o retenida por las mismas (Ib).
- 2.- Perdida neta por intercepción, es la parte de la precipitación retenida y evaporada por la planta, pero que no tiene efecto en el consumo del agua (In).
- 3.- Precipitación no interceptada, es la parte de la precipitación que alcanza el suelo directamente o a través de la vegetación o por goteo de las hojas ramas y tallos (Pn).
- 4.- Flujo por los tallos, es la cantidad de agua de lluvia que escurre a lo largo de las ramas y luego por el tronco a la superficie del suelo (Ft).

Ib = P - Pn - Ft

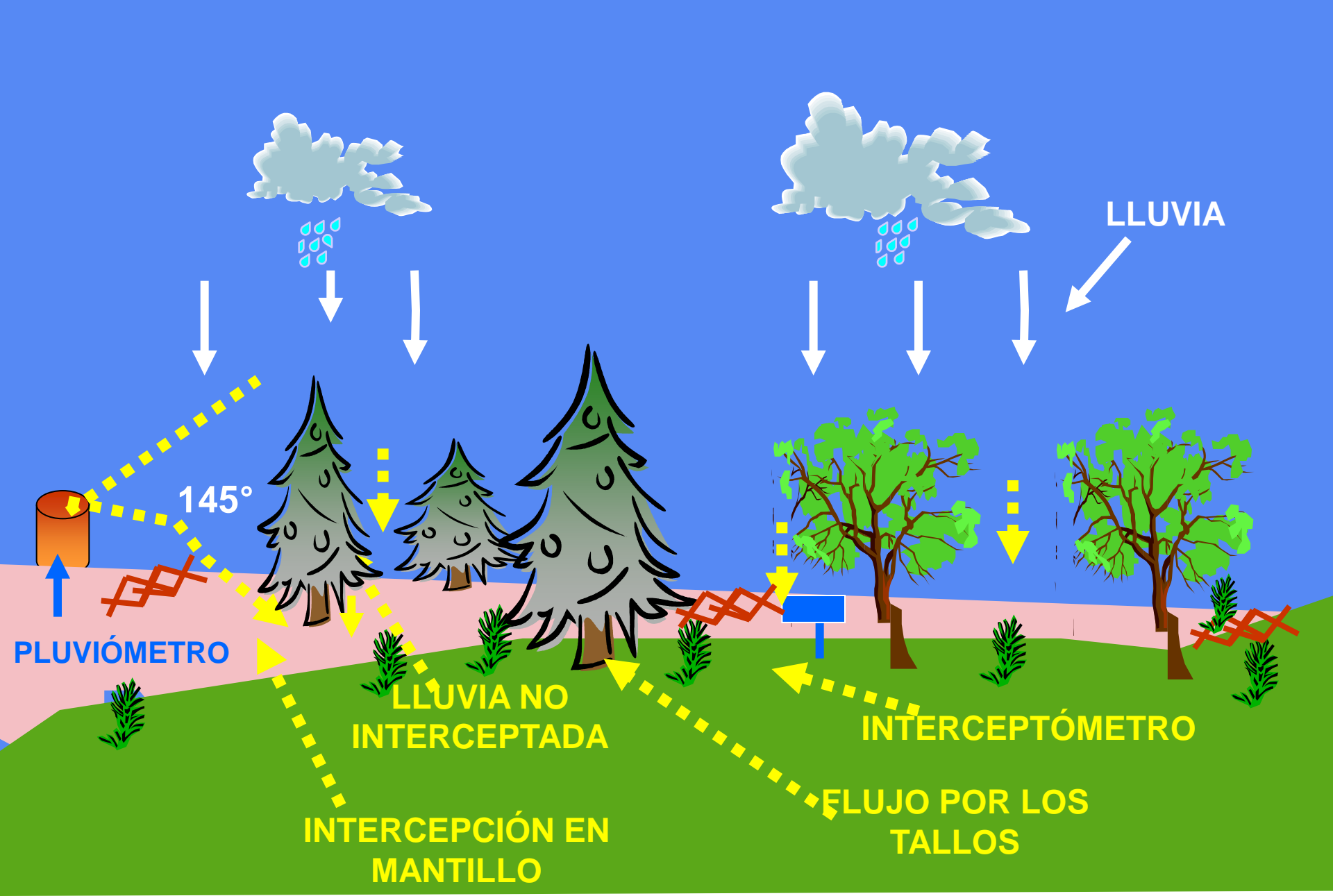
Donde:

Ib = Intercepción bruta en milimetros

P = precipitación en milímetros

Pn = precipitación no interceptada en milímetros

Ft = Flujo por los tallos en milímetros



Ejemplo:

Si en un bosque de encinos se presenta una precipitación de 25 mm y el diámetro de copas es de 4.5 metros; que cantidad de agua fluye por sus tallos.

Volumen = $(\pi (4.5)2/4) 0.025m = 0.398 m3$

Volumen por los tallos = (0.398 m3) 0.05 = 0.0199 m3 = 20 lt.

Intercepción bruta = $(0.398\text{m}^3) .20 = 0.0796 \text{ m}^3 = 79.6 \text{ lt.}$

Tipo de Bosque	Intercepción Bruta (%)	Intercepción Neta (%)	Flujo por Tallos(%)
Encino	20	15	5
Alamo	15	10	5
Abeto	35	32	3
Pino	32	29	3
Mantillo (Pino-Encino)	2-4		

Adaptado de Holechek y Pieper, 1989)

FLOW CONVERSION

m ³ /s	m³/day	ℓ/s	ft³/s	ft³/day	ac-ft/day	gal/min	gal/day	mgd
	0.412/104	103	35.31	3.051×10^{6}	70.05	1.58×10^{4}	2.282×10^{7}	22.824
1	8.64 × 10°		50.0		8.1×10^{-4}	0.1835	264.17	$2.64 \times 10^{-}$
1.157×10^{-5}	1	0.0116					2.28×10^{4}	$2.28 \times 10^{-}$
0.001	86.4	1	0.0353					0.646
0.0283	2446.6	28.32	1	8.64×10^4				$7.48 \times 10^{-}$
	0.02832	3.28×10^{-4}	1.16×10^{-5}	1	2.3×10^{-5}	5.19×10^{-3}		
			0.5042	43,560	1	226.28	3.259×10^{5}	0.3258
					4.42×10^{-3}	1	1440	1.44×10^{-1}
6.3×10^{-5}						6.04 × 10 ⁻⁴	1	10^{-6}
4.3×10^{-8}	3.79×10^{-3}	4.382×10^{-5}	1.55×10^{-6}					1
4.38×10^{-2}	3785	43.82	1.55	1.337×10^{5}	3.07	694	10-	
	0.0283 3.28×10^{-7} 0.0143 6.3×10^{-5}	$\begin{array}{cccccccccccccccccccccccccccccccccccc$	$\begin{array}{cccccccccccccccccccccccccccccccccccc$	$\begin{array}{cccccccccccccccccccccccccccccccccccc$	$\begin{array}{c ccccccccccccccccccccccccccccccccccc$	$\begin{array}{c ccccccccccccccccccccccccccccccccccc$	$\begin{array}{c ccccccccccccccccccccccccccccccccccc$	$\begin{array}{c ccccccccccccccccccccccccccccccccccc$

VOLUME CONVERSION

ml	liters	m^3	in^3	ft ³	gal	ac-ft	million gal
	0.001	10-6	0.06102	3.53×10^{-5}	2.64×10^{4}	8.1×10^{-10}	2.64×10^{-10}
1	0.001	15 7	CHECK CHICK BY CONSTRUCTOR		0.264	8.1×10^{-7}	2.64×10^{-7}
	1000	0.001			264.17	8.1×10^{-4}	2.64×10^{-4}
		1.64×10^{-5}	1	5.79×10^{-4}	4.33×10^{-3}	1.218×10^{-8}	4.329×10^{-9}
			1728	1	7.48	2.296×10^{-5}	7.48×10^{6}
			231	0.134	1	3.069×10^{-6}	106
			75.27×10^6	43,560	3.26×10^{5}	₂₎ 1	0.3260
	N. B. C. Contraction of the Cont	3785	2.31×10^{8}	1.338×10^{5}	10^{6}	3.0684	1
	ml 1 10 ³ 10 ⁶ 16.39 28,317 3785.4 1.233 \times 10 ⁹ 3.785 \times 10 ⁹	$ \begin{array}{cccccccccccccccccccccccccccccccccccc$	$\begin{array}{cccccccccccccccccccccccccccccccccccc$	$\begin{array}{c ccccccccccccccccccccccccccccccccccc$	$\begin{array}{c ccccccccccccccccccccccccccccccccccc$	ml liters ml ml <t< td=""><td>ml liters m³ lin³ lit gar. 1 0.001 10^{-6} 0.06102 3.53×10^{-5} 2.64×10^{4} 8.1×10^{-10} 10^{3} 1 0.001 61.02 0.0353 0.264 8.1×10^{-7} 10^{6} 1000 1 61.023 35.31 264.17 8.1×10^{-4} 16.39 1.64×10^{-2} 1.64×10^{-5} 1 5.79×10^{-4} 4.33×10^{-3} 1.218×10^{-8} $28,317$ 28.317 0.02832 1728 1 7.48 2.296×10^{-5} 3785.4 3.785 3.78×10^{-3} 231 0.134 1 3.069×10^{-6} 1.233×10^{9} 1.233×10^{6} 1233.5 75.27×10^{6} 43.560 3.26×10^{5} 1</td></t<>	ml liters m³ lin³ lit gar. 1 0.001 10^{-6} 0.06102 3.53×10^{-5} 2.64×10^{4} 8.1×10^{-10} 10^{3} 1 0.001 61.02 0.0353 0.264 8.1×10^{-7} 10^{6} 1000 1 61.023 35.31 264.17 8.1×10^{-4} 16.39 1.64×10^{-2} 1.64×10^{-5} 1 5.79×10^{-4} 4.33×10^{-3} 1.218×10^{-8} $28,317$ 28.317 0.02832 1728 1 7.48 2.296×10^{-5} 3785.4 3.785 3.78×10^{-3} 231 0.134 1 3.069×10^{-6} 1.233×10^{9} 1.233×10^{6} 1233.5 75.27×10^{6} 43.560 3.26×10^{5} 1

AREA CONVERSION

UNIT	cm ²	m²	km²	ha	in²	ft²	yd²	mi²	
1 cm ²	1	0.0001	10-10	10-8	0.155	Y.	7		ac
1 m^2	104	1	10-6	ASSOCIATION OF THE PROPERTY OF		1.08×10^{-3}	1.2×10^{-4}	3.86×10^{-11}	2.47×10^{-8}
1 km²	1010	106	10 -	10-4	1550	10.76	1.196	3.86×10^{-7}	2.47×10^{-4}
	:=0:M	10^{6}	1	100	1.55×10^{9}	1.076×10^{7}	1.196×10^{6}	0.3861	-0.100m3-0.00 -0.000.00=
hectare (ha)	108	104	0.01	1	1.55×10^{7}	1.076×10^{5}	1.196×10^{4}		247.1
in ²	6.452	6.45×10^{-4}	6.45×10^{10}	6.45×10^{-8}	COLUMN CO			3.861×10^{-3}	2.471
ft ²	929	0.0929	0.10,110		_	6.94×10^{-3}	7.7×10^{-4}	2.49×10^{-10}	1.574×10^{7}
			9.29×10^{-8}	9.29×10^{-6}	144	1	0.111	3.587×10^{-8}	2.3×10^{-5}
yd²	8361	0.8361	8.36×10^{-7}	8.36×10^{-5}	1296	9	1	700-00-00 John John John John John John John John	
mi ²	2.59×10^{10}	2.59×10^{6}	2.59	259	4.01×10^{9}		1	3.23×10^{-7}	2.07×10^{-4}
ac	4.04×10^{7}	4047				2.79×10^7	3.098×10^{6}	1	640
		404/	4.047×10^{-3}	0.4047	6.27×10^{6}	43,560	4840	1.562×10^{-3}	1
FALORIL									

LENGTH CONVERSION

UNIT	mm	cm	m	km	in.	ft	wa.	
l mm	1	0.1	0.001	10-6			yd	mi
l cm	10	1	0.01		0.0397	0.00328	0.00109	6.21×10^{-7}
m	100Ó	100	0.01	0.0001	0.3937	0.0328	0.0109	6.21×10^{-6}
		100	1	0.001	39.37	3.281	1.094	6.21×10^{-4}
km	106	105	1000	1	39,370	3281		
in.	25.4	2.54	0.0254	2.54×10^{-5}	1		1093.6	0.621
ft	304.8	30.48	0.3048		1,	0.0833	0.0278	1.58×10^{-5}
yd	914.4			3.05×10^{-4}	12	1	0.333	1.89×10^{-4}
		91.44	0.9144	9.14×10^{-4}	36	3	1	SECURE AND SECURE OF SECURE
mi	1.61×10^{6}	1.01×10^{5}	1.61×10^{3}	1.6093	63,360		1750	5.68×10^{-4}
					05,500	5280	1760	1

Bibliografía

Bedient, Philip B., Wayne C. and Huber, Baxter E. Vieux. 2011. *Hydrology and Floodplain* Analysis (5th Edition.

Chorley RJ. 1977. Introduction to Physical Hydrology, London, Methuen & Co. Chapter 2.1 The Basin Hydrological Cycle, 27-36.

- •Stott TA. 2000. The River and Waterway Environment for Small Boat Users: An Environmental Guide for Recreational Users of Rivers and Inland Waterways, Nottingham, British Canoe Union. Chapter 1.2, 12-16.
- •Waugh D. 1990. Geography: An integrated Approach, Walton-on-Thames, Nelson. Chapter 3 Drainage Basins and Rivers, 43-47.
- •Kondolf, M. and Piegay, H. (2001) Methods in Fluvial Geomorphology, London, Wiley.
- •Brown, A.G. and Quine, T.A. (eds), 1999. Fluvial Processes and Environmental Change. John Wiley and Sons, Chichester, 413 p.

Schumm, S.A. 1977. The fluvial system. N.Y., Wiley.



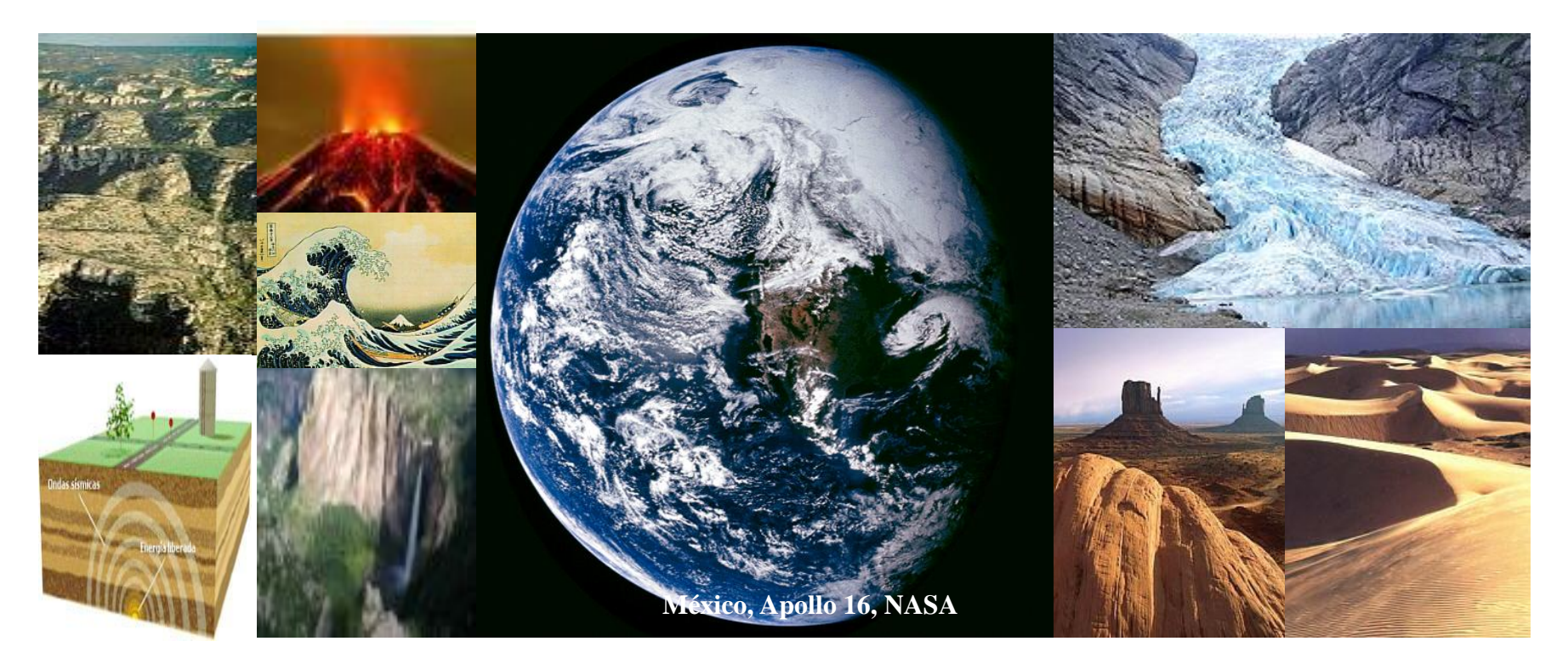
Universidad Autónoma de Chihuahua Facultad de Zootecnia y Ecología



Geomorfología

Elaboró: M.C. Rey Manuel Quintana Martinez

Enero 2014





El curso de Geomorfología es parte del programa de la carrera de Ingeniero en Ecología de la Facultad de Zootecnia y Ecología Universidad Autónoma de Chihuahua.
Este material es propiedad del maestro títular M.C. Rey Manuel Quintana Martinez.

-Elaborado: Agosto del 2001 -Actualización a petición de la academia en feb 2014.

Chihuahua Chih México

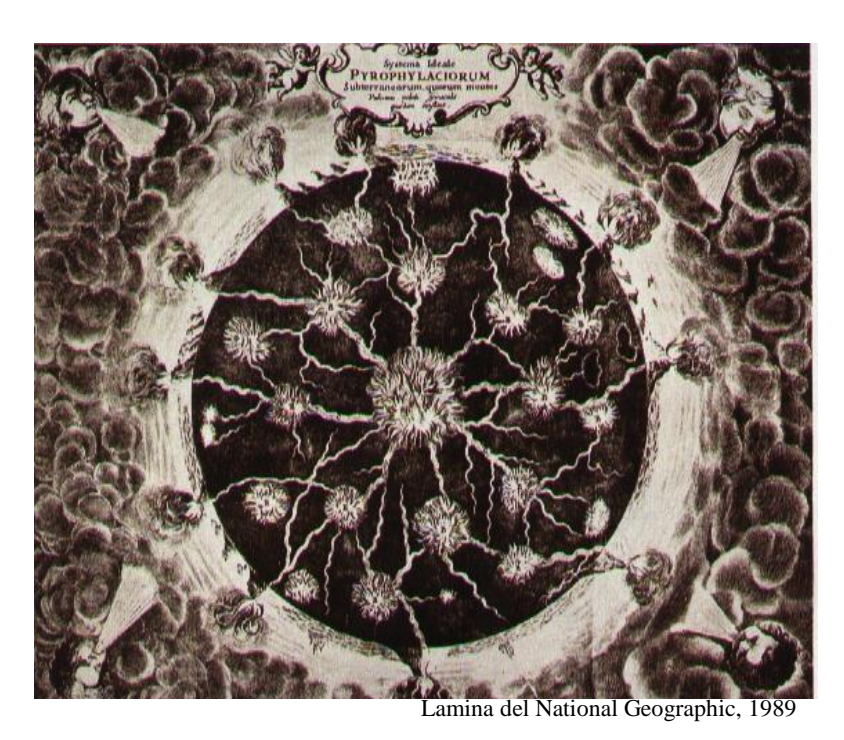


Contenido

Página
Introducción
La ciencia geomorfología y dinámica de la litosfera
La vía láctea, el sistema solar, la tierra y su dimensión ecológica_
Estructura general de la tierra y su relación con la vida
Astenosfera y litosfera
Geoformas generales
Geomorfo-ecología general de la tierra
Geomorf-ecología general de México
Edad de la tierra
Edad geológica de la tierra y su ecología
Principales fases continentales y su ecología
Rocas y minerales (su importancia ecológica)
Rocas ígneas, sedimentarias y metamórficas
Ígneas extrusivas

Página

Metamórficas granulares
Algunos elementos y minerales
Tectonismo y su relación con la vida
Tectonismo y subducción
Movimiento tectonico y continental
Movimiento ondulatorio
Movimiento fracturado
Erosión (intemperismo en la litosfera) y el uso ecológico de
Introducción
Intemperismo mecánico
Intemperismo químico
Erosión fluvial y sistema de drenaje
Erosión eolica
Glaciación
Introducción (erosión y deposición)
Geoformas periglaciares

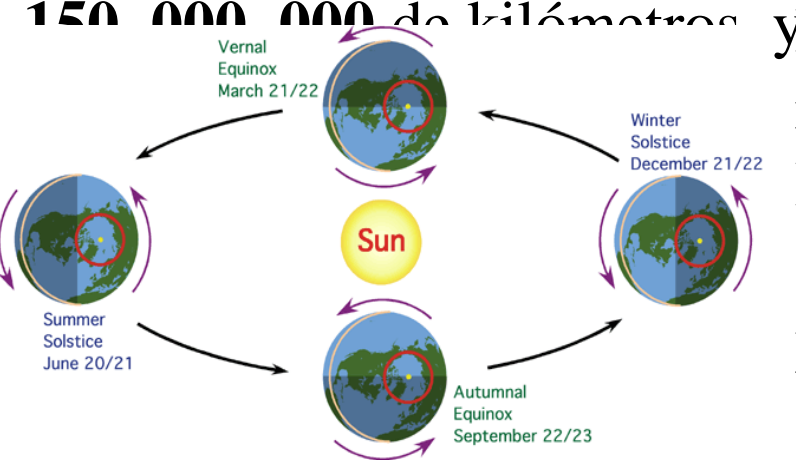


La Ciencia Geomorfología

Dinámica de la litosfera

Ciencia que estudia las **formas** de la superficie terrestre (**litosfera**)

La tierra es el tercer <u>planeta</u> desde el sol; la distancia media a nuest



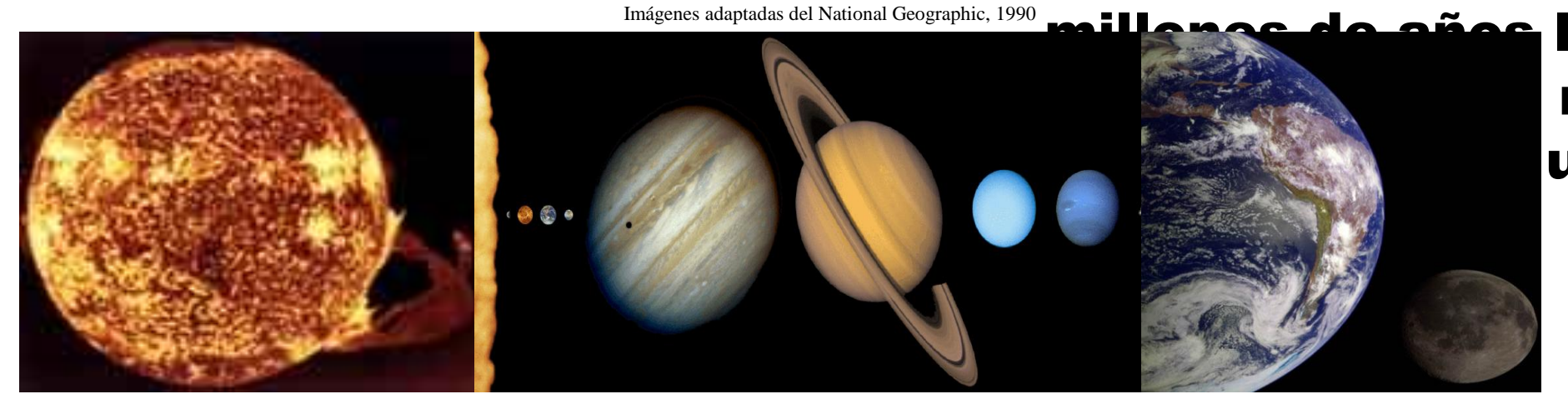
respectivamente de 40, 000 y 13, 000 kiló El movimiento terrestre esta dado por la del sol completado en 365 y una rotac propio eje concluida en 24 horas. En prode la tierra en el sistema solar es de 28 k

una inclinación de 23.5 grados en su e

La Vía Láctea, el Sistema Solar, la Tierra y su Dime



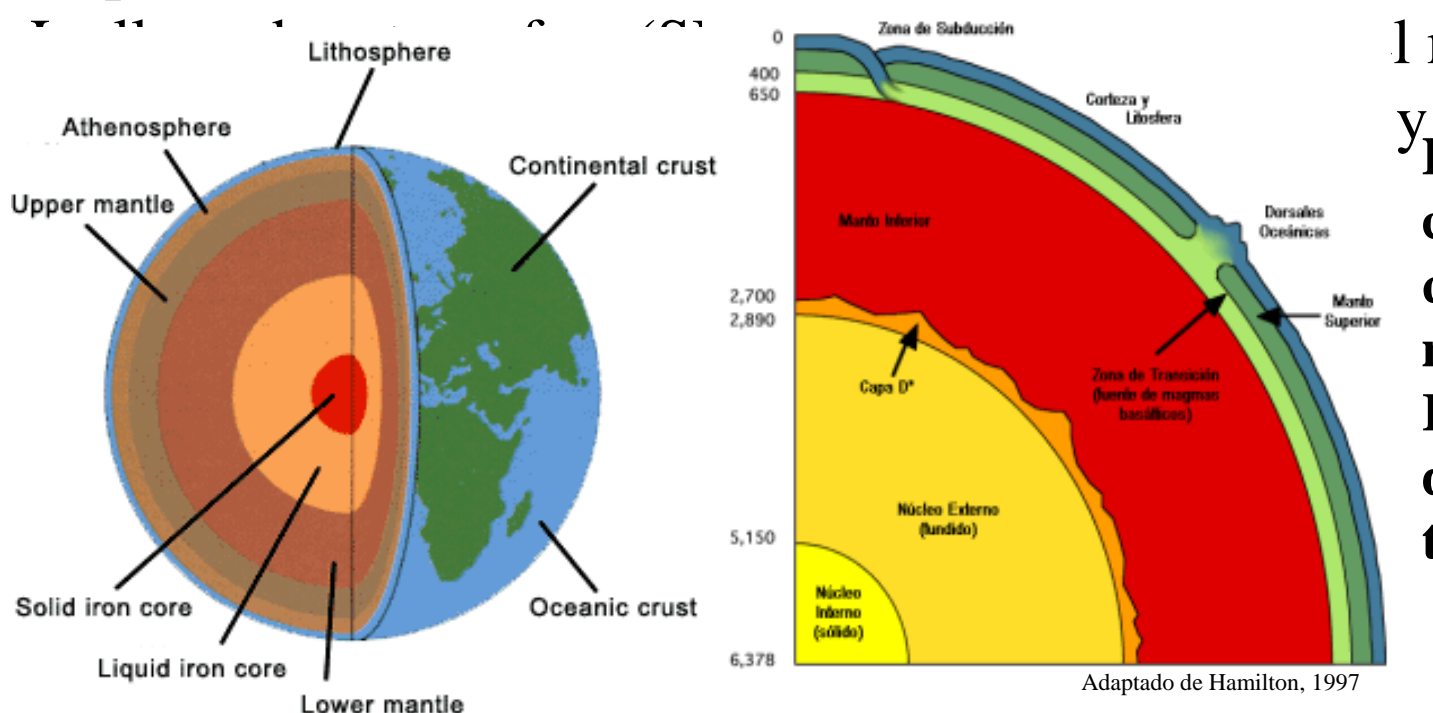
Nuestro Sistema S se encuentra a 2/3 centro de la galax el espiral llamado Orión. La Vía Láct mas de 200 mil mi de estrellas y forn parte de un racim 30 galaxias, entre la produze de la produze



Estructura general de la Tierra y su Relación con la

La tierra se constituye por un núcleo de metales fundidos (fierro y níquel manto de basalto liquido (lava) y una litosfera compuesta por rocas sóliden conjunto con la fuerza universal de **geomagnetismo** hacen que la litos constante movimiento (tectonismo, subducción, erosión).

El espesor de los componentes núcleo, manto y litosfera es de 3678 km, a El principal componente de la astenosfera y litosfera es el oxido de silicio respectivamente.



l manto y sus siglas
y sus siglas se debe
La litosfera es una
capa muy delgada
que envuelve a el
manto y nucleo.
Representa menos
de 1/160 del radio
terrestre.

Geomorfo-ecología general de la Tierra

La geomorfología general de la tierra es representada por cuatro tipos denominadas **PLANICIES**, **LOMERIOS**, **MESETAS** y **MONTAÑ** definidas tomando en cuenta la estructura geológica que las constituye origen. Como ejemplo tenemos a los sistemas de sierras de México, la

Principales Geoformas Planicie Meseta **lontaña** erio

Lamina adaptada de H.M. Kendall, 1991

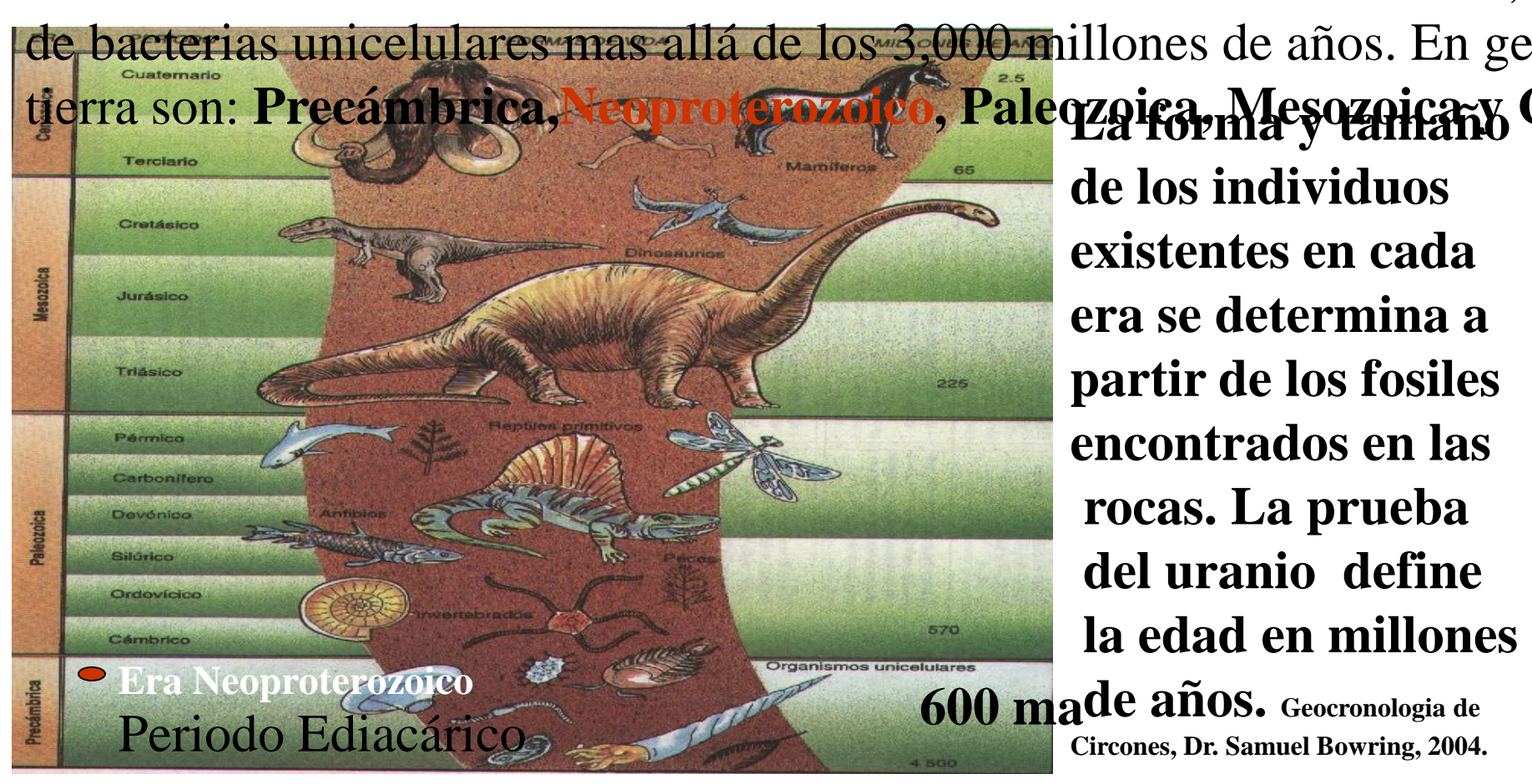
Geomorfo-ecología general de México

La geomorfología de México esta identificada por 9 unidades fisiográficas desarrollaron principalmente en un medio marino durante el Mesozoico volcánica ocurrida en la era Cenozoica. Estos sistemas se denominar Sierra Madre Oriental, Eje Neovolcanico Transversal, Eje Neovolcanico

Llanura Costera del Pacífico, Llanura Costera del Golfo, Península Baja California. **Edad** Geológica edimentario **230** (Mesozoico) millones de años (Cenozoico) CEANO PACIFICO millones de años Adaptado de SEP, 2001.

Edad geológica de la Tierra y su Ecología

Según las teorías actuales la tierra nació junto con el sistema solar hace millones de años. En ese tiempo el cúmulo de gas y polvo condenso en incandescente que se fue enfriando hasta permitir se originara el fenór información de fósiles multicelaulares hasta los 600 millones de años;



Nueva Era Geológica, NEOPROTEROZOICO.

Fosiles de vida multicelular que se presento en la tierra hace 600 ma.

GEOLOGÍA

Nueva era geológica

Cambio en el calendario

Por primera vez en 120 años, los científicos han modificado el calendario geológico de la Tierra. Tras más de una década de deliberaciones, la Comisión Internacional de Estra-tigrafía, oficializó al período Ediacárico (en honor a las

Colinas Ediacara en Australia), una antigua etapa de tiempo que comenzó hace 600 millones de años y terminó hace unos 542 millones de años. El nuevo período forma ahora parte de la era Neoproterozoica, cuando aparecieron en el planeta las primeras formas de vida multicelulares (arriba).

El Dr. Samuel Bowring, geólogo del Instituto Tecnológico de Massachussets en Cambridge, Estados Unidos, perfeccionó un método de datación de rocas muy antiguas conocido como geocronología de circones.

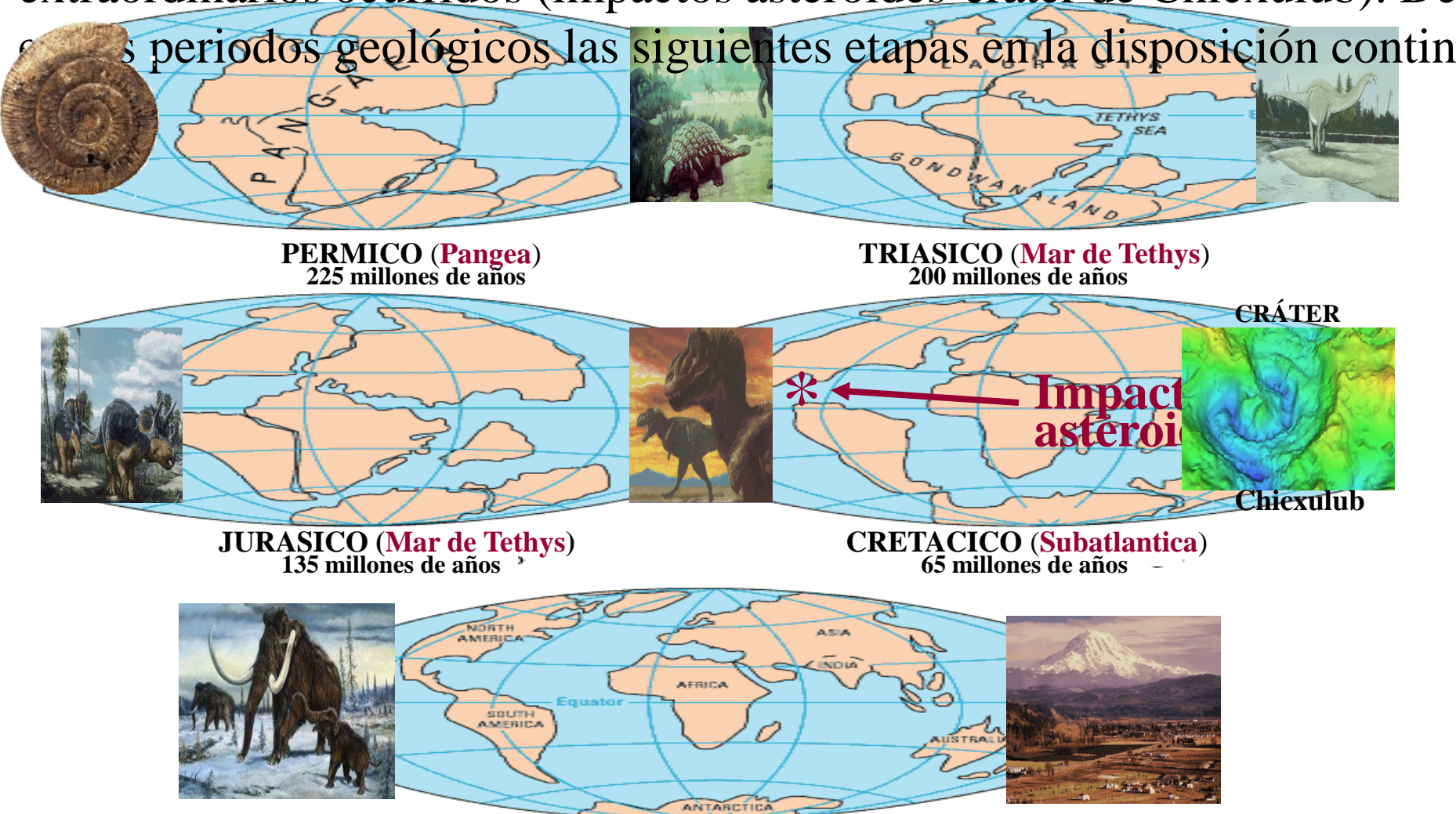
ERAS DE LA TIERRA

				The state of the last of the l	
	lillones le años atrás	Era	Periodo		
H	10,000 — años		Cuate	rnario	
	1,6 — 5 —	Ą		geno	
	24 —	CENOZOICA	iario	Paleógeno Neógeno	
	37 —	CEN	Terc	eógen	
	58 — 65 —			Pale	
to	142 —	OICA	Cretácico		
	206 —	MESOZOICA	Jurásico Triásico		
ı	248 —		Pérmico		
	290 _	Ą	Carbonífero		
	417	PALE0ZOIC/	Devónico		
	443	PALEC	Silúrico Ordovícico		
7	495 — 545 —		Cám	brico	
	- 600 —	NEOPRO- TEROZOICO	Edia	cárico	

"Muy poco tiempo antes del Cámbrico la evolución animal progresaba a buena marcha y producía criaturas como estos fósiles en Terranova", concluye Bowring.
—Ángela Posada-Swafford

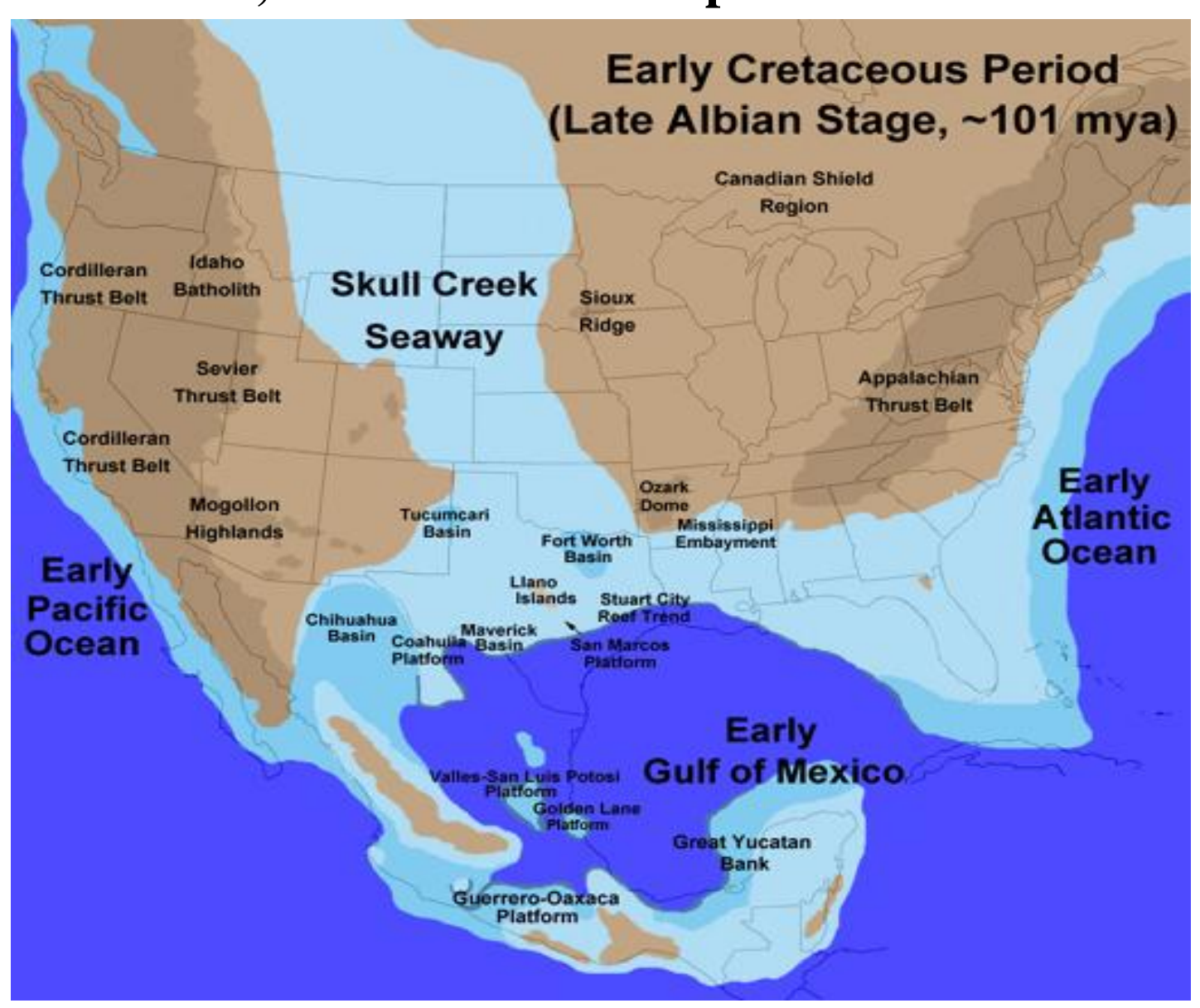
Principales fases continentales y su Ecología

Las fases evolutivas de los continentes son reconocidas por el estado de fósiles, la <u>similitud de características entre organismos</u> y las formacione extraordinarios ocurridos (impactos asteroides-cráter de Chicxulub). De



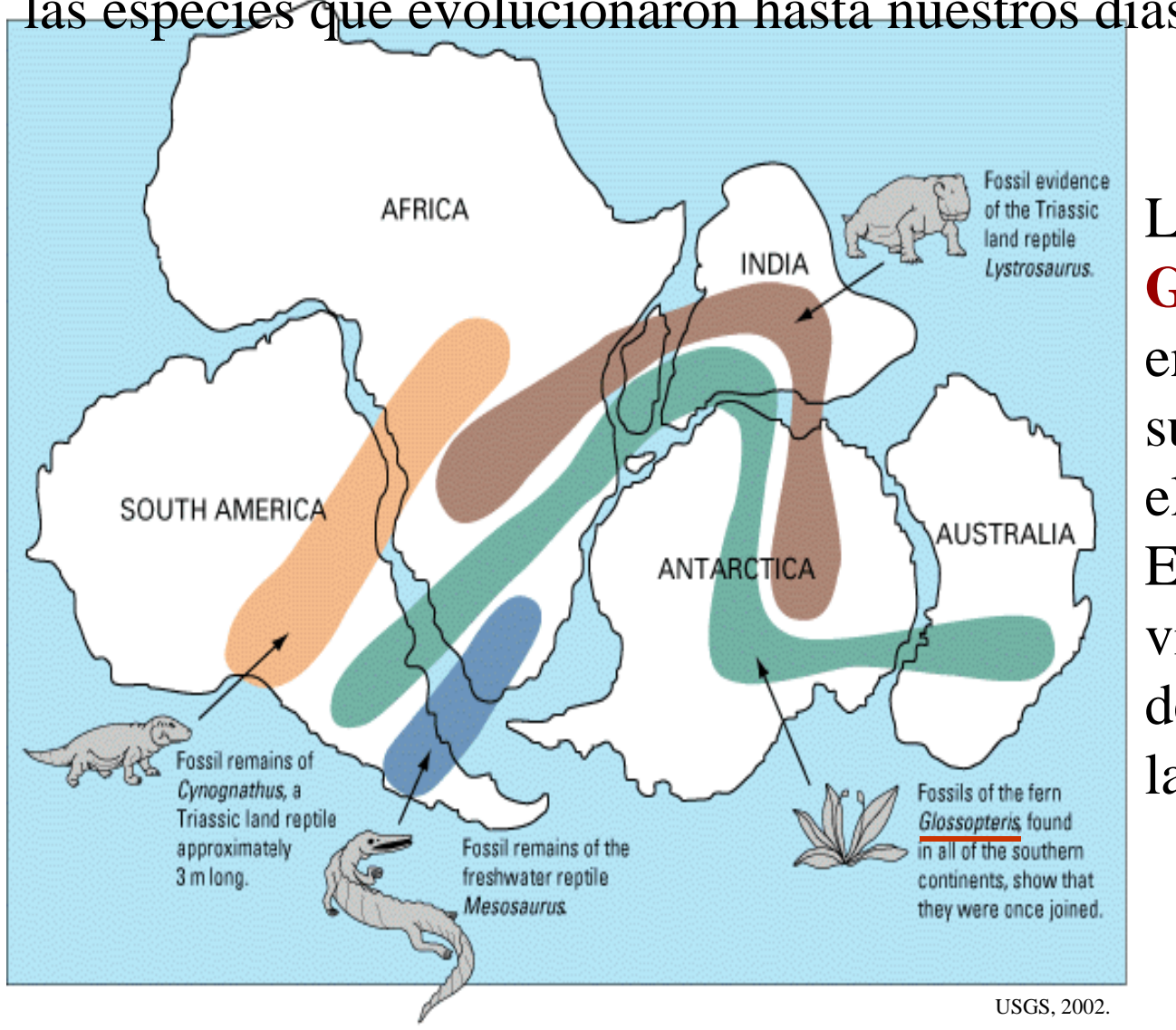
DISPOSICION ACTUAL

Continentes, mares al inicio del periodo cretácico.



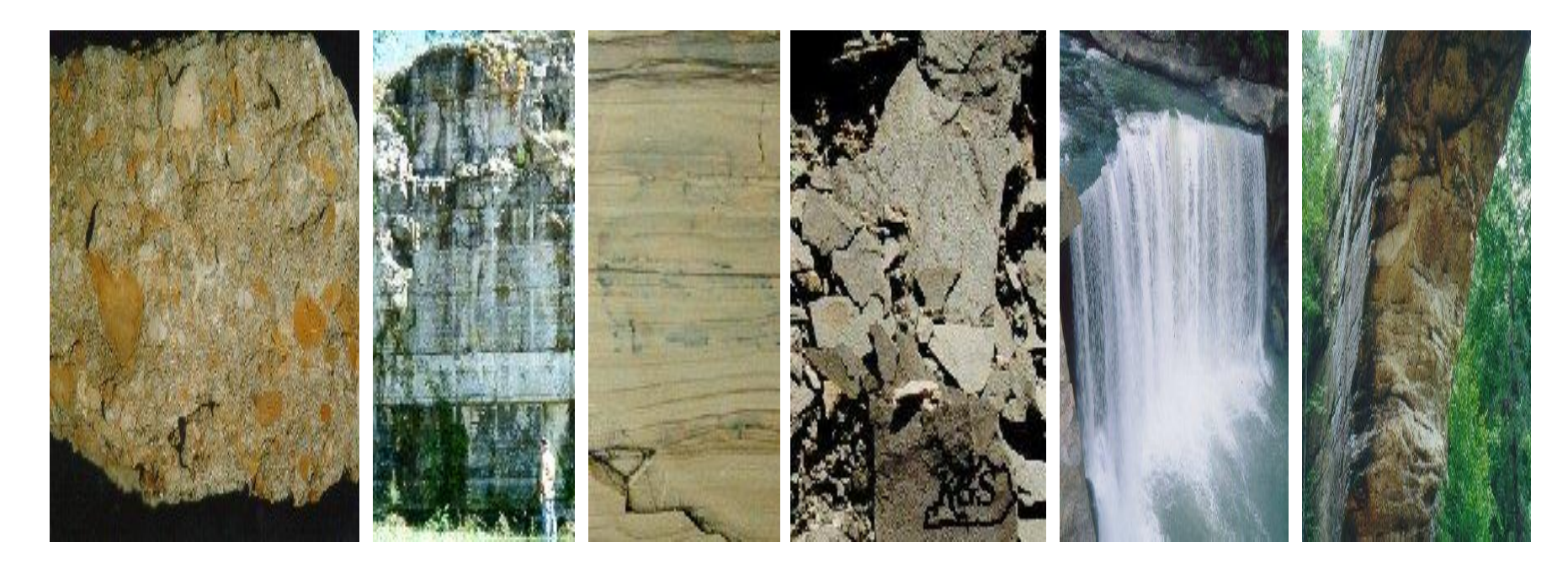
La similitud de organismos en los diferentes continentes que actualme clara de la disposición continental hacia el Paleozoico; además explica

las especies que evolucionaron hasta nuestros días (vg. Los camélidos



Clossopteris ha sido encontrado desde el sur australiano hasta el sur americano. Esta planta primitiva vivía en geoformas de planicie durante la Pangea.

Rocas y Minerales (su importancia ecológica)



Los minerales son la parte constitutiva de las rocas. Una roca se compos elementos relativamente estables que el hombre ha encontrado en la sur Las rocas se clasifican en tres grandes grupos; **ígneas**, **sedimentarias** y **Rocas ígneas**.- Son rocas formadas por lava que al enfriarse rápidamentas <u>ígneas extrusivas</u>. Cuando el magma se enfría lentamente en el interpresiones se originan las <u>ígneas intrusivas</u>. Existen también las <u>rocas pla</u> intrusivas se forman mas lentamente, a mayor presión y profundidad de **Rocas sedimentarias**.- El intemperismo de todas las rocas genera grava

Basalto

Rocas Ígneas Extrusivas

Estas rocas que se forman en la superficie de la litosfera y el enfriamien relativamente rapido, están representadas por la obsidiana, conocida co rojo o negro; en México abunda donde las secuencias volcánicas sor una riolita (rhyolita) de color gris claro que representa en general a las re finos; es desconocido el origen de estos términos pero es posible que se el patrón con que se disponen sus componentes de micas, feldespatos, ci riolitas de cuarzo o calcárea; según sea la abundancia de oxido de silicio



Riolita (falsita)

Rocas Ígneas Intrusívas

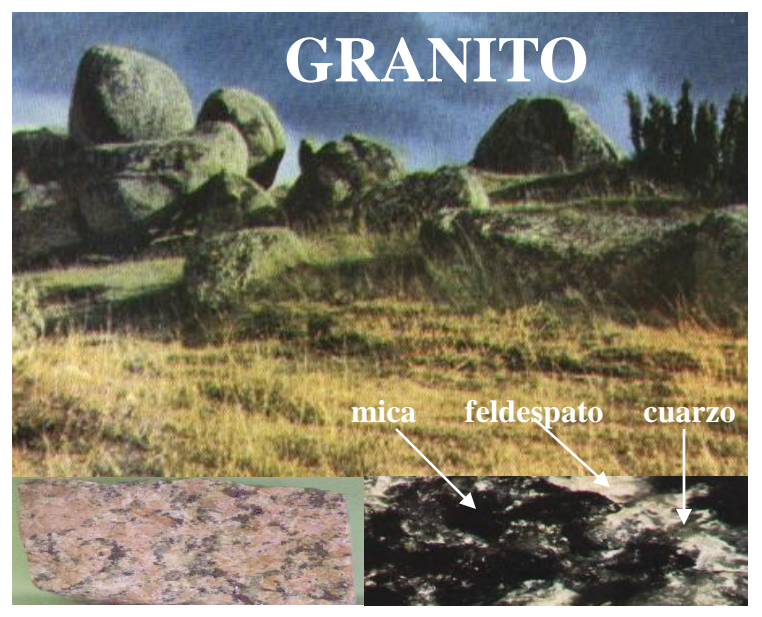
Su lento proceso de formación en el interior de la litosfera les ha permi minerales en estructura **fanerítica** "phaneritica". El contenido de crista es una muestra del enfriamiento lento en profundidad; el ejemplo mas o los llamados porfiris (porphyry) que contienen a el feldespato, cuarzo, en un estado de **phenocrysts**. La riolitas porfiri y granito porfiri son en tienen fases de cristalización faneríticas (1-10 mm) y **afanítica** "aphanila combinación de lentos y rápidos procesos de enfriamiento respectiva

Porfiri riolitico

Porfiri granítico

Diabasa

Rocas Ígneas Intrusivas-Plutónicas



El granito es la roca plutónica representativo composición consta de mica negra, feldesponentiamiento muy lento da como resultado pegmatitica que presenta cristales muy gray apreciables a simple vista. Esta roca en general dureza por lo que ha sido utilizada en la concivilizaciones. En la lamina cristales muy gray dureda se presenta un

feldespatos ingresan al final. Monumentales

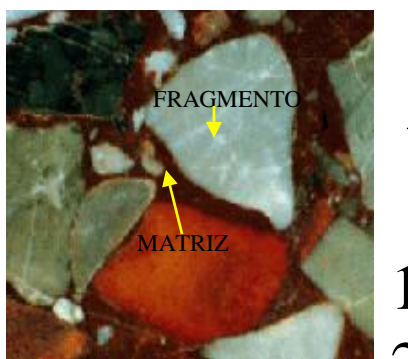
en esabro los

La diorita tiene colores másipascuras que el grantigrando, presentando menor cantidad de silica en su camposición de su su camposición de su control de cuarzo pero es más gris que la diorita, se dice que es primo de la diabasa a no ser por el orden en que lo

elementos se integran,

SIENITA

Rocas sedimentarias terrigenas (detritales o clásticas)



Son derivadas de el intemperismo de las rocas ya existe textura **clástica** (fragmentos o triturado de rocas) consit

1.- Clástica.- Fragmentos grandes como la arena y la gra

2.- Matricial.- Sedimento fino que rodea a los fragmento

Las rocas sedimentarias tarrigenas is estresificans seguinas utentarias etarrigenas etarrigena



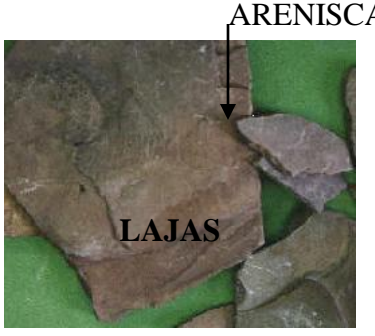






Rocas de cieno (la dimensión del grano es de 1/10 a 1.5 mm) Rocas de arcilla (la dimensión del grano es men-







Rocas sedimentarias evaporativas, carbonatadas y silicias (quimicas/bioquimicas)

Estas rocas han sido formadas por la deposoción de componenetes encorcompuestos han pasado del mar a la roca mediante procesos quimicos o (crecimiento del coral). En ocasiones es difícil poder definir si la roca se en compuestos ailícios; por esta razón es que as Odasifican como coxaso.



a esta roca como inorgánica





- 2.- Carbonatadas.- Son rocas que se forman por la actividad de organisma acuáticos (crustáceos) con base en las rocas sedimentarias areniscas cardolomita-CaMg(CO3)2.
- 3.- Siliceas.-Son rocas formadas con base al oxido de silicio cuando alg Reactival acitément atomo con garga exponjás do bijan) La diatomita es un tipo Estasorio cas y setán formadas por intaterial orgánica por incipalmente por fra carbón derivado de los fragmentos posee abundantes minerales, entonce

Rocas Metamórficas en capas (foliadas)

Estas rocas se forman cuando los minerales constitutivos se alinian en c



La pizarra es una roca oscura derivada del metamorfismo de la arenisca roca de textura muy fina; presenta tonalidades que se denominan sombi no es una casualidad pues los cosméticos para sombra contiene moscov efecto de luces. Los esquistos poseen abundantes micas que dan el nom El gneiss es bandeado por minerales oscuros y claros: por esto los minerales oscuros y claros: por esto los minerales oscuros y claros y calcita sir origen a las reces tipo mosaise tal es al caso del mérmal, la cuerzita y l

Cuarzita



Algunos elementos y Mínerales

A continuación se mencionan algunos de los mas importantes element naturaleza se presentan en forma de roca:

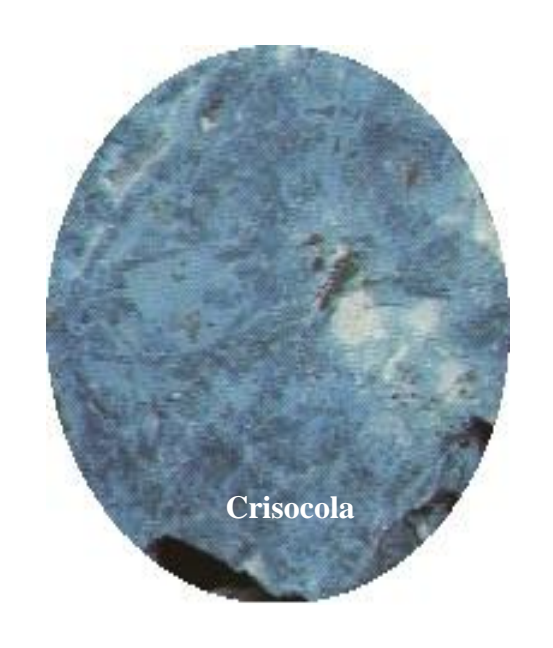
SULFUROS, SULFATOS, OXIDOS, CARBONATOS, BORATOS, F SILICATOS.

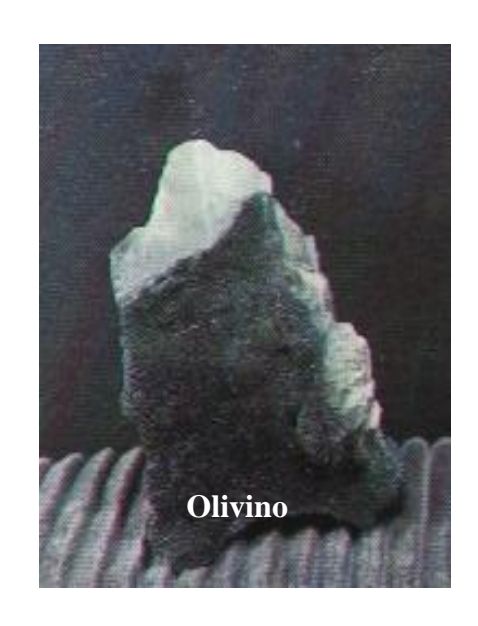
Debemos recordar que estos son la base para que se integren los difere

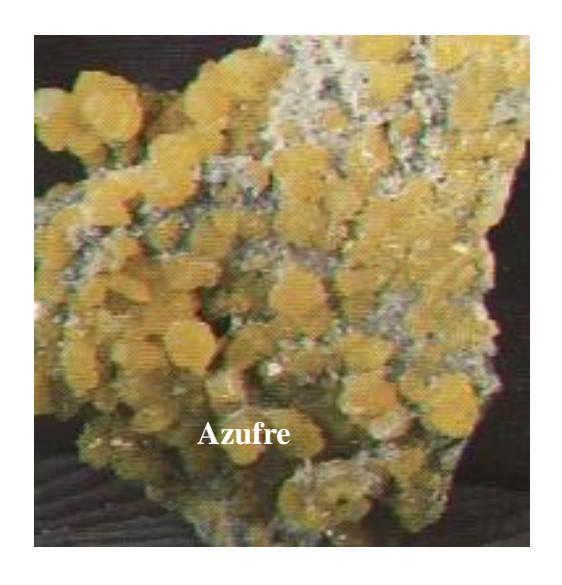


Página 17

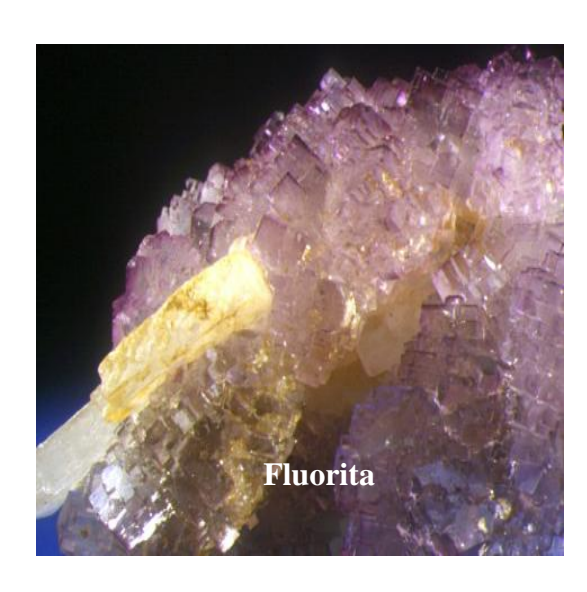




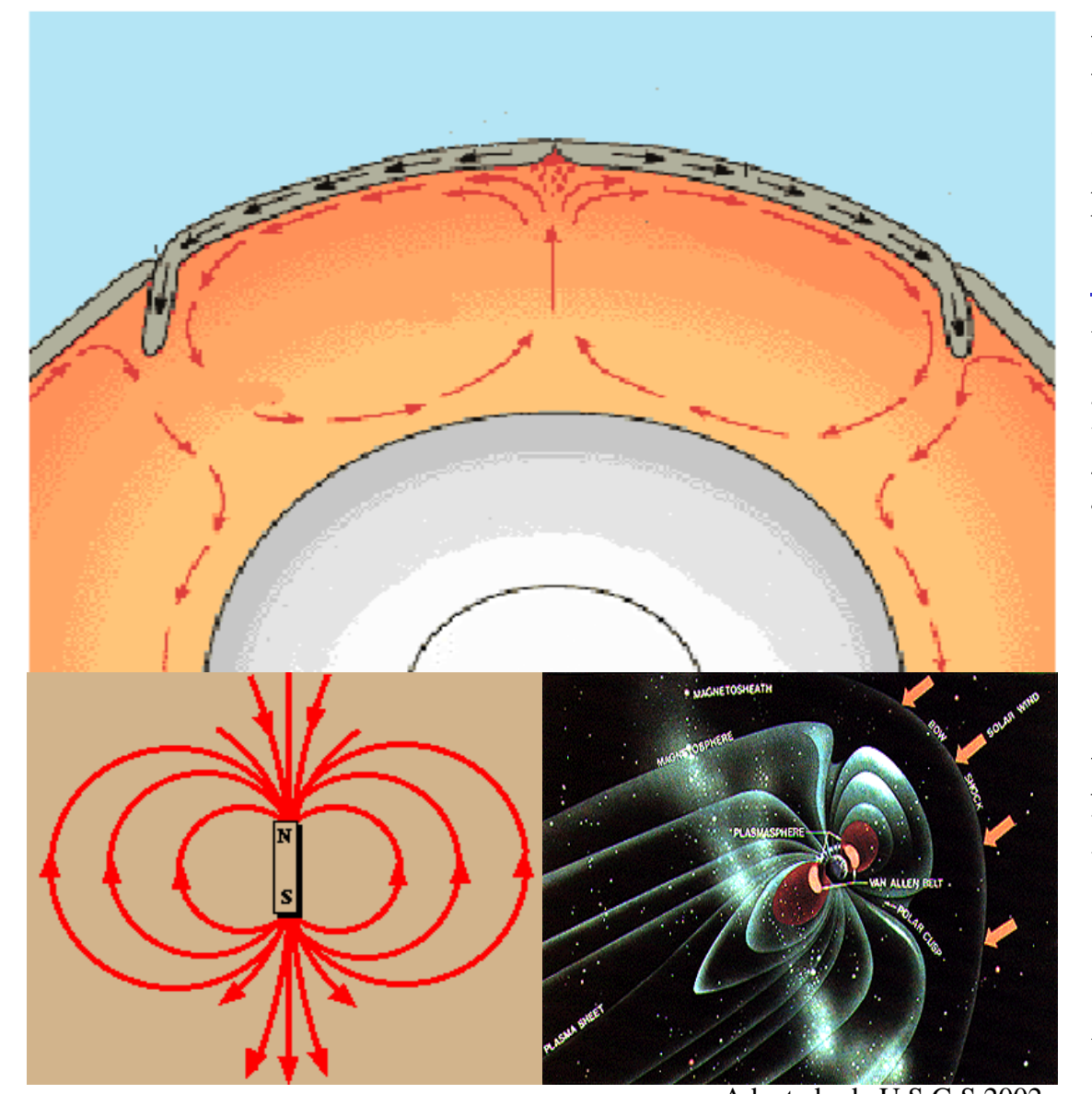








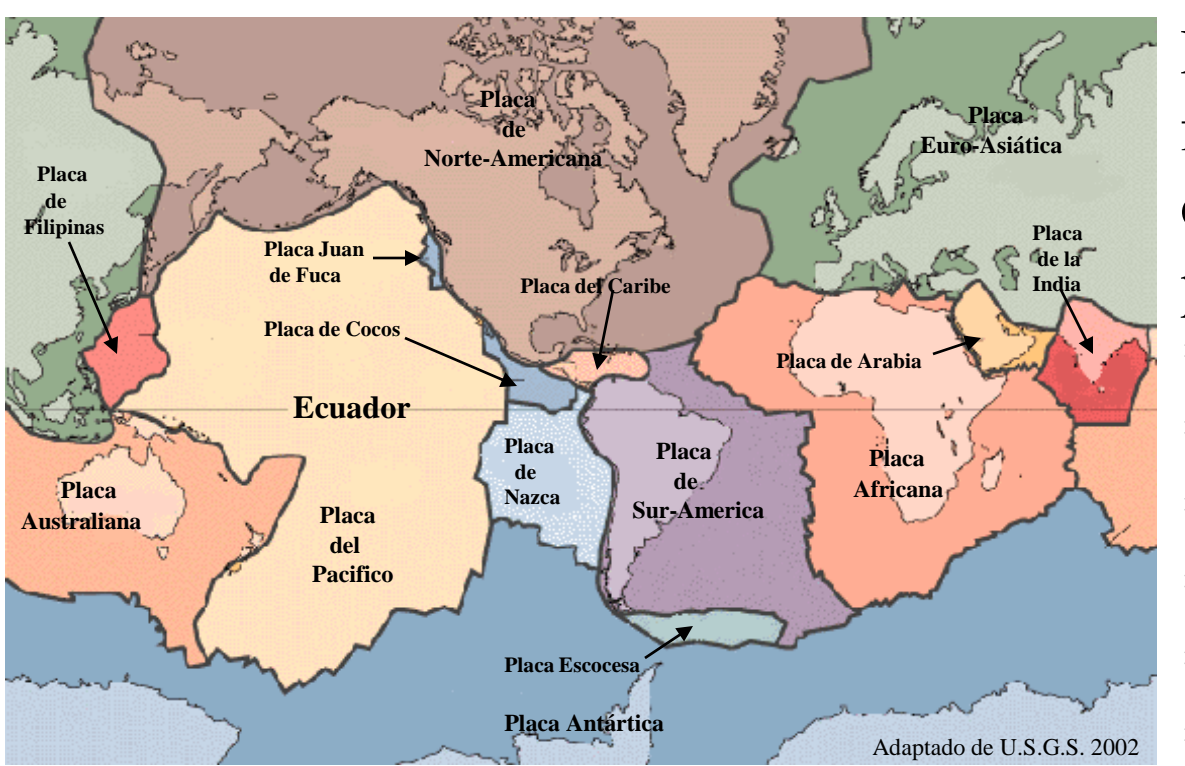
Tectonismo y Movimiento Continental y su relación con la vida



Adaptado de U.S.G.S 2002

El movimiento de la corteza terrestre como resultado de la fuerza geomagnética que influye y actúa sobre el manto fluido, define al tectonismo y subducción. La Tierra es similar a un imán que distribuye sus componentes según sean sus cargas positivas o negativas. En la figura podemos ver la dispersión del viento solar según los polos; norte (+) y sur (-).

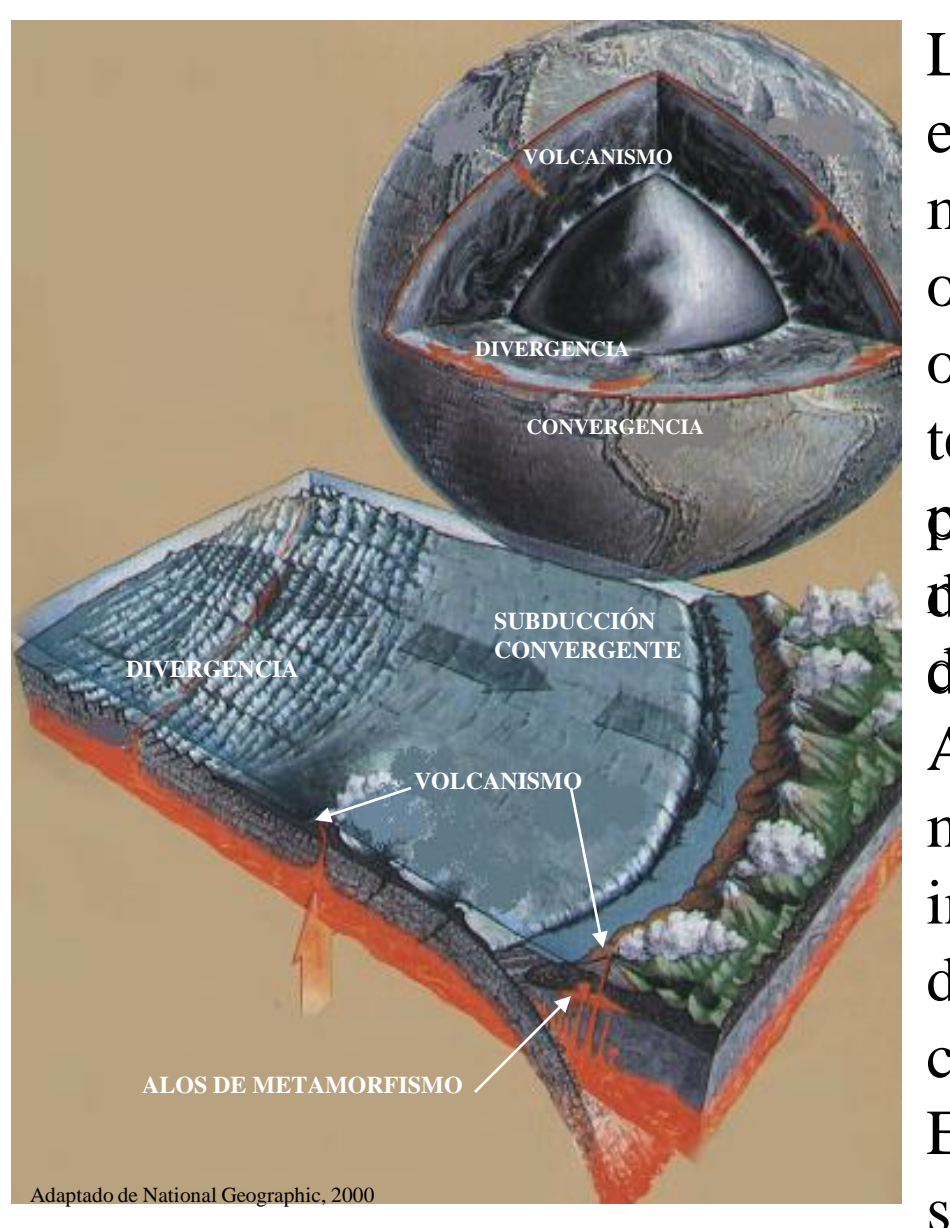
Movimiento de Placas Tectónicas



La corteza terrestre no es of fragmenta en siete grando ocho subplacas continer placas principales se deno

- *Norte-Americana
- *Sur-Americana
- *Pacífico
- *Euro-Asiática
- *Africana
- *Australiana

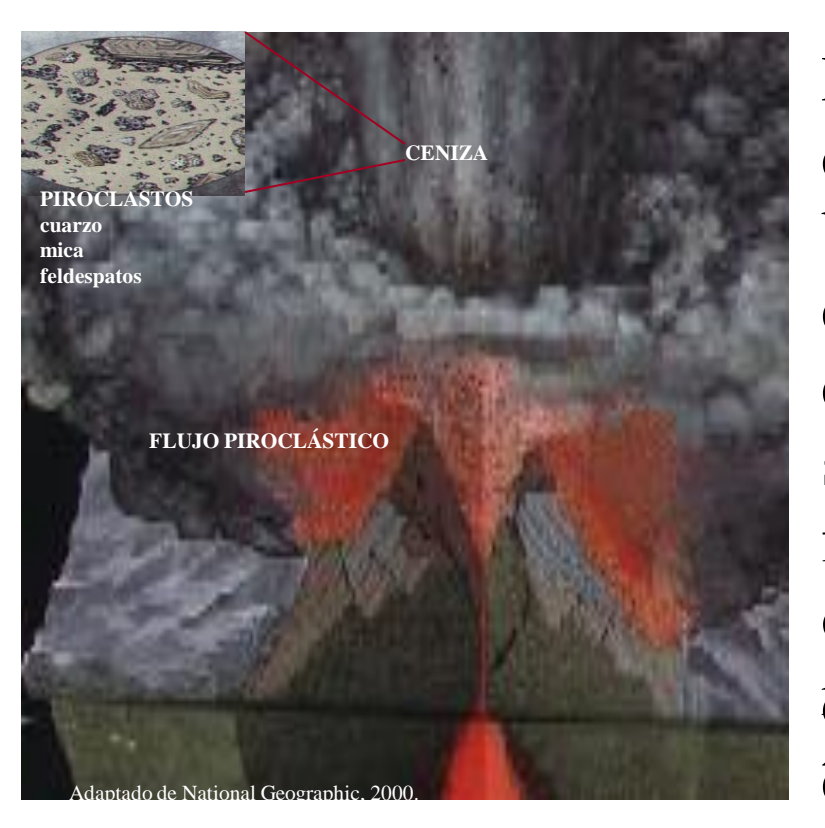
Las placas continentales están en constante miximianto generación procesos de interacción entre ellas que causantel fenéma de placas meno tectonismo. La interacción entre las placas puede ogcurrir e convergente *J niveles; contacto de placas divergente, plegarniante convergente *I y subducción. El primer caso causa una divergencia de placas subducción centro del Atlántico), el segundo proceso origina un plegamiento de placas convergentes (ci. Himalayas) y por ultimo la subducción.



La fase de <u>subducción</u> entre las plac es la etapa del movimiento continen mayor efecto tectónico. En estas reg observar el desarrollo de sistemas m origen volcánico (ej. Los Andes), fer terremotos, maremotos y abundantes pbsenvialed a abloves about a morfis n deutes places de la Palei focte por la ción deb Pracificha placpla de Norte Americana; el comp movimiento continental involucra además las zonas de divergencia continua y la consolidación de volcanes. El llamado circulo de fuego

procesos de <u>fallamiento</u> y <u>destinción</u> también se presentan en algunas re hasta Nueva Zelanda.

San Andres (Golfo de California) y la mesa del norte (Chihuahua) respe

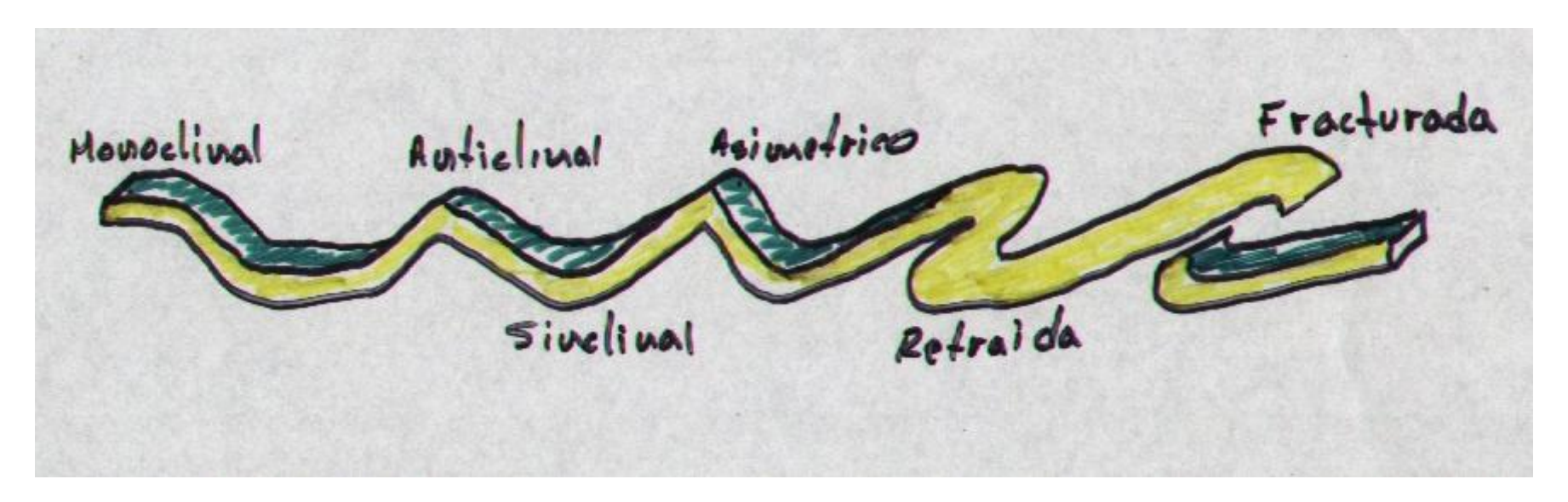


El volcanismo presenta un abundante flu que se depositan en las zonas aledañas a basaltos conforman los roquerios que ev el tiempo propiciaran hábitat para planta embargo la ceniza mientras no es deposisuperficie, esta posee una composición p feldespato y cuarzo) con fases de cristal dañinas para el hombre y los animales a respirados depositados Esus pulmones. thresmotors se phase marem

Hawai originado por epicentros de interes de la convergencia de estas ondas afectados por oleajes que rompen en la playa con alturas hasta de metros. En la imagen del maremoto se presenta a una persona instantes despues desaparece en el mar.

En general podemos considerar al tectonismo como un proceso natural o

Movimiento ondulatorio



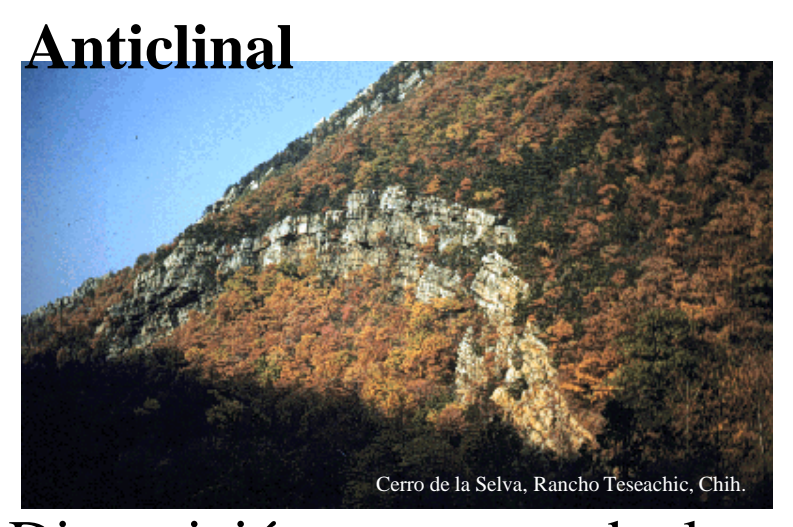
El movimiento del manto y particularmente de la Astenosfera produce of Litosfera, generando en ésta un movimiento continuo de naturaleza ondu

Monsodicaracteriza por las disposiciones que se describe a continuación: Cuando el pliegue presenta una sim



Cuando el pliegue presenta una sim de los estartos con cierta frecuencia disposición degenera en fallas al pr estiramiento y fracturas de las rama Los monoclinales existen regularme geoformas de sierras volcánicas de

v particularmente se presentan freci





Disposición convexa de la roca debida Disposición cóncava de la roca una divergencia en la línea de intersección flancos son convergentes.

Isoclinal (asimetrico)





Disposición asimétrica de la roca, donde la retracción de la roca genera sus flancos se aproximan al paralelismo es la disposición final de la onc

Movimiento fracturado

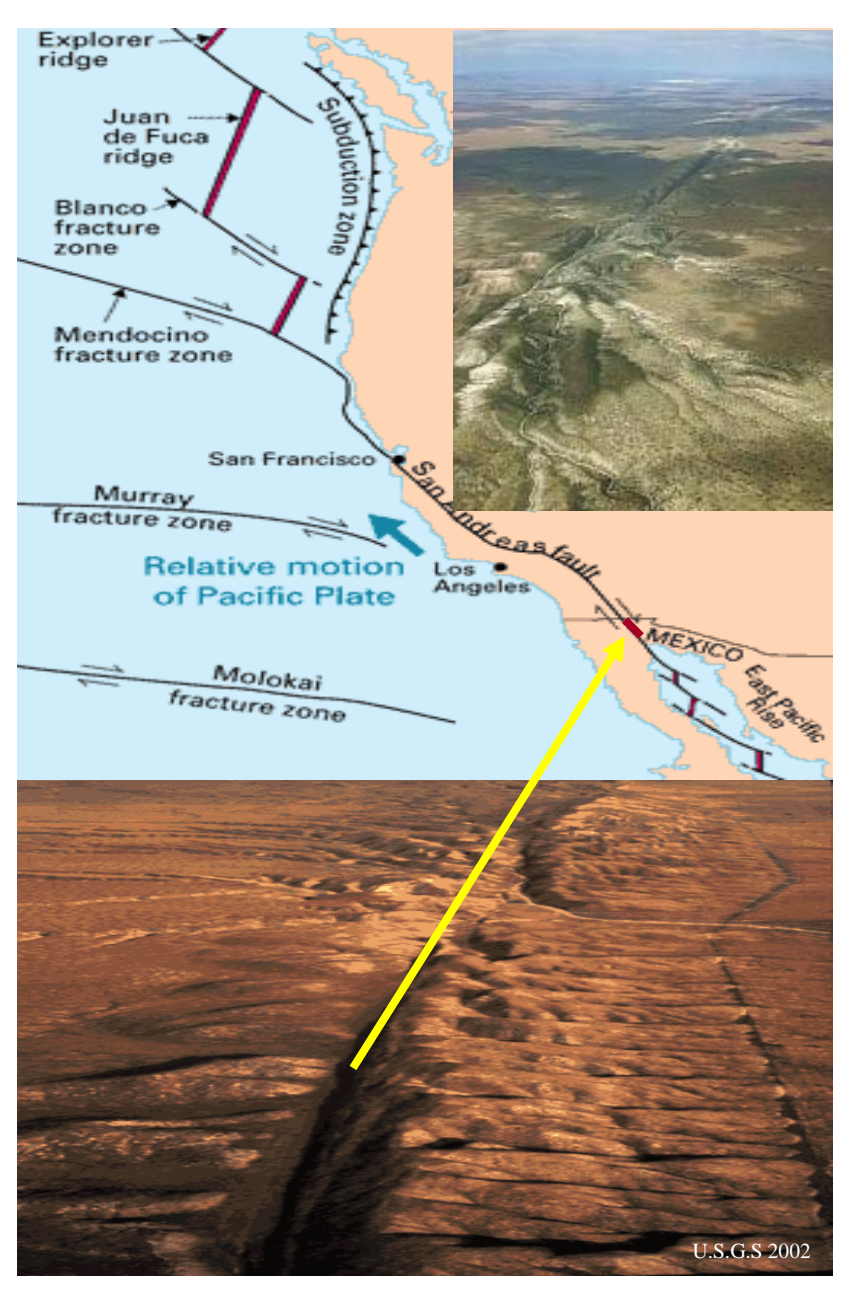
El conjunto de fuerzas tectónicas y movimiento ondulatorio resultan en tipo de fallamiento es muy diverso, pudiendo encontrar sistemas locale continental (ej. Falla de San Andrés). Los tipos más comunes de fallam

- 1.- Falla normal con hundimiento
- 2.- Falla normal ascendente
- 3.- Falla superior por subducción
- 4.- Falla lateral diestra

5.- Falla lateral izquierda

La geomorfologia de México presenta a todos los tipos de fallamientos la naturaleza de sus placas y subplacas continentales que interaccionan

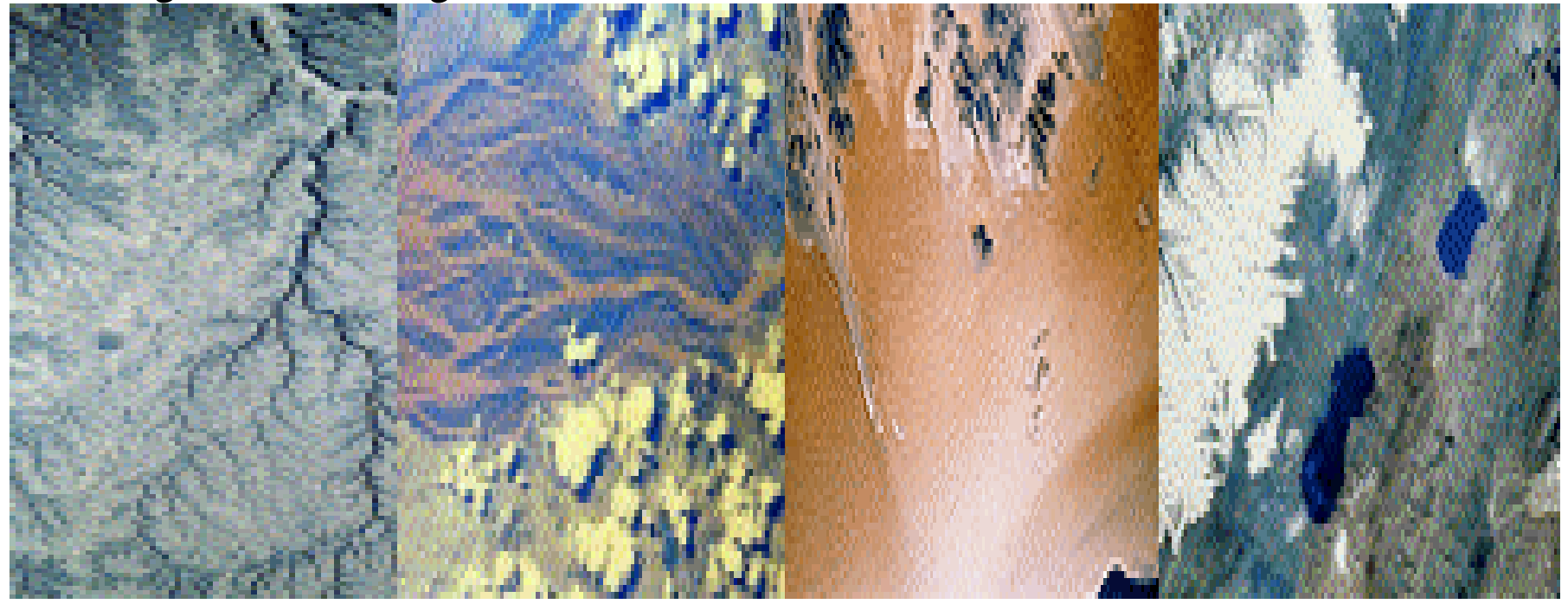
es la de San Andrés. Subduces Fulla Normal - hundimlento



Se observa al la falla de San Andrés desde Alaska hasta su encuentro con el Golfo de Baja California. En el continente se presenta en forma de zanjas o fisuras que van desde unos cuantos centímetros (10 cm) hasta varios metros (mas de 4 m). Su movilidad se ha estimado en aproximadamente .78 grados/ millón de años. En esta latitud esta medida angular equivale aproximadamente a 245 Km.

Segmento de la falla que se mu imagen.

Erosion (Intemperismo en la Litosfera) y el uso racional - ecológico de la geoforma.



En la primer parte de este curso se analizó el conjunto de procesos internos de la tierra que definen a la dinámica geomorfológica; a continuación trataremos el proceso llamado <u>INTEMPERISMO</u> que da forma a la litosfera en su superficie. El termino más común que se asocia con el moldeado superficial de las geoformas es EROSIÓN; siendo el intemperismo mecánico y químico las formas más básica y constante que actúan sobre las rocas.

En general además de los dos procesos básicos indicados, en la tierra se presentan tambien como agentes erosivos el interfluvio de los ríos, el viento y los glaciares(hielo).

Intemperismo Mecánico

El intemperismo físico de las rocas es causado por los procesos o cristalización y actividad orgánica; en este utltimo es donde se encu



y temperatura en las rocas re Cuando un estrato rocoso se encu inferiores de la litosfera y luego resultado del tectonismo V continental se expande y se fragi Por otra parte, los continuos

El efecto de los seres vivos sobre las terroperatura de las rocas como como la erosión orgánica; existen diversostraciones del ano votel dí que componen a este proceso; por ejemphien frægerentan el estato roc microscópicos (algas, hongos, musgos y líquenes) han estado por millones de años intemperizando a la roca debido a los residuos orgánicos que generan. También es importante indicar que la infinidad de



El proceso de cristaliz un fenómeno que pr intemperismo de las ro tierra este proceso fisic en los compuestos carbonatos y cloruros también se presenta elementos y compuestos e inorgánicos. Debemo que la cristalización est en el cuarzo, feldespato las rocas ígneas en e las riolitas y granitos. I se muestra a el carl calcio formando crista calcita de tal forma intemperización en part

Intemperismo Químico

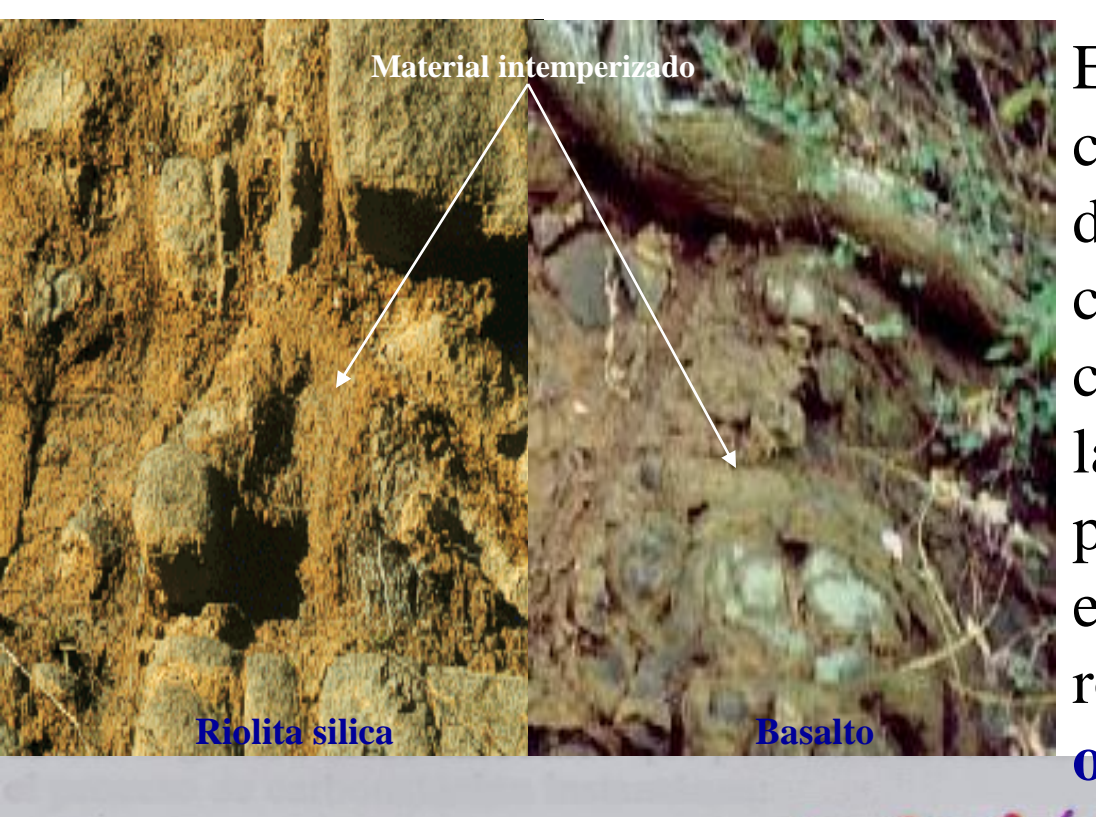
Los procesos de solución, hidrólisis, carbonatación y oxidación en las químico. Son variadas las formas como se expresan estos fenómenos; s pueden distinguir con relativa facilidad la reacciones químicas que se

bióxido de carbono sobre una canterary el conde las sales de calcio en se Grutas de Nombre de Dios Chih. 2002

con facilidad en las formaciónes de el caso de las estalactitas y estalagm torre y foliadas respectivamente que las cavernas de Nombre de Dios C

agua freática acarre los los reacciona con elementos de las rocas entonces seldego que el la participa de hidrólisis ha inicipal de la contra los contra l Los productos de la reacción serán compuestos diferentes a los iniciale por lo general son más simples y propician algunos de ellos el intempe de la roca A continuación se observa la reacción de una riolita par

2KALSi30g+2H20 -> AL2Si2Os(OH)4+K20
Rachinita oxido: potasio y arenas Roca Silica Banco de Kaolinita, Pinos Altos Chih. 2002

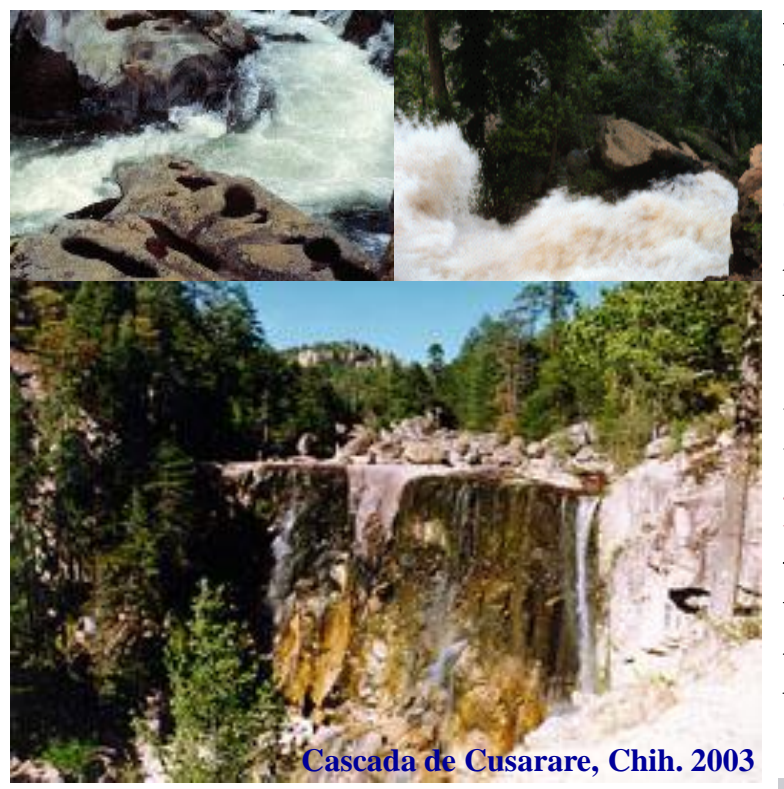


En la tierra el fenómeno de h carbonatación ocurren sí en dispone de agua y bióxido de componentes de las rocas con el ácido carbónico de ta las arcillas, carbonatos y productos finales en el ejemplo en la imagen se r roca riolita silica y olivino que son afectad

2 Carbonatación. Se puede producto intemperizado con producto intemperizado con producto bicarbonatos en bicarbonatos en carbonatos en carbona

La carbonatación es una de las formas de entre las porciones de las rocas mas per estructuras del hombre. En la antigüedad las construcciones de gesmoronadas por este proceso. Actualmente en la era del concreto la retos por vencer, pues si en las rocas naturales actua, en el concreto esta de la concreto en la concreto e

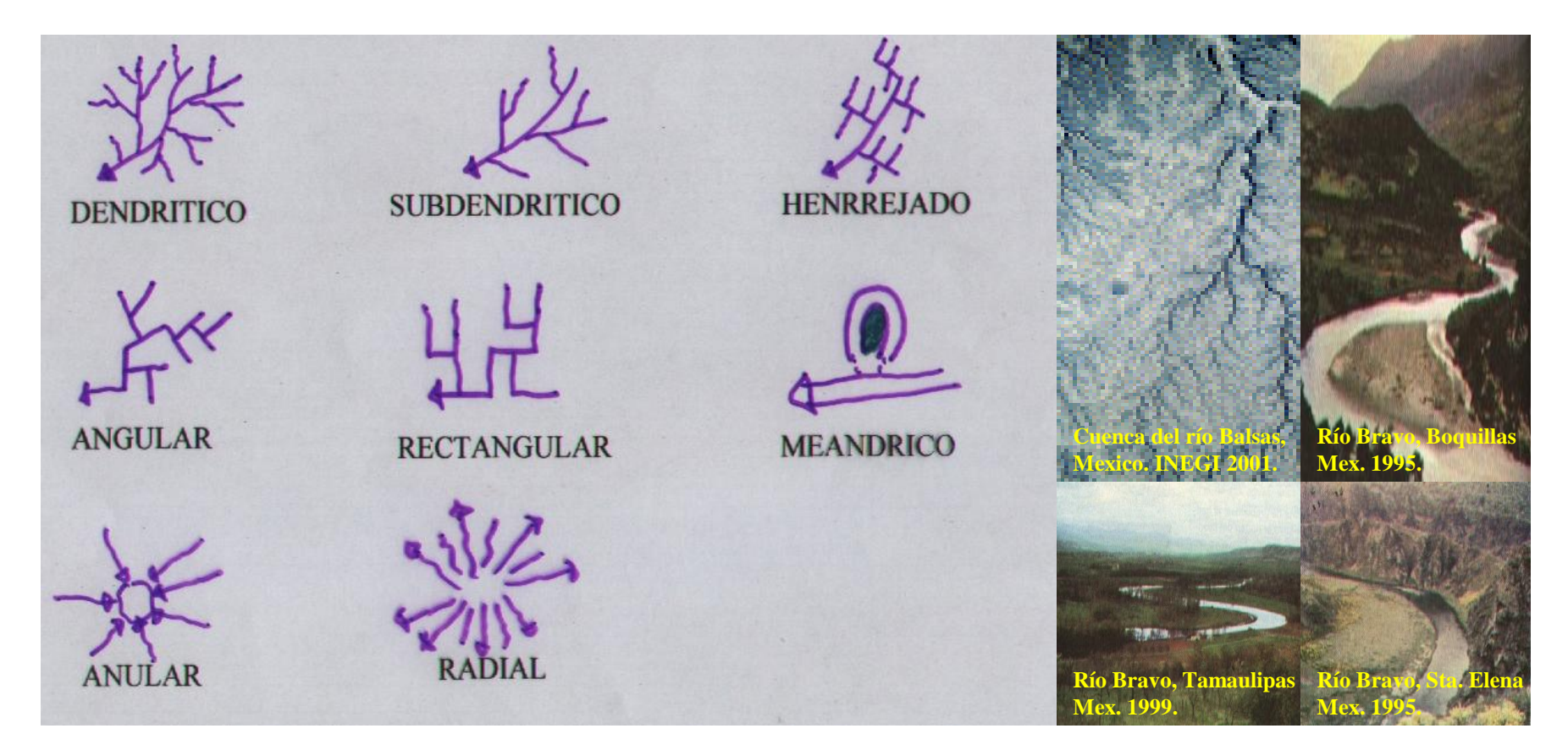
Erosión Fluvial y Sistema de Drenaje



El movimiento del agua en la superficie terrestre posee energía cinética capaz de tallar a la roca y transportar al suelo generando de esta manera a la llamada erosión fluvial en las cuencas hidrológicas (interfluvios). El producto de este proceso de sedimentación es la

relaciona con el nivel de consondacionación dicha geoforma ha alcanzado los de están manera se encontraran en la misma los hábitat tanto para plantas como viales ales Los dos sistemas de ordenande los buscar a signar a cada canal el numero estate se runuamienta

as de drenaje os, apanicos de un de



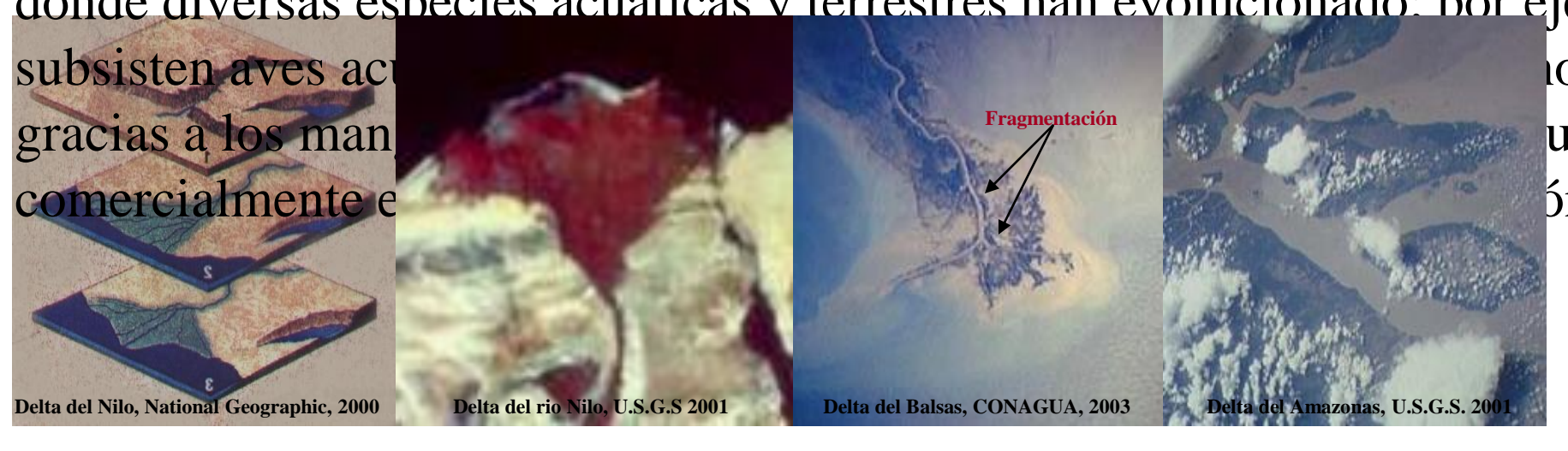
b) Patrón de drenaje.- Tomando en cuenta la forma que presenta el sistema en alguno de los patrones de drenaje conocidos. En la figura se patrones más comunes. Generalmente la forma que adquieren un contipo de roca que existe en el lugar así como al patrón de fracturación que patrón dendrítico se desarrolla en lugares donde se tienen rocas fracturación desordenada; este sistema es abundante en México. Los mandante en México. Los mandante en México.

c) Abanico aluvial y llanura de inundación. - Cuando una cuenca de mor

y deposita el suelo arrastrado por el escurrimento superficial (sed aluviales. Estas ge cturadasi padesudbosh adawiallos pastin representa un habitat muy im especies de aves, mamiferos etc. la imagen se aprecia el abanico a de Sta. Clara Chihuahua; en éste e especies de aves rapaces con aplomado entre otras. Por otr Abanico aluvial del cañón de Sta. Clara y llanura de geoformas que consolidan acuífe inundación Encinillas, Chih. 1999. se reserva aguanfreática donde cuenca. La llanura de inundación se loc

Complejo de abanicos aluviales, Irak. U.S.G.S. 2001

más proxima a una ribera. Es común que despues de un abanico aluvial dinámica de la ribera de un río en conjunto con el deposito de sedime formación de las llanuras inundables. Por su naturaleza estas geofo infraestructura ya que su dinámica hidrológica puede afectar en gran me fentitetay Elahdenbrebasadiilizadpara táoagnielitumagagadstadecenyocomopfu einétiEstdebeconrilhiaentra ribetimoini leta o levajte de ta Chronoa Valle les Pap depositan conformando a las geoformas llamadas deltas. Estas estructi ríos más antiguos con facilidad aunque algunas corrientes mas jóves imágenes se observan a los deltas del río Nilo, Balsas y el Amazonas, la disposición delta que les da su nombre. Los hábitat de est donde diversas especies acuáticas y terrestres han evolucionado: por eje



Erosion eólica



(menos de 100 micrones).

La erosión eolica se ejerce mediante los procesos de (500-20 deflación y abrasión. Cuando las pequeñas partículas 00 500 micrones se encuentran en la superficie del suelo son barridas, arrastradas o levantadas por el viento, entonces la deflación está presente; sin embargo cuando las rocas son golpeadas y talladas por las partículas levantadas la abrasión eólica esta actuando. La acumulación progregiva tiera de cultiva del material removido por el viento se disposita e

En el transcurso de millones de ha estado constantemente eros litosfera terrestre. El viento es agente de intemperismo particularmente en zonas áridas es responsable del transporte y de grandes volumenes de t desarrollo típico de paisajes eóli

trasporta a las partículas básicas

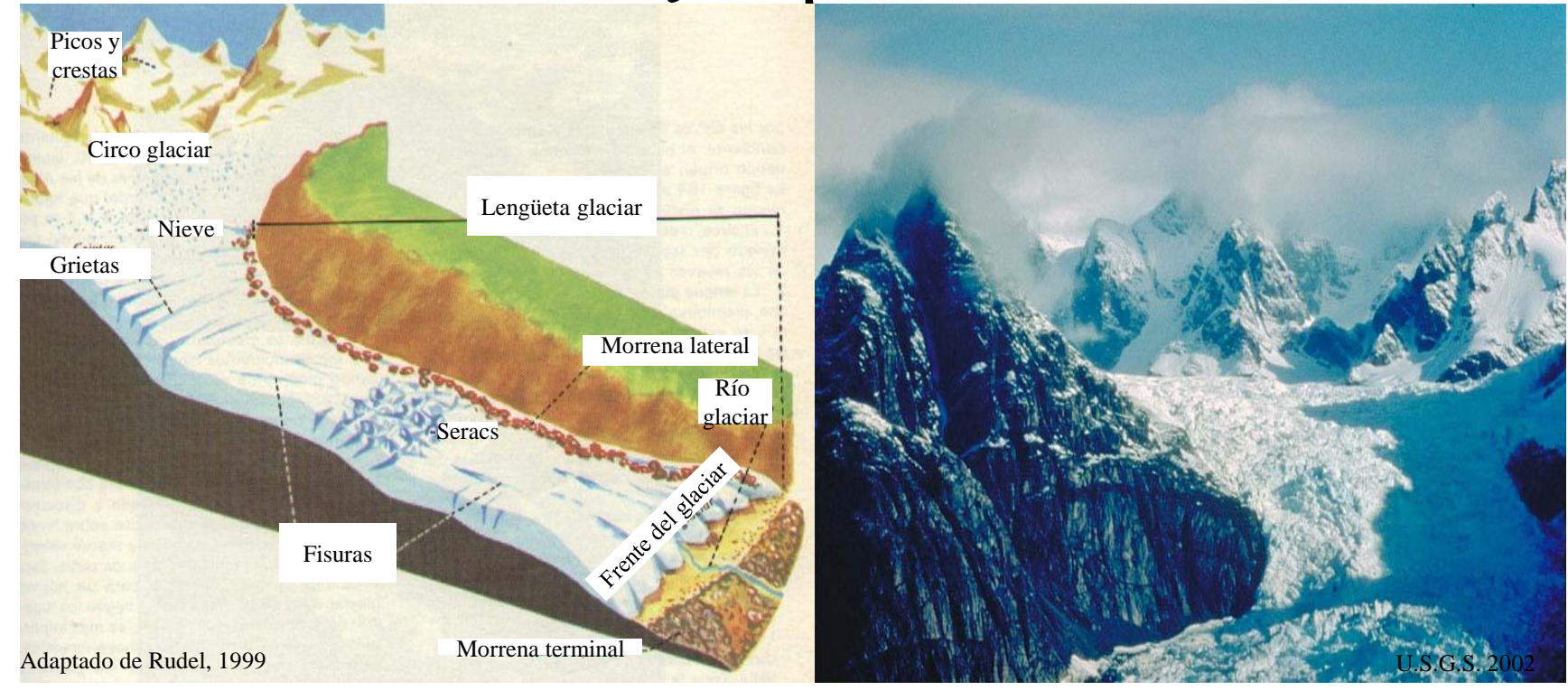


Son estructuras que se forman por la acción del viento de alta mar sob caso se genera una progresión de las partículas de arena de la zona de alta velocidad por lo cual estas geoformas son muy dinámicas y especares continentales dos aledaños.



Son geoformas comunes en los climas desérticos y se constituyen p calcio. Su estabilidad depende de los vientos dominantes. Se forman lagunas y en llanuras con escaza vegetación. Ocasionalmente se ol

Glaciación (erosión y deposición)



El agua en su estado sólido (hielo y nieve) presenta una acción de fractu proceso se conoce como **erosión glaciar**. Los glaciares han existido en la través del tiempo, en algunas ocasiones su dinámica de avance estructuras producto de la dinámica glaciar. Por ejemplo hace glaciación y desde entonces los glaciares han venido retrocediendo de estructuras glaciares en las sierras como **picos**, **crestas** y **circos**. Estas



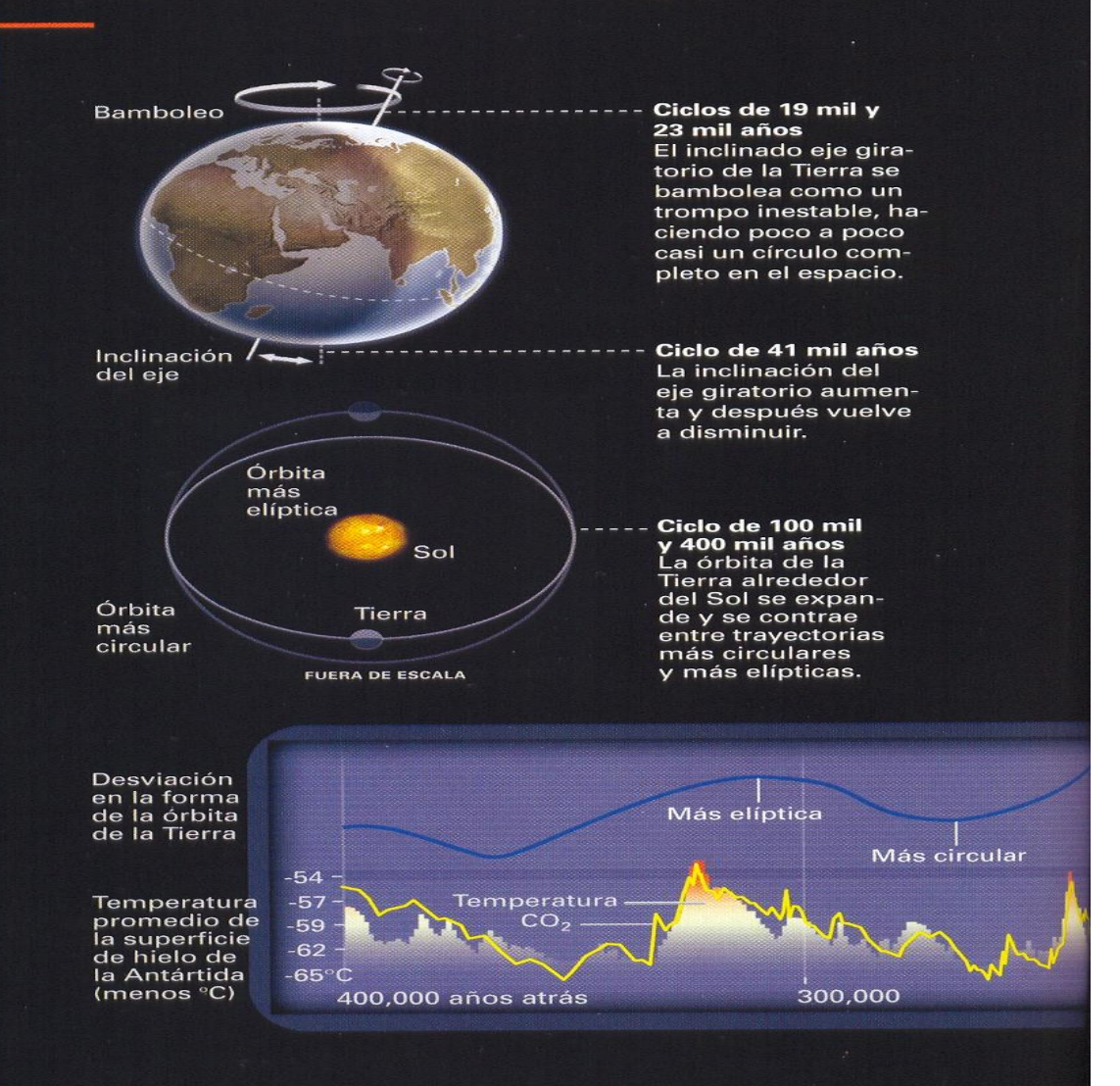
CÍCLOS DE HIELO Y CAMBIOS CLIMÁTICOS EN LA TIERR. El bamboleo y los cambios en la elipce terrestre han sido los responfrias en la tierra.

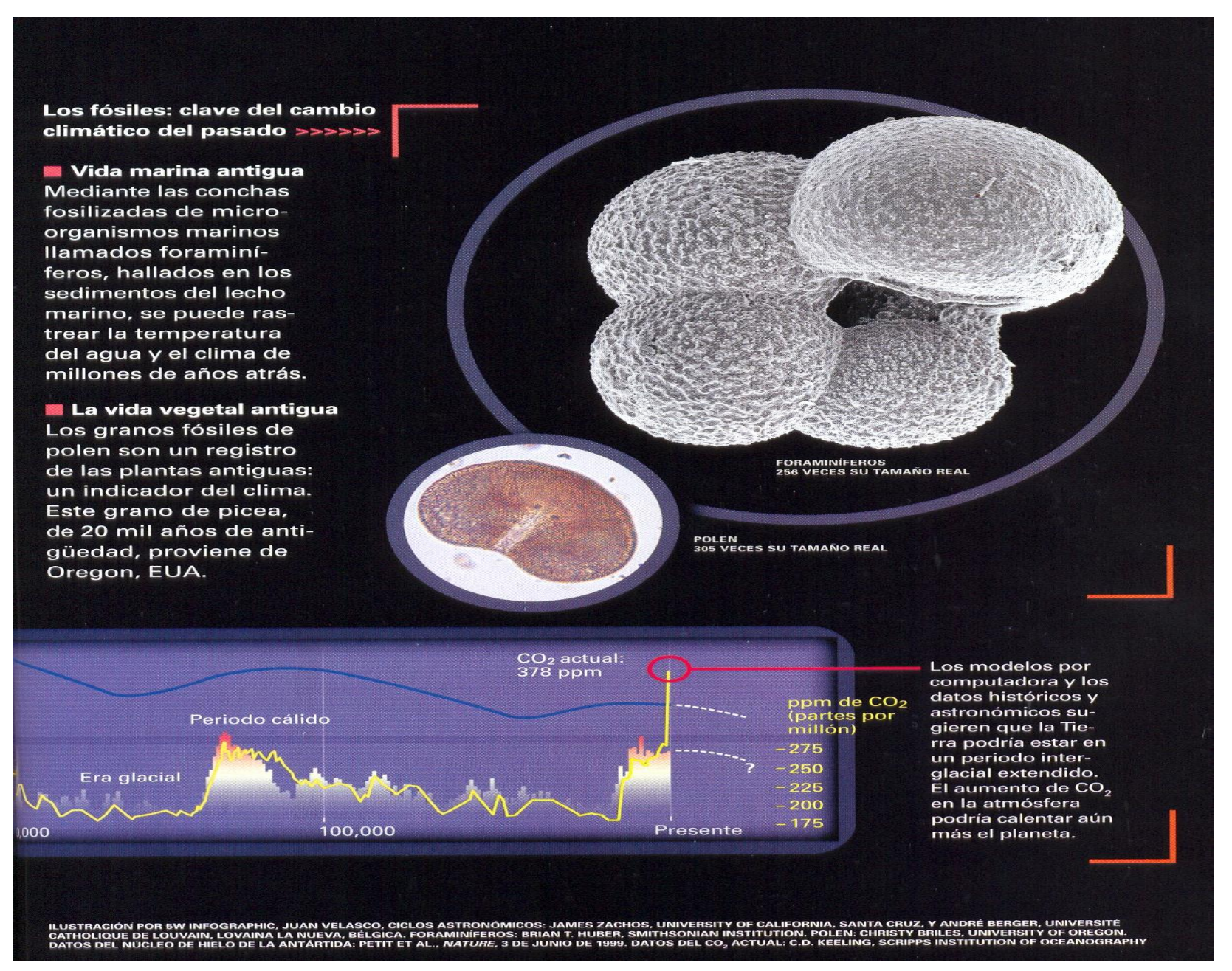
¿Está finalizando un ciclo antiguo?

Ritmos astronómicos que afectan el clima >>>>>>

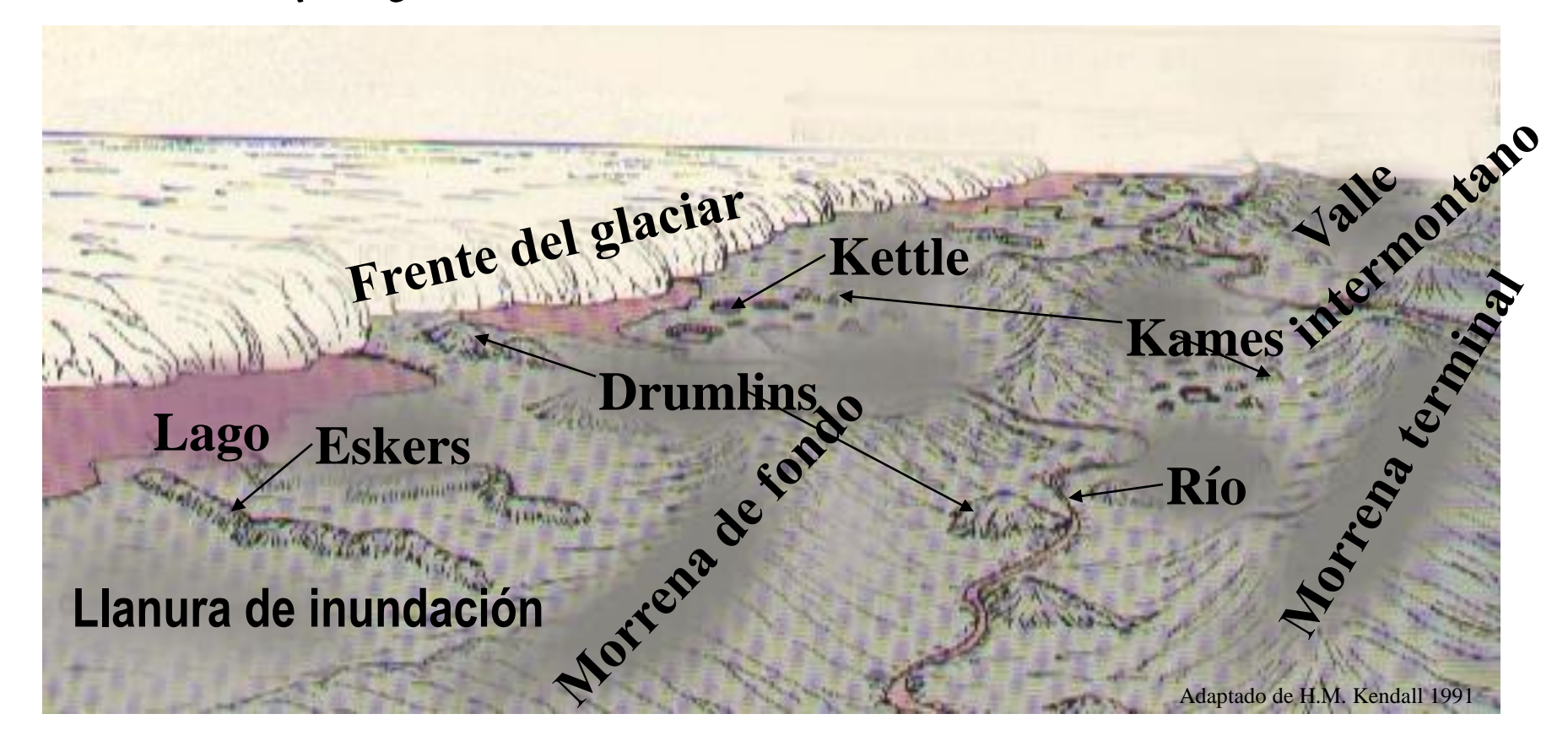
La Tierra en el espacio La órbita de la Tierra alrededor del Sol y su orientación en el espacio cambian de manera regular. Se cree que esos ritmos juntos ayudan a definir el momento de las glaciaciones al afectar la distribución de la luz solar sobre la superficie del planeta. Durante los últimos 2.5 millones de años, la Tierra ha estado pasando por ciclos fríos y cálidos cada 41 mil años. Hace casi un millón de años, estos ciclos comenzaron a durar unos 100 mil años.

Un núcleo de hielo de 400 mil años de antigüedad, extraído en la Antártida, sugiere un vínculo entre las glaciaciones y los ritmos astronómicos. Durante las glaciaciones, los niveles de CO, disminuyen.





Geoformas periglaciares



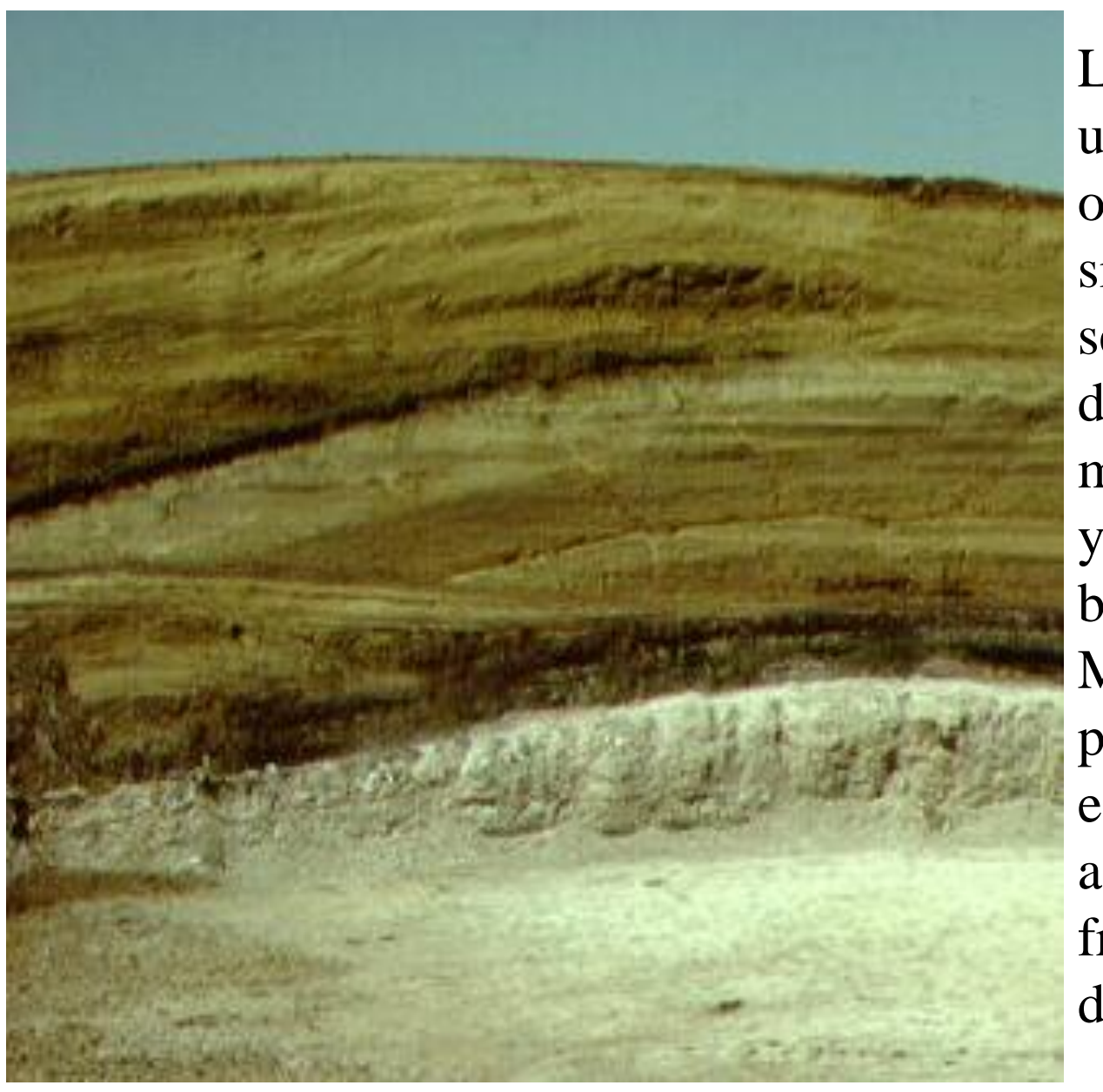
La dinámica de un glaciar funciona como una pala de arrastre que producto de la fracturación y tallado de las rocas que se deposi geoformas periglaciares:

Morrenas.- Son estructuras que se integran por fragmentos de roca, ar a los lados, al frente y al fondo del glaciar se denominan morrenas respectivamente. Ocasionalmente el meterial de estas geoformes contic

Drumlins.-Son geoformas que se identifican como lomas altas y aisla de deshielo de un seracs (témpano de hielo) que ha quedado estacio acarreo de gravas, arenas y arcillas se depositan sobre el témpano y propor el deshielo es ocupado por los materiales arrastrados; finalmente lento se conforma un drumlins.

Kames y Kettles.- Cuando el témpano de hielo es pequeño (menor a proceso de deshielo y acumulación de material arrastrado origina rápido entonces en lugar de un kame o en su caso de un drumlins se or llamada kettle. En general estas geoformas incluyendo a los drumli

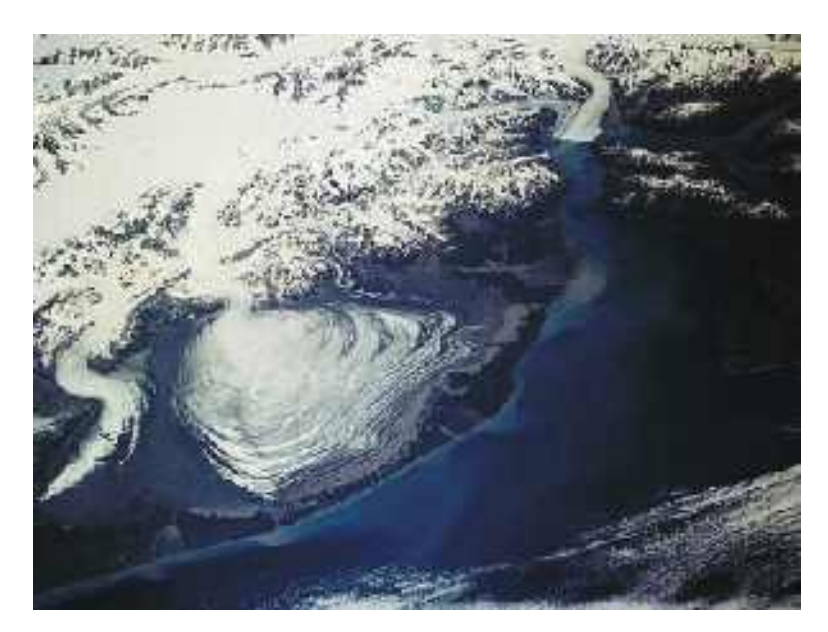




La consolidación de un Drumlins, Esker Kame es muy similar. En la imagen se puede observar la disposición de materiales de arrastre y en la parte más baja al caliche. Las Morrenas son algo parecidas en su estructura, solo que además cuentan con fragmentos de piedra de forma irregular.



Glaciar en la franja marginal de Groenlandia. **Observe** los acumulados de erosión glaciar que consolidan las geoformas de morrenas, drumlins eskers





Glaciar pie de monte (Alaska)

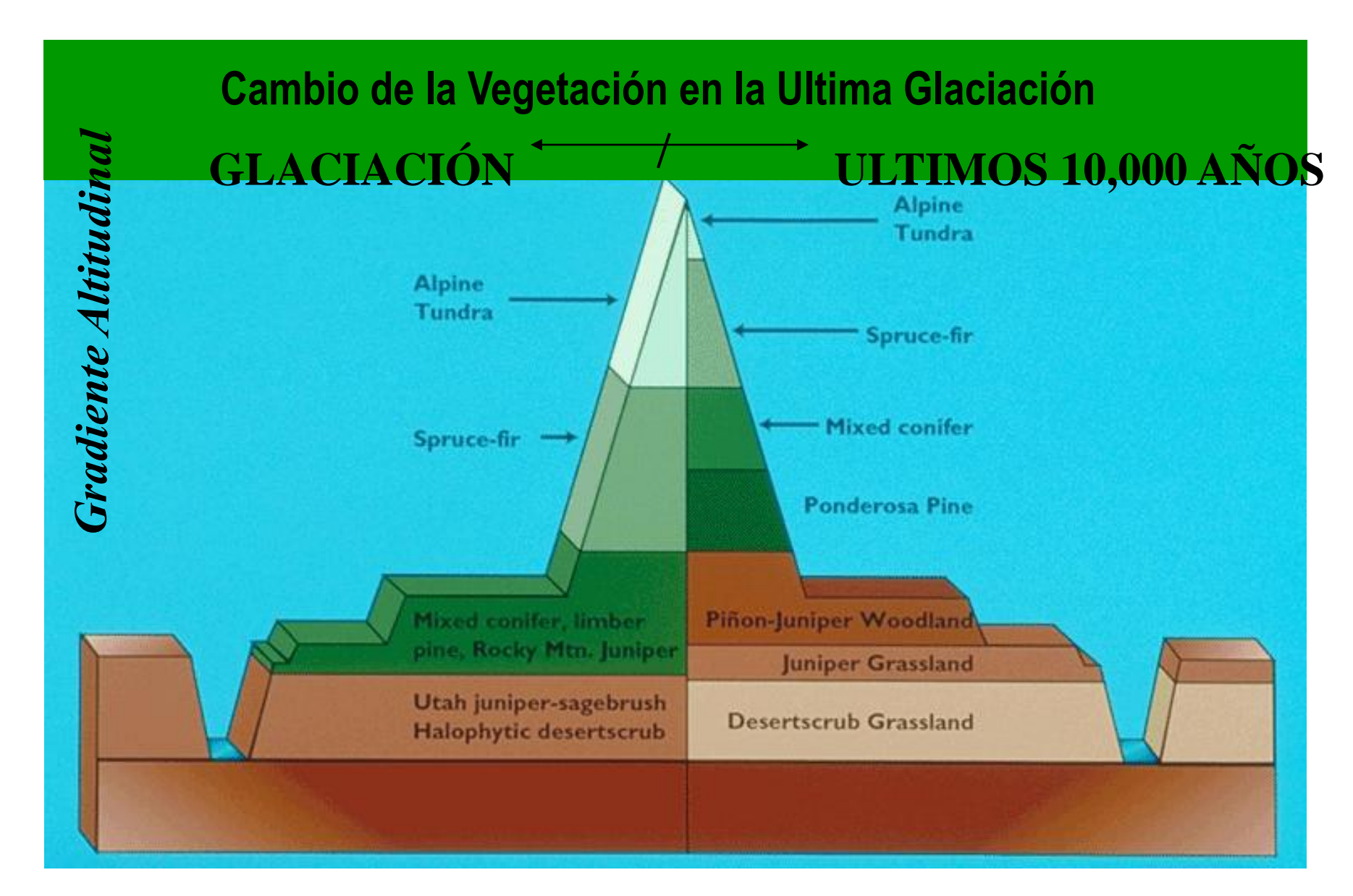
Glaciar de ladera



Glaciar (Blanco) de valle o alpino 1991 (Francia)

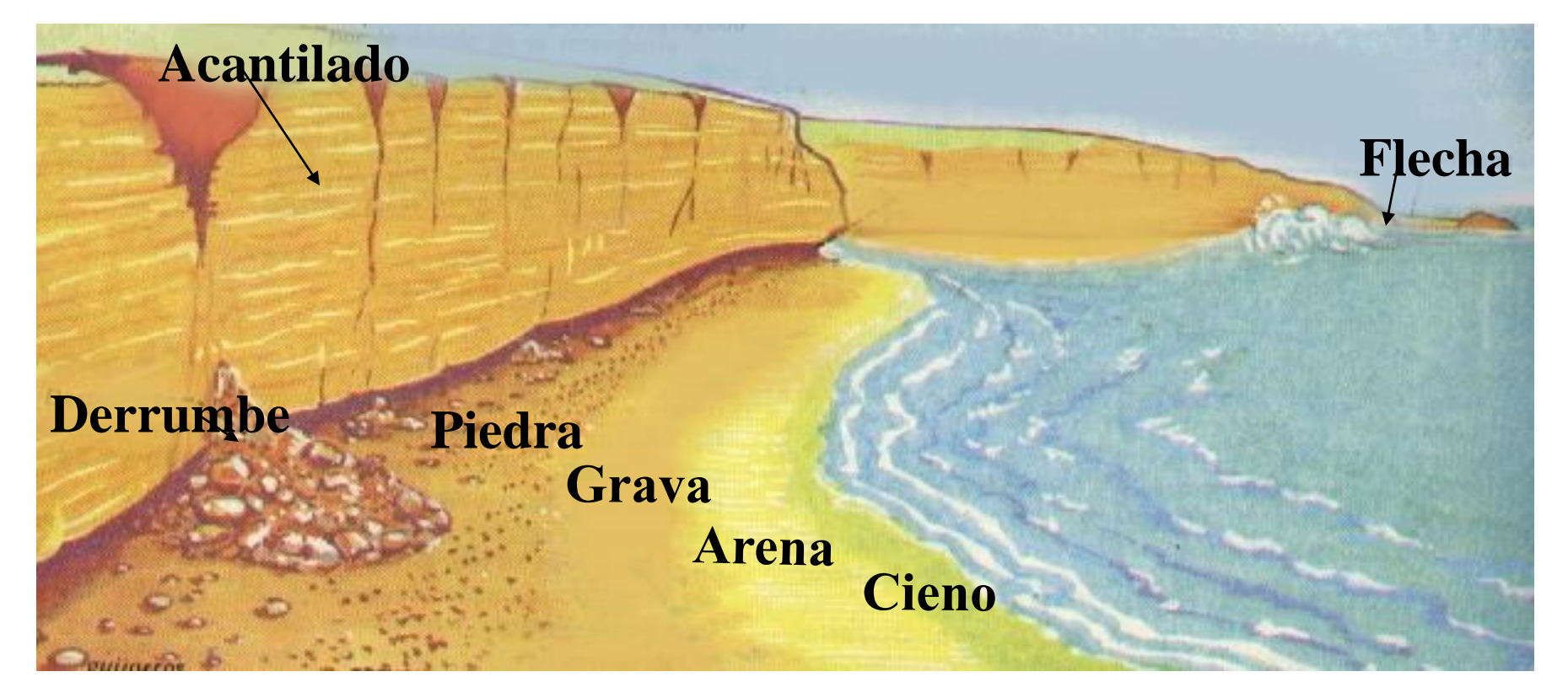


Galciar (Blanco) de valle o alpino 1999 (Francia)



 $Adaptadto \cdot \cdot\$

Erosión del Mar en el Continente



La erosión marina es originada por la fuerza del oleaje sobre las rocas d del viento que interacciona con la superficie del mar, aunque ocasionalm causan maremotos que afectan en los litorales. Dependiendo del tipo derrumbe en los acantilados costeros; por ejemplo las rocas calcáreas so cada una es moldeada de diferente manera. Los granitos forman acantilas costas del Océano Pacifico, mientras que las rocas sedimentarias

hamanag guayag an al litaral dal Calfa da Máxica

Tombolo doble en Nayarit Mex.

Geoformas de playa, flecha y tómbolo

o atbufera

a)**Playa**.- Los materiales que se ubican entre el acantilado y el ma estructura de esta geoforma esta dada por cieno, arena, grava y guija características físico-químicas. Los lodos mas finos y ricos en materia se localiza en la parte más baja de la playa, justamente a la orilla del son ubicados en las partes altas, precisamente donde se define la line constituidas por granos de cuarzo, restos conchíferos o derrumbes de litoral del Golfo de México los granos de la playa son de conchas antiglas arenas son de origen ígneo.

b)Flecha.- Son estructuras de playa separadas de la costa formada algunos casos cierran la garganta de ésta originando una albufera salada c)Tómbolo.- Cuando las flechas enlazan a islas o islotes al continente e que pueden ser simples o dobles.

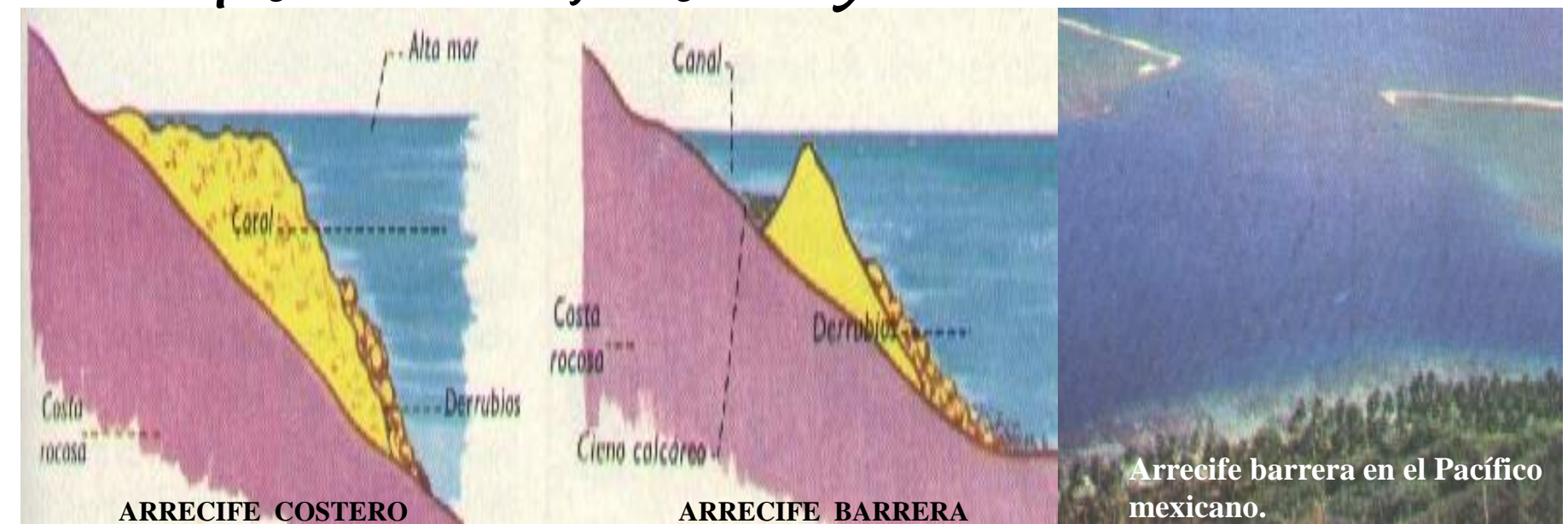
Tombolo-doble

Península

Bahía

transformada
en estanque salado

Arrecifes barrera, costero y atolón

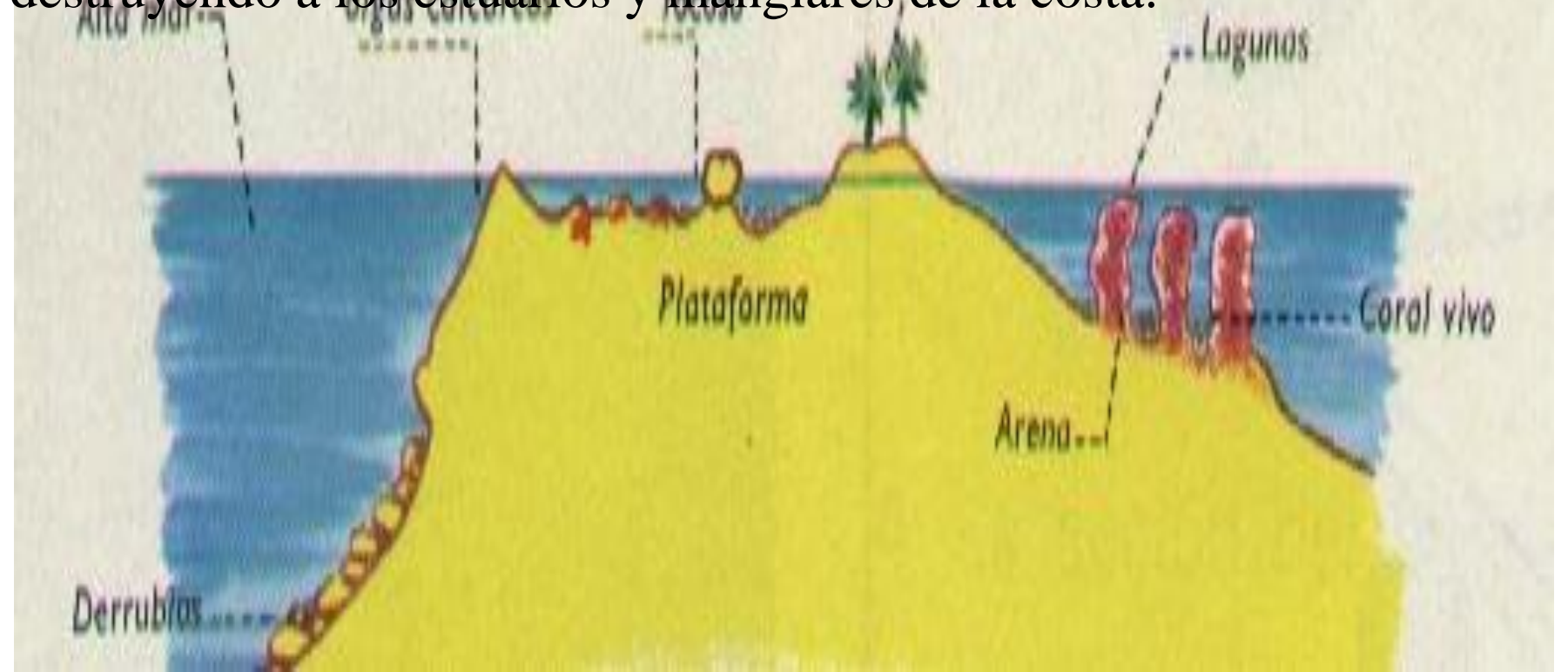


El desarrollo de comunidades de coral en el mar poco profundo de coralinos a través del tiempo. En los litorales orientales de Australia s mas grandes del mundo y contituyen la estructura viva que puede ser Luna y posiblemente mas lejos. Los bancos de coral según su ubicac geoformas que se describen a continuación:

Arrecife barrera.- Son macizos de coral que emergen del mar cerca de verdadera barrera con apariencia de roca. Se localizan a distacias que verdadera barrera con apariencia de roca. Se localizan a distacias que verdadera barrecife de la imagen que se ubica cerca de Bahia de Ba

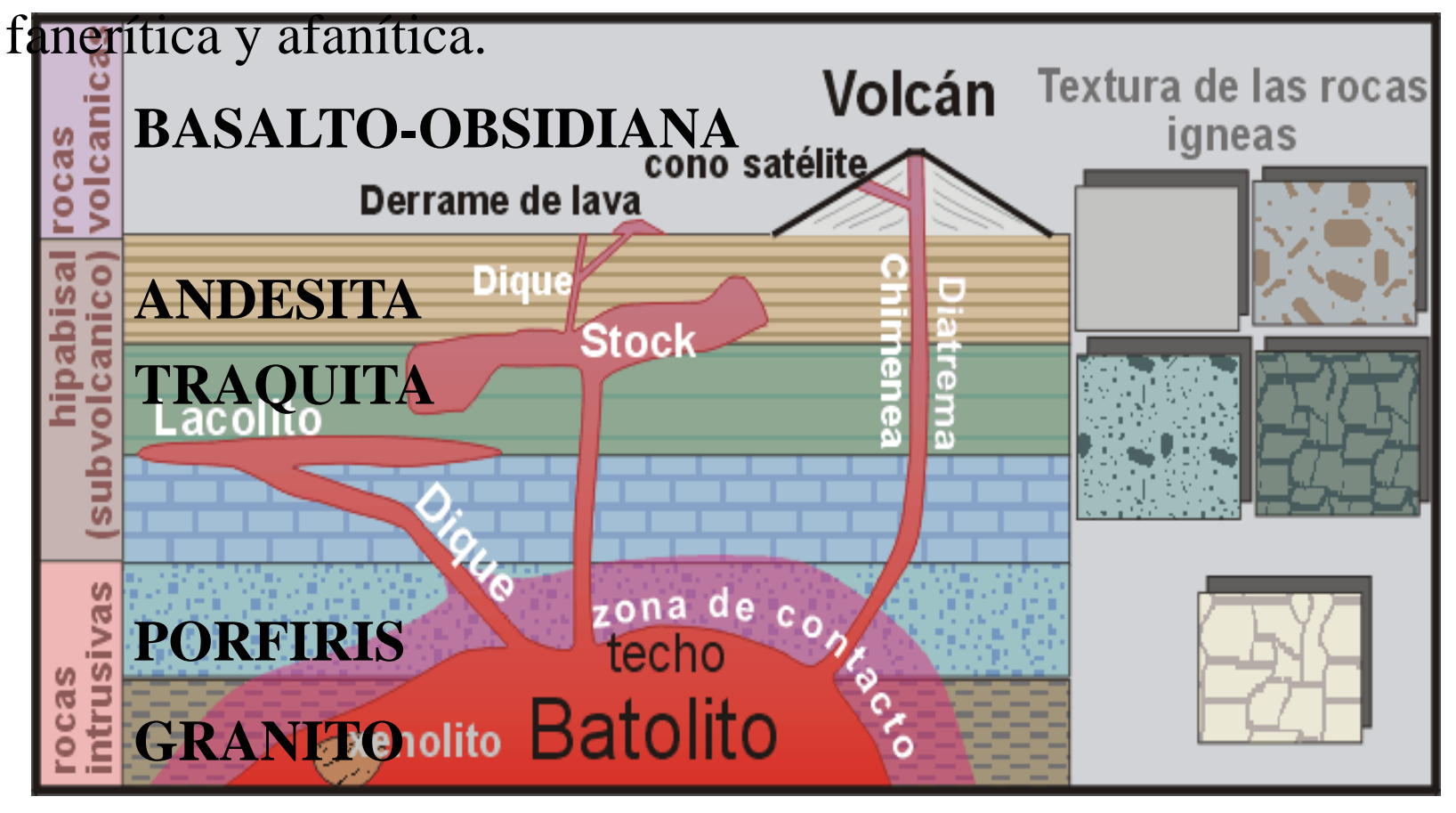
Arrecife costero.- Se forman por colonias de coral a distancias de 30 a

Atolón.- Son islas de forma anular que se forman de coral y tienen en se conectada al mar. En ocasiones estas estructuras presentan varios avanzada de un arrecife barrera o costero puede llegar a conformar a un e un atolón se consolida un ecosistema de vegetación costera que propicia peces, mariscos y moluscos; por ejemplo en las costas mexicanas de ostras y abulones son abundantes, aunque actualmente el destruyendo a los estuarios y manglares de la costa.



Anexos

Origen de las rocas igneas y su textura.- Según la profundidad las con textura y estructura de sus agregados minerales diferentes; por e como el granito presentan cristales pegmatiticos, mientras que en los



Familia de rocas magmaticas.- Como se observa el granito en la volcanica origina a las riolitas, la sienita a la traquita y domita, la

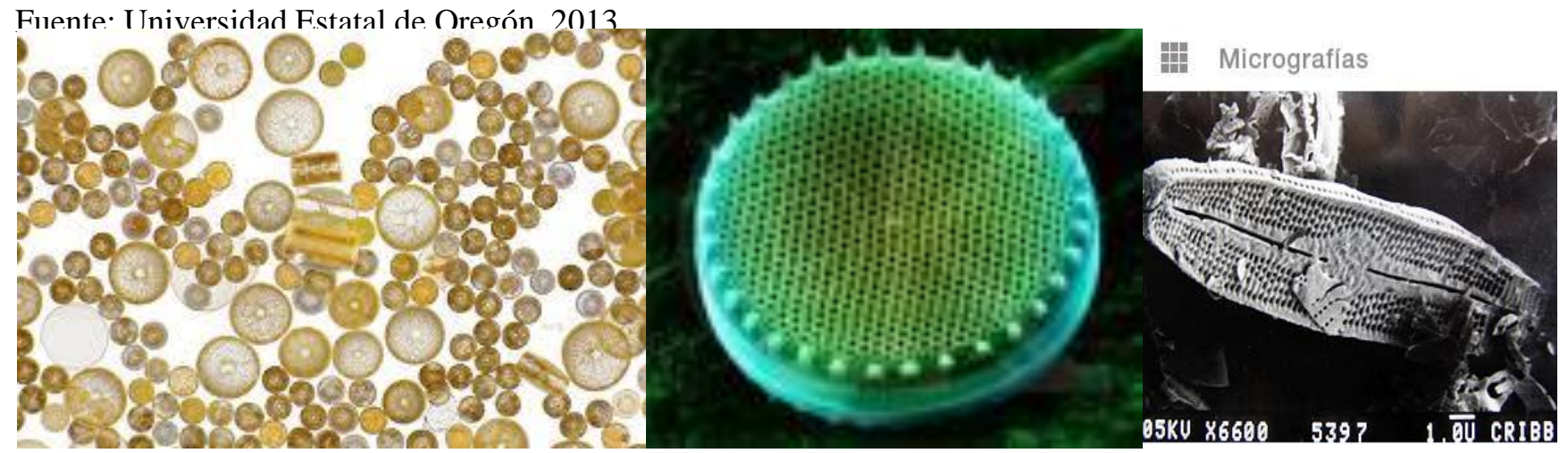
y el gabro al basalto-obsidiana Diferenciación por cristalización Temperatura 1300°C 650°C 800°C Componentes | Plagioclasas Plagioclasas Plagioci Ortoclas Cuarzo alcalinas intermedias claros acida post-magmatica Tipo de Magma de Magma Magma granitico Gabbro dioritico magma WG97/Difcri2.cdr Componentes Piroxeno Anfiboles Olivino Antiboles Biotita oscuros Basalto Andesita Traquita Riolita roca volcanica roca plutónica Gabro Diorita Sienita Granito Cont. de SiO2 < 52% 52-65% >65%

Aplicación de diatomeas en la energía solar

El nuevo sistema se basa en diatomeas vivas, que son unas muy pequeñas algas unicelulares, estas se encuentran depositadas en unas nano estructuras específicas para garantizar su funcionalidad. Se les permite asentarse en una superficie de vidrio conductor transparente y, a continuación, se extrae las condiciones de vida del material orgánico, dejando atrás los pequeños esqueletos de las diatomeas para formar una plantilla.

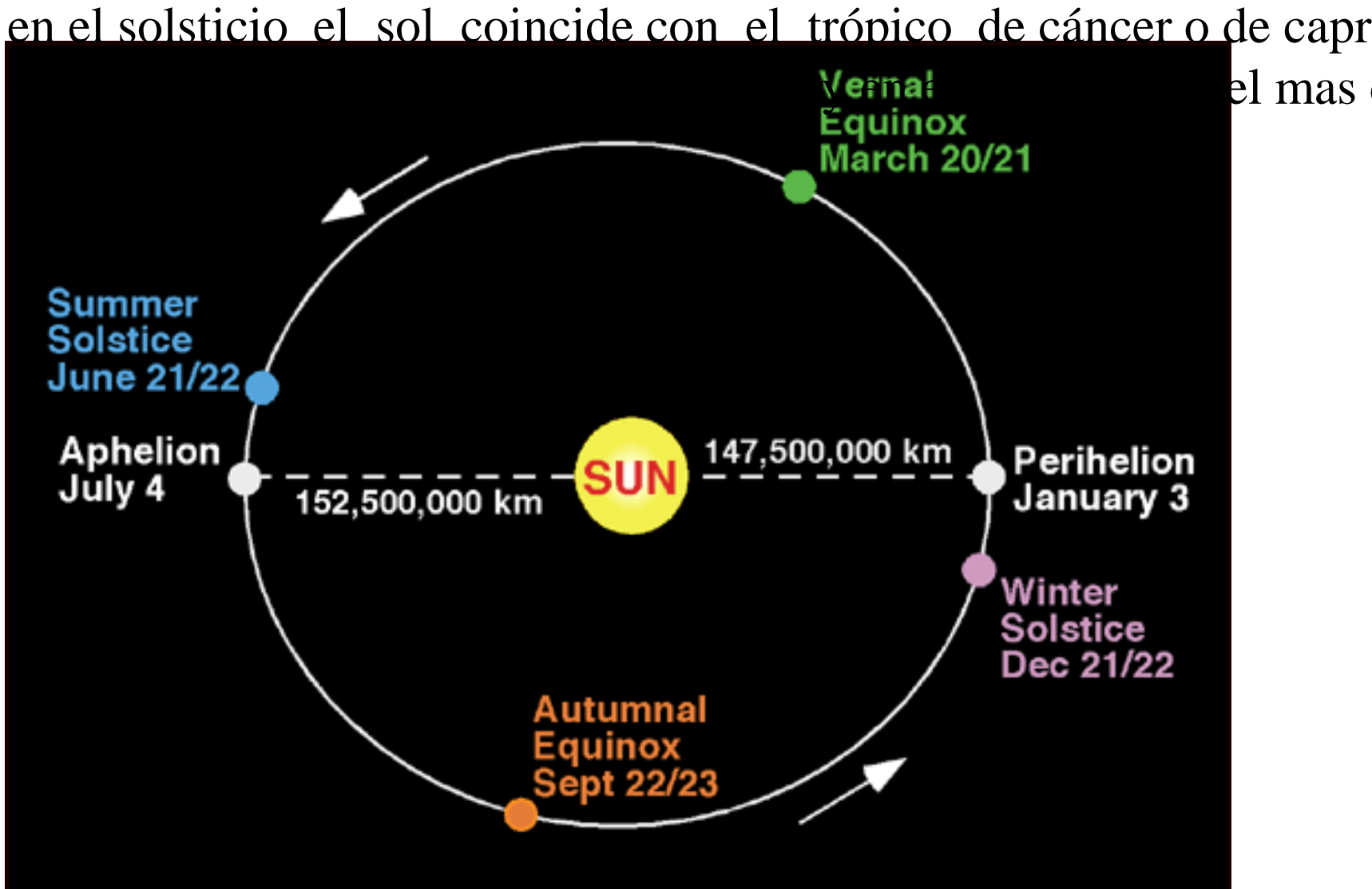
A partir de ahí, se utiliza un agente biológico para introducir solubles de titanio en muy pequeñas cantidades, las nano partículas de dióxido de titanio crean una fina capa que actúa como los semiconductores para el colorante sensibilizado en los dispositivos de las células solares. Estos pasos hubiesen sido difíciles de lograr con los métodos convencionales, sin embargo, han sido fácilmente realizados a través de la utilización de estos sistemas biológicos naturales, utilizando materiales sencillos y poco onerosos.

Más que los materiales en una simple capa plana, los diminutos orificios en los depósitos de diatomeas parecen aumentar la interacción entre los fotones y el tinte para promover la conversión de la luz en electricidad, y mejorar el proceso de producción de energía.

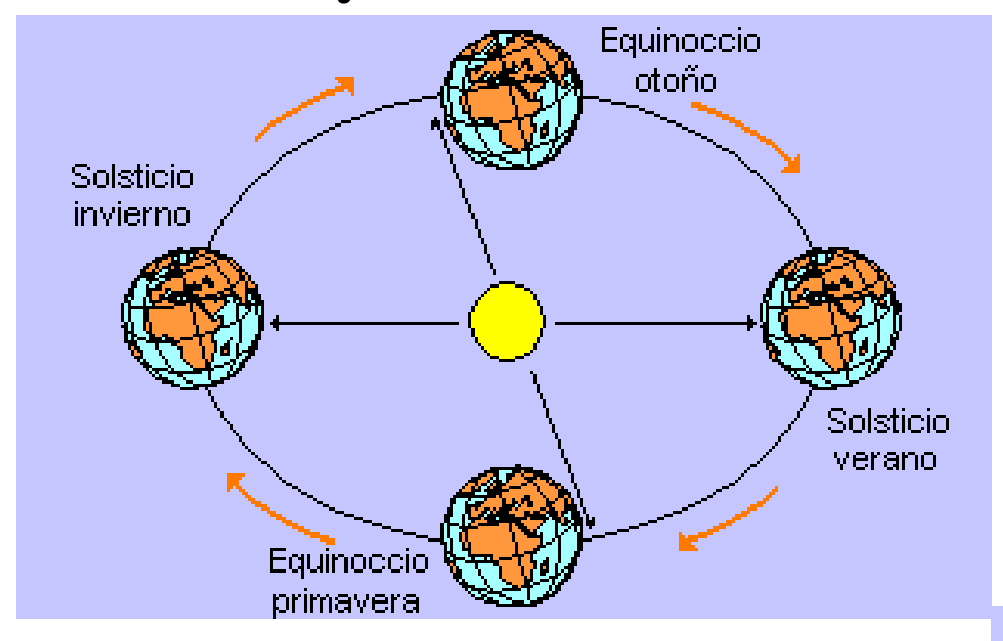


Ubicación de los equinoccios, solsticios, afelio y perihelio en la

En el equinoccio el sol esta sobre el ecuador y el dia y la noche tier en el solsticio el sol coincide con el trópico de cáncer o de capr



Traslación y rotación terrestre



La traslación es el movimiento que realiza la Tierra alrededor del sol a una velocidad promedio de **28 Km/seg**. Da una vuelta completa en **365 dias y 6**

horas. Por esta

La rotación es el movimiento que realizate a tienada cuatro años se girando sobre su propio eje de oeste que tentada en 24 horas. La velo reconstruadamente sto.

1,700 Km/hora, de 850 Km/hora a rolla de la proximada que se latitud norte ó sur y nula en los polos. I reconsector a forbita es de: 884 día y la noche no es igual en diferentes latitudes de cuatro años se la rotación a forbita es de: 884 día y la noche no es igual en diferentes latitudes de cuatro años se la rotación a forbita es de: 884 día y la noche no es igual en diferentes latitudes de cuatro años se la rotación a forbita es de: 884 día y la noche no es igual en diferentes latitudes de cuatro años se la rotación a forbita es de: 884 día y la noche no es igual en diferentes latitudes de cuatro años se la rotación a forbita es de: 884 día y la noche no es igual en diferentes la rotación a forbita es de: 884 día y la noche no es igual en diferentes la rotación a forbita es de: 884 día y la noche no es igual en diferentes la rotación a forbita es de: 884 día y la noche no es igual en diferentes la rotación a rotación a forbita es de cuatro años se la rotación de cuatro a rotación de cuatro a rotación de cuatro años se la rotación de cuatro a rotación de cuatro a rotación de cuatro a rotación de cuatro a rotación de

Enlaces (Links) de interes para el curso

http://www.geologia.unam.mx/igl/index.php/difusion-y-divulgacion/212-carta-geologica-de-la-republica-mexicana.

http://bibliotecadigital.ilce.edu.mx/sites/ciencia/volumen3/ciencia 3/141/htm/sec_6.htm

http://www.journals.unam.mx/index.php/geofisica/article/view/39495

http://www7.uc.cl/sw_educ/geografia/geomorfologia/html/3_3_2.html

http://www.nhc.noaa.gov/satellite.php

http://www.goes.noaa.gov/



Bibliografía

Barbara W. Murck; B.J. Skinner y S.C. Porter. 1995. Environmental Geology. John Wily and Sons Inc. New York E.U.A.

Comisión Nacional del Agua. Servicio meteorologico. 2010. Consultado en agosto 2012 en: http://www.cna.gob.mx/portal/switch.

Geomorfologia. 2002. Consultado en junio y septiembre 2002 en:

http://club.telepolis.com/nachoben/TrydacnaTelepolis/geologia/geomorfologia.

•

Hamilton, R.L. 2010. El interior de la tierra y la tectónica de placas. Consultado en enero 2013, en:

National Geographic News. 1989, 1990 y 2013. Consultado en:

http://news.nationalgeographic.com/news/environment.html

Portal SEP, Bibliotecas. 2012. Consultado en julio 2012 en: http://www.sep.gob.mx/wb2/sep/sep_bibliotecas.

Pough H.F. 1999. Rocks and Minerals. Roger Tory Peterson field guides. Cuarta edición.
The easton press, Norwalk Connecticut.

Rice, R.J. 1989. Fundamentals of Geomorphology. Segunda Edición. Logman Cientific and Technical.

Rudel, A. 1999. Geología (las ciencias naturales). Segunda edición. Montaner y Simons.

Rarcalona España